

KAYIŞ - KASNAK MEKANİZMALARI

**Prof.Dr.
Mustafa Gediktaş**

**Yrd.Doç.Dr.
M.Sait Yücenur**

Ö N S Ö Z

Makina Mühendisliği'nin temel konularından olan Makina Elemanları ile ilgili yayınlar son yıllarda yurdumuzda da önemli bir artış göstermektedir. Özellikle konstrüktif konularda bir eser yazmanın güçlüğü göz önüne alınırsa bu gelişmenin önemi daha iyi anlaşılır. Bu alandaki çalışmalara katkıda bulunmak için "Kayış - Kasnak Mekanizmaları" adlı bu ders notu hazırlanmıştır.

Makinalarda iki mil arasında güç ve hareket传递i için kayış-kasnak, dişli çark, zincir ve benzeri mekanizmalar kullanılmaktadır. Bunlardan kayış-kasnak mekanizmaları konstrüktif olarak daha basit ve kolay imal edilebilmeleri, paralel ve aykırı miller arasında kullanılabilmeleri, özel hallerde ikiden fazla mil arasında da güç veya hareket传递ebilmeleri, oldukça basit sistemlerle hız ayarına imkân vermeleri, sessiz çalışmaları, elastik özellikleri nedeniyle darbeleri sönümlerebilmeleri, genellikle verimlerinin yüksek olmaları gibi nedenlerle geniş kullanma alanı bulmuştur. Bu sebepten, öncelikle bu konuda bir not hazırlanması faydalı görülmüştür.

Hazırlanan bu ders notunun kapsamı, öğrencilerimiz yanında, uygulamada çalışanlara da yararlı olabilmesi için geniş tutulmuştur. Okuyanlara faydalı olacağını ümit ederiz.

Haziran 1984

Mustafa GEDİKTAS

Sait YÜCENUR

KAYIŞ-KASNAK MEKANİZMALARI

İÇİNDEKİLER

	Sayfa
Semboller	1
1. GİRİŞ.	3
1.1. Tanımı ve özellikleri	3
1.2. Kayış çeşitleri	4
2. KAYIŞ-KASNAK MEKANİZMALARINDA KUVVET VE HIZ DURUMU	5
2.1. Sürtünme bağı ile güç ve hareket传递	5
2.2. Merkezkaç kuvvetlerin etkisi	6
2.3. İletilen güç, optimum hız, sınır hız	7
2.4. Elastik kayma	8
2.5. Ön gerilme kuvveti, mile etkiyen kuvvet	10
2.6. Kayıştaki gerilmeler	11
2.7. Eğilme frekansı	12
3. GEOMETRİK BAĞINTILAR	14
4. DÜZ-KAYIŞLAR-DÜZ KAYIŞ-KASNAK MEKANİZMALARI	15
4.1. Genel özellikleri ve kullanılma sınırları	15
4.2. Düz kayış malzemeleri	15
4.3. Kayışın kasnaktan atmasının önlenmesi	18
4.4. Paralel olmayan miller arasında düz kayış	18
4.5. Avara kasnak mekanizması	20
4.6. Kayış uçlarının birleştirilmesi	20
4.7. Düz kayış-kasnak mekanizmasının boyutlandırılması	22
5. V-KAYIŞLARI	25
5.1. Genel özellikleri ve kullanılma sınırları	25
5.3. Standart kesitler, kasnak boyutları	25
5.3. V-kayışlarında boy	30
5.4. Paralel olmayan miller arasında V-kayışı	31
5.5. V-kayışı-düz büyük kasnak tertibi	32
5.6. Özel V-kayışları	33
5.7. V-kayışkarının yapısı	34
5.8. V-kayışlı mekanizmaların boyutlandırılması	36

6. DİŞLİ KAYIŞLAR	45
6.1. Genel özellikleri ve kullanılma sınırları	45
6.2. Standart ölçüler	47
6.3. Dişli kayışların hesabı	47
7. KASNAKLAR	51
(Gövde yapısı ve malzemeler)	
8. GERDİRME SİSTEMLERİ	53
9. ÇEVİRİM ORANINI DEĞİŞTİRME	57
10. ÇÖZÜLMÜŞ ÖRNEKLER	59
Literatür	66

SEMBOLLER

A	: Kayış kesit alanı
a	: Eksen aralığı
b	: Genişlik, kayış genişliği
d	: Çap
d_e, d_w	: V-kayışı kasnaklarında etken çap
d_p	: Dişli kayış kasnaklarında taksimat dairesi çapı
E	: Elastiklik modülü
E_b	: Düz kayışlarda eğilme elastiklik modülü
F	: Kuvvet
F_1, F_2	: Kayış kol kuvvetleri
F_s	: Santrifüj kuvvet
$F_u = F_1 - F_2$: Faydalı kuvvet
F_o	: Ön gerilme kuvveti
F_r	: Mile gelen kuvvet
f_B	: Eğilme frekansı
h	: V-kayışlarında kesit yükselsiği
h_e, h_w	: V-kayışlarında nötr tabaka ile üst yüzey arasındaki uzaklık
i	: Çevrim oranı
L	: Kayış boyu
L_e, L_w	: V-kayışlarında nötr tabakadaki boy
L_i	: Kayış iç boyu
L_d	: Kayış dış boyu
M_d	: Döndürme momenti
n	: Dakikadaki dönme sayısı
P	: Güç
r	: Yarıçap
s	: Düz kayışlarda kalınlık
V	: Kayış hızı, kasnak çevre hızı
Z	: Eleman sayısı, kayış sayısı, kasnak sayısı, dişli kayış kasnaklarında diş sayısı
α	: V-kayışlarında kama (yiv) açısı
β	: Kayışın küçük kasnağa sarılma açısı
μ	: Sürtünme katsayısı
σ	: Gerilme
σ_{top}	: Kayıştaki en büyük gerilme

- σ_{eg} : Eğilme gerilmesi
- σ_s : Santrifüj gerilme
- σ_1 : Gergin koldaki gerilme
- σ_2 : Gevşek koldaki gerilme

I- GİRİŞ

1.1. Tanımı ve Özellikleri

İki mil üzerinde takılı silindirik elemanlar (kasnaklar) ve bu elemanlara sarılan bükülebilir bir elastik elemandan (kayış) meydana gelen, dönme hızı ve moment dönüşümünü sağlamak için kullanılan mekanizmaya kayış-kasnak mekanizması denir.

Hız ve Moment dönüşümü için,

- Dişli çark mekanizmaları
- Zincir mekanizmaları
- Kayış-kasnak mekanizmaları
- Sürtünmeli çark mekanizmaları
- Vida mekanizmaları
- Hidrostatik mekanizmalar

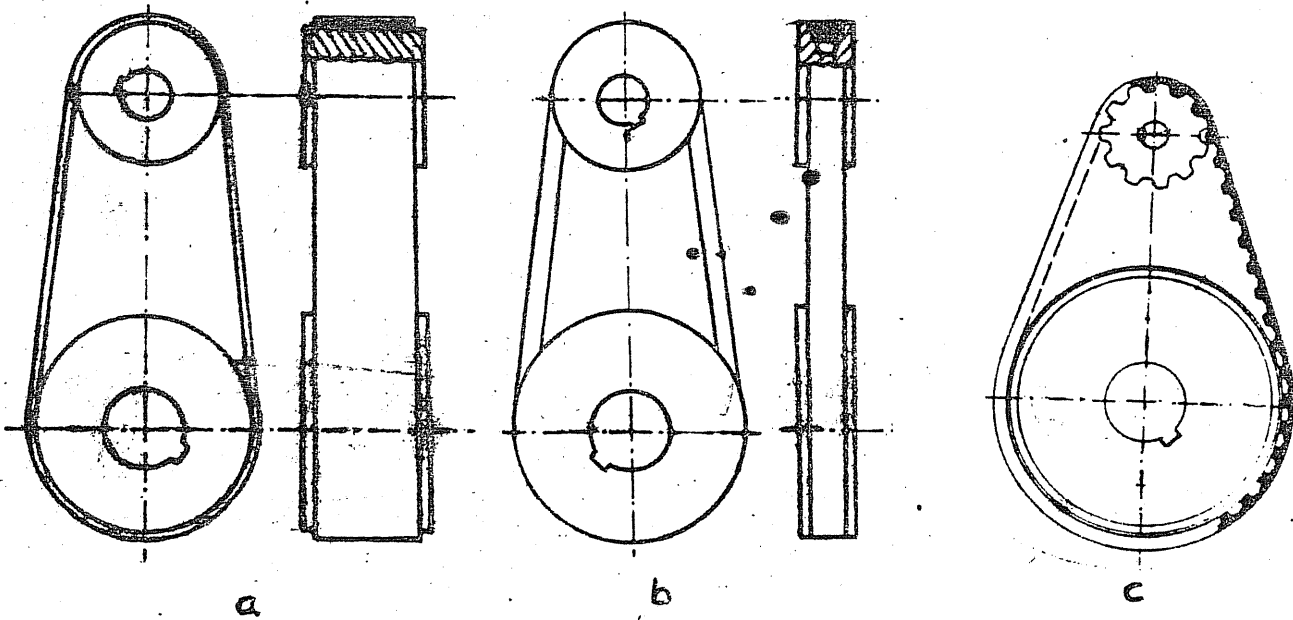
gibi çok çeşitli mekanizmalar kullanılmaktadır. Bir konstrüksiyon problemi için mekanik özellikleri açısından birden fazla mekanizma söz konusu olabilir. Ancak, uygun mekanizma seçiminin maliyet, bakım kolaylığı, çevre şartları, yer ihtiyacı, basitlik, güvenirlilik gibi hususların da göz önüne alınması gereklidir.

Kayış-kasnak mekanizmalarının belli başlı özellikleri ve diğer mekanizmaların önemli farklılıkları şöyle sıralanabilir:

- Çok düşük çevre hızları dışında maliyeti en az olan mekanizmalarıdır. Konstrüksiyonları basit, imalatlari kolaydır.
- Yağ dışında çevre şartlarından pek fazla etkilenmezler. Bakımı kolaydır. Kapalı yapılması zorunlu yoktur. Açıkta çalışabilmeleri bir çok uygulamada konstrüksiyon kolaylığı sağlar. Ancak dönen bir sistem olduğu için gerekli güvenlik önlemlerinin alınması zorunludur.
- Kayışın elastik bir eleman oluşu ve aşırı yüklerde kasnak üzerinde katabilmesi mekanizmaya titreşimleri ve darbeleri söndürücü bir özellik kazandırır.
- Eksenleri arasındaki uzaklık büyük olan miller kayış-kasnak mekanizması ile basit ve ucuz bir şekilde birbirine bağlanabilir.
- Kayış-kasnak mekanizmaları oldukça geniş hız ve güç bölgesinde kullanılabilirler. Düz kayışlar ile 100 m/s çevre hızlarına kadar çıkılabilir. Bu hızın üzerinde ancak çok yüksek kaliteli dişli çark mekanizmaları kullanılabilir. Ancak kayış-kasnak mekanizmalarının zincir ve dişli çark gibi şekil bağlı mekanizmalara nazaran iletilen birim güç başına düşen hacim ve ağırlığı daha büyütür. Bu nedenle aynı bir dönme sayısı için dişli çark ve zincir mekanizmalarında hacim ve bunun sonucu olarak çevre hızı daha küçük tutulabilir.
- Sürtünme bağlı ile güç iletken düz ve V-kayışı mekanizmalarında kasnak ile kayış arasında küçük te olsa önlenmesi mümkün olmayan bir kayma vardır. Bu nedenle açısal konumları birbirine göre belirli(senkron) olması istenen iki mili bağlamak için kullanılamazlar (Mecburi hareketli mekanizmalar). Örnek olarak motorlardaki krant mili ile kam milinin bağlantısı gösterilebilir. Bu bağlantı eğer kayış ile yapılırsa ancak şekil bağlı olan bir dişli kayış kullanılabilir.
- Mekanik kayıplar oldukça az olup iyi boyutlandırılmış kayış kasnak mekanizmalarında verim 0,95...0,98 arasındadır.

1.2. Kayış çeşitleri

Kesitlerine göre kayışlar, dolayısı ile kayış-kasnak mekanizmaları üç ana gruba ayrılır (Şekil 1.1).



Şekil 1.1 Kayış çeşitleri: (a) Düz kayışlı mekanizma, (b) V-kayışlı mekanizma, (c) Dişli kayışlı mekanizma.

a. Düz kayışlar: Uygun malzemeden yapılmış, bükülebilme elastikliği fazla olan bir banttan ibarettir. Kayış, mekanizmada sağlanan gerginlik ile kasnak üzerine bastırır. Aradaki sürtünme bağı ile güç ve hareket iletimi mümkün olur (Şekil 1.1.a).

b. V-kayışları: Kayışa ve kasnağa verilen özel şekil ile kama etkisi sağlanmıştır. Bu sebepten ötürü kayış ile kasnak arasındaki temas kuvveti, dolayısı ile sürtünme bağı, aynı bir gerginlik için düz kayışa göre daha büyktür. Bunun sonucu aynı moment için daha küçük gerginlik yeterlidir (Şekil 1.1.b).

c. Dişli kayışlar: Diğer ikisinden önemli farkı güç ve hareket iletiminin şekil bağı ile sağlanmasıdır (Şekil 1.1.c). Dişli kayış ile kasnak arasında kayma söz konusu değildir. Bu kayışa elastik malzemeden yapılmış zincir de denebilir. Ancak kayış-kasnak mekanizmaları ile aynı grup içinde incelenir.

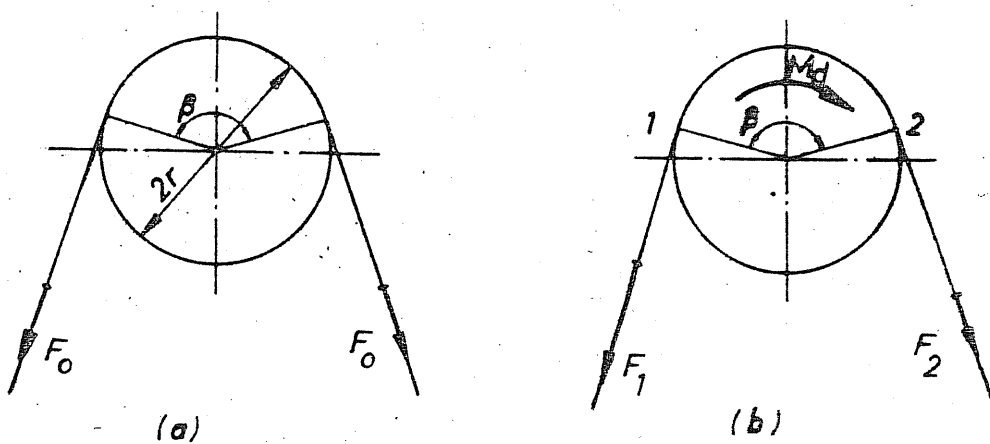
Bunların dışında cihaz tipi sistemlerde yuvarlak kesitli kayışlar da kullanılmaktadır.

2. KAYIŞ-KASNAK MEKANİZMALARINDA KUVVET VE HIZ DURUMU

2.1. Sürtünme bağı ile güç ve hareket illetimi

Düz kayışların ve V-kayışlarının kullanılan mekanizmalarında kasnak ile kayış arasındaki bağ sürtünme bağıdır.

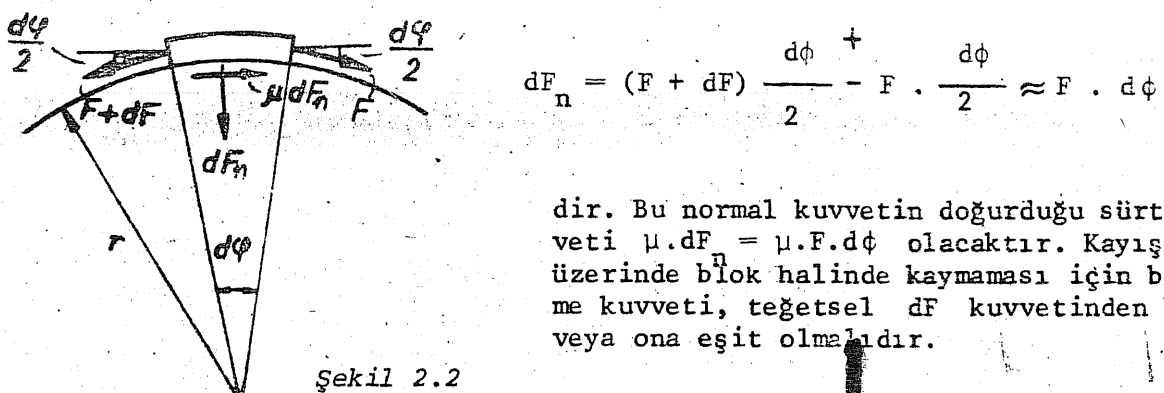
Dönen bir serbestligine sahip bir kasnak üzerindeki kayışın kollarına bir germe kuvveti uygulandığında kasnağa bir döndürme momenti etkimezken kayış kollarındaki kuvvetler birbirine eşittir (Şekil 2.1 a). Bu kuvvet F ile gösterilsin. Kasnağa bir döndürme momenti etkidiğinde kayış kollarındaki gerilmeler bir kolda artacak diğerinde ise azalacaktır (Şekil 2.1 b). Bu durumda kayış kol kuvvetleri F_1 ve F_2 ile gösterilirse, kayışın kasnak üzerine sarılı olan kısmındaki kuvvet, 1 ile 2 kesitleri arasında azalıp F_1 den F_2 ye düşecektir. Denge şartından



Şekil 2.1

$$M_d = (F_1 - F_2) \cdot r = F_u \cdot r \quad (2.1)$$

yazılabilir. $F_1 - F_2$ farkı F ile gösterilir ve buna faydalı kuvvet denir. Bu eşitlik tek başına kol kuvvetlerinin bulunması için yeterli değildir. İkinci bir bağıntıya daha ihtiyaç vardır. Kayış ile kasnak arasındaki sürtünmeyi de dikkate almak gereklidir. Çevrede herhangi bir noktada $r.d\phi$ uzunlığında sonsuz küçük bir kayış parçası ile kasnak arasındaki normal kuvvet (Şekil 2.2)



dir. Bu normal kuvvetin doğurduğu sürtünme kuvveti $\mu \cdot dF_n = \mu \cdot F \cdot d\phi$ olacaktır. Kayışın kasnak üzerinde blok halinde kaymaması için bu sürtünme kuvveti, tegetsel dF kuvvetinden büyük veya ona eşit olmalıdır.

Şekil 2.2

$$dF \leq \mu F d\phi$$

$$\frac{dF}{F} \leq \mu \cdot d\phi$$

$$\int_{F_1}^{F_2} \frac{dF}{F} \leq \int_0^\beta \mu \cdot d\phi$$

olur. Sürtünme katsayısının tüm temas yayı boyunca sabit olduğu kabul edilirse

$$\ln \frac{F_1}{F_2} \leq \mu \beta$$

veya

$$\frac{F_1}{F_2} \leq e^{\mu \beta} \quad (2.2)$$

bulunur. 2.1 ve 2.2 bağıntıları ile kol kuvvetleri hesaplanabilir. Burada β kayış ile kasnağın temas yayını gören merkez açıdır ve bu açıya-sarıılma açısı adı verilir. 2.2 Formülüne literatürde Eytelwein, Grashof veya Euler formülü adı verilir.

2.2 Merkezkaç kuvvetlerin etkisi

Kasnağa sarıldığı andan itibaren dönme hareketi yapan kayışa merkezkaç kuvvetler de etkiler. Bu kuvvet, kayışı kasnak üzerinden kaldırırmaya çalışarak sürtünme bağıını zayıflatır ve güç iletimi bakımından istenmeyen bir durum ortaya çıkarır.

Kasnak çevresinde, $r.d\phi$ uzunluğundaki sonsuz küçük kayış parçasına gelen merkezkaç kuvvet dF ve merkezkaç etkiden dolayı kayışta ortaya çıkan kuvvet F_s olsun. $r.d\phi$ uzunluğundaki kayışın kütlesi dm olduğuna göre

$$dm = d\phi \cdot r.A. \frac{\gamma}{g}$$

$$dF = dm \cdot r \omega^2$$

$$dF = A \cdot \frac{\gamma}{g} \cdot r^2 \cdot \omega^2 \cdot d\phi = A \cdot \frac{\gamma}{g} \cdot V^2 \cdot d\phi$$

Sekil 2.3

dir. Burada A kayışın kesit alanı, γ özgül ağırlığı V çevre hızıdır. Kayış elemanın denge denkleminden

$$F_s \cdot \frac{d\phi}{2} + F_s \cdot \frac{d\phi}{2} = F_s \cdot d\phi = dF$$

elde edilir. dF yerine yukarıda bulunan değeri konularak

$$F_s \cdot d\phi = A \cdot \frac{\gamma}{g} \cdot V^2 \cdot d\phi$$

$$F_s = A \cdot \frac{\gamma}{g} \cdot V^2 \quad (2.3)$$

bulunur. Bu kuyvetten dolayı kayış kesitinde ortaya çıkan gerilme

$$\sigma_s = \frac{F_s}{A} = \frac{\gamma}{g} \cdot V^2 \quad (2.4)$$

dir. Bu, dönen bir çemberde merkezkaç etkiden dolayı ortaya çıkan gerilmedir.

Merkezkaç etki dikkate alınmadan çıkarılmış olan (2.2) ifadesi merkezkaç etki de düşünüлerek

$$\frac{F_1 - F_s}{F_2 - F_s} \leq e^{\mu\beta} \quad (2.5)$$

şeklini alır. Benzer şekilde gerilmeler cinsinden, $F_1/A = \sigma_1$ ve $F_s/A = \sigma_s$ olmak üzere

$$\frac{\sigma_1 - \sigma_s}{\sigma_2 - \sigma_s} \leq e^{\mu\beta}$$

yazılabilir.

2.3 İletilen güç, optimum hız, sınır hız

Kayış kasnak mekanizması ile过的 güç, faydalı kuvvet ile kayış hızının (kasnak çevre hızının) çarpımına eşittir.

$$P = F_u \cdot V$$

$$F_u = F_1 - F_2 \quad \text{ve} \quad F_1/F_2 = e^{\mu\beta} \quad \text{bağıntılarından}$$

$$F_u = F_1 \cdot \frac{e^{\mu\beta} - 1}{e^{\mu\beta}}$$

bulunur. Merkezkaç etkinin sürtünme bağıni zayıflattığı da dikkate alınırsa

$$F_u = (F_1 - F_s) \cdot \frac{e^{\mu\beta} - 1}{e^{\mu\beta}}$$

yazılabilir. Kayış kesit alanı A ile gösterilirse

$$P = (F_1 - F_s) \cdot \frac{e^{\mu\beta} - 1}{e^{\mu\beta}} \cdot V = V \cdot (\sigma_1 - \frac{\gamma}{g} V^2) \cdot \left[\frac{e^{\mu\beta} - 1}{e^{\mu\beta}} \right] \cdot A$$

$$P = V \cdot (\sigma_1 - \frac{\gamma}{g} \cdot V^2) \cdot K$$

olur. Sürünme katsayısının hızla fazla değişmediği kabul edilirse K hızdan bağımsızdır. $K = 0$ için $P = 0$ olur. Bu, sürtünme olmaması demektir. Benzer şekilde $\sigma_1 = (\gamma/g)V^2 = 0$ için $P = 0$ olur. Buradan

$$V_{\text{sınır}} = \sqrt{\sigma_1 \cdot \frac{g}{\gamma}}$$

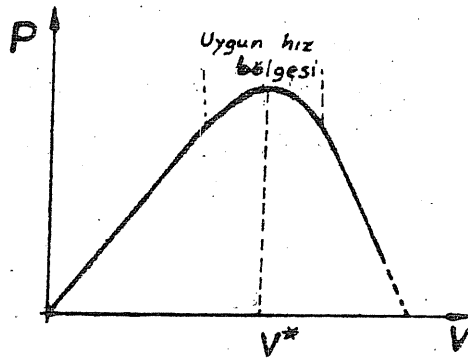
şeklinde merkezkaç etki nedeniyle iletilen gücün sıfır olduğu sınır hız değeri elde edilir. Mekanizmada bu hızın üzerine çıkmak mümkün değildir.

Belirli bir ön gerilme verilmiş mekanizmada iletilen gücün maksimum olduğu hız değeri yukarıdaki bağıntıdan hesaplanabilir. Güç ifadesinin hız'a göre türevi alınır ve sıfıra eşitlenirse:

$$\frac{dP}{dV} = (\sigma_1 - \frac{3\gamma}{g} V^2) \cdot K$$

$$\frac{dP}{dV} = 0 \quad \text{için} \quad V = \frac{1}{\sqrt{3}} \cdot \sqrt{\sigma_1 \cdot \frac{g}{\gamma}} = V^*$$

$$V^* = \frac{1}{\sqrt{3}} \cdot V_{\text{sınır}} = 0,58 V_{\text{sınır}}$$

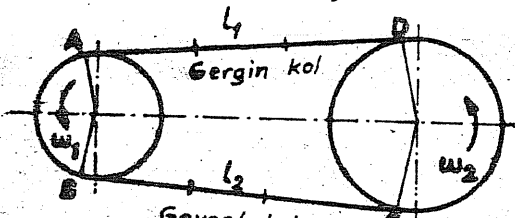


Şekil 2.4

bulunur. Sınır hızın yaklaşık yarısı civarında iletilen güç en büyük değerini almaktadır. İletilen gücün hız'a bağlı olarak değişimi, hesaplanan bu değerler de göz önüne alınarak çizilebilir (Şekil 2.4). Mekanizmada bir uygun hız bölgesi, optimum hız bölgesi vardır. Olabildiği kadar bu bölgede kalınmalıdır. Yüksek hızlı mekanizmalarda, kayışa verilecek ön gerilmenin büyük olabileceğinin dolayısıyla kayış mukavemetinin önemi görülmektedir. Yüksek çevre hızlarına, büyük ön gerilme verilebilen kaliteli kayışlarla çıkılabilir.

2.4. Elastik kayma (sürünme)

Yeterli gerginliğe sahip mekanizmada kayış kasnak üzerinde bir blok halinde kaymaz. Ancak, kayışın elastik şekil değişimi nedeniyle kasnak ile kayış arasında küçük de olsa bir kayma vardır. Buna elastik kayma veya sürünme denir.



Şekil 2.5

Kayışın gergin kolu ile gevşek kolu arasındaki gerilme farkı $\sigma_1 - \sigma_2$ dir. Kasnaklar ile kayışın temas yayları boyunca her kesitte farklı bir gerilme söz konusudur. Kayışın elastik uzaması da sarılma yayı boyunca değişecektir. A ve C noktalarında, kayışın kasnaklara sarılmaya başladığı

noktalarda kasnak çevre hızı ile kayış hızı birbirine eşittir (Şekil 2.5). Mekanizmanın çevrim oranı

$$i_{\text{hakiki}} = \frac{\omega_1}{\omega_2} = \frac{\frac{V_A}{r_1}}{\frac{V_C}{r_2}} = \frac{r_2}{r_1} \cdot \frac{V_A}{V_C} = i_{\text{teorik}} \cdot \frac{V_A}{V_C}$$

dir. $V_C = V_B$ olduğuna göre

$$i_{\text{hakiki}} = i_{\text{teorik}} \cdot \frac{V_A}{V_B}$$

olur. V_A/V_B oranının kayış kollarındaki gerilmeler cinsinden hesabı mümkündür. Kayışın gergin kolunda l_1 uzunlığında olan kayış parçası gevşek kol tarafına geldiğinde l_2 uzunlığında olacaktır. İkisi arasındaki fark

$$\Delta l = l_1 - l_2 = \frac{\sigma_1 - \sigma_2}{E} \cdot l_1 = \frac{\sigma_u}{E} \cdot l_1$$

dir. Aynı sürede, mekanizmanın değişik kesitlerinden aynı miktarda kayış kitlesi geçmesi şartından

$$\frac{V_A}{l_1} = \frac{V_B}{l_2}$$

yazılabilir. Buradan

$$\frac{V_B}{V_A} = \frac{l_2}{l_1} = \frac{l_1 - \Delta l}{l_1} = 1 - \frac{\Delta l}{l_1} = 1 - \frac{\sigma_u}{E}$$

$$\frac{V_A}{V_B} = \frac{1}{1 - \frac{\sigma_u}{E}}$$

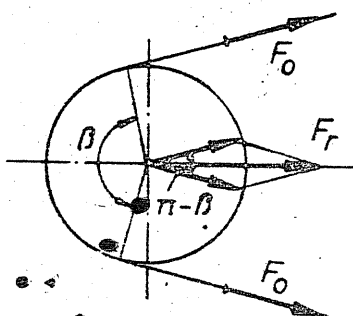
ve

$$i_{\text{hakiki}} = i_{\text{teorik}} \left(1 - \frac{\sigma_u}{E}\right) = i_{\text{teorik}} \left(1 - \frac{\sigma_1 - \sigma_2}{2}\right)$$

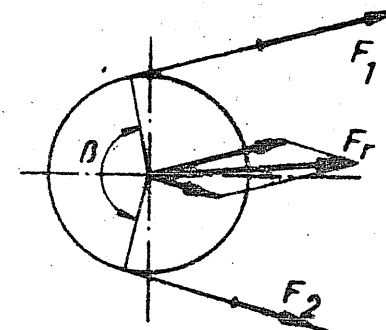
sonucu bulunur. Görüldüğü gibi hakiki çevrim oranı teorik çevrim oranından bir miktar küçüktür. Mekanizma ile iletilen moment büyüğünde elastik kayma artar. Uzama elastikliği fazla olan kayışların kullanıldığı mekanizmada da elastik kayma daha büyük olur. Pratikte bu kayma % 0,5 ... 1,5 mertebesindedir. Bu sebepten ötürü açısal pozisyonları birbirine göre belirli olması gereken iki mil arasında sürünme bağlı olan kayış çeşitlerinin (düz ve V-kayışlarının) kullanılamayacağı söylenebilir.

2.5. Ön gerilme kuvveti, mile etkiyen kuvvet

Mekanizma hareketsizken kayış kollarındaki kuvvetler eşittir. Bu durumda kol kuvvette ön gerilme kuvveti denir ve F_o ile gösterilir. Bu kuvvetlerin bileskesi kasnağın takılı olduğu mile radyal kuvvet olarak gelir ve



Şekil 2.6



Şekil 2.7

$$F_r = F_o \sqrt{2|1+\cos(\pi-\beta)|} = F_o \sqrt{2(1-\cos\beta)} = 2F_o \sin \frac{\beta}{2} \quad (2.6)$$

ya eşittir (Şekil 2.6). Kayış kolları birbirine paralel ise $\beta = \pi$ olduğundan

$$F_r = 2 F_o$$

olur. Diğer taraftan mekanizmanın çalışması sırasında kayış kollarındaki kuvvetler F_1 ve F_2 , bunların bileskesi olarak mile etkiyen radyal kuvvet ise

$$F_r = \sqrt{F_1^2 + F_2^2 + 2 F_1 F_2 \cos(\pi-\beta)} = \sqrt{F_1^2 + F_2^2 - 2 F_1 F_2 \cos\beta} \quad (2.7)$$

olacaktır (Şekil 2.7). Kayış kolları birbirine paralel, yani

$$\beta = \pi \quad \text{için} \quad F_r = F_1 + F_2$$

olur. Mekanizmalarda kayış kollarının paralellikten kaçıklıkları çoğunlukla pek fazla değildir. Bu bakımdan mekanizma çalışmazken

$$F_r \approx 2 F_o$$

çalışıyorken

$$F_r \approx F_1 + F_2$$

olduğu kabul edilebilir. Bu iki bağıntıdan

$$F_o \approx \frac{1}{2} (F_1 + F_2)$$

yazılabilir. Diğer taraftan

$$\frac{F_1}{F_2} < e^{\mu\beta}$$

$$F_u = F_1 \frac{e^{\mu\beta}-1}{e^{\mu\beta}} = F_2(e^{\mu\beta}-1)$$

eşitliklerinden

$$\phi = \frac{F_u}{F_r} = \frac{F_u}{2F_o} = \frac{F_1 - F_2}{F_1 + F_2} = \frac{e^{\mu\beta}-1}{e^{\mu\beta}+1} \quad (2.8)$$

şeklinde bir oran yazılabilir. ϕ ye çekme faktörü denir. Aynı bir faydalı kuvvet için mile dolayısı ile yataklara gelen yükün küçük kalması ϕ nin büyük olması ile mümkündür. Sürtünme katsayısı büyük ise ϕ büyük olur. Çekme faktörü ve faydalı kuvvet biliniyorsa mekanizmada verilmesi gereken ön gerilme kuvveti

$$F_o \geq \frac{F_u}{2\phi} \quad (2.9)$$

olmalıdır. Merkezkaç etkinin kayış ile kasnak arasındaki sürtünme bağıni zayıflattığı dikkate alınırsa ön gerilme kuvveti, çevre hızının fazla olduğu mekanizmaların biraz daha büyük olmalıdır. Bu durumda ön gerilme kuvveti

$$F_o \geq \frac{F_u}{2} + F_s = \frac{F_u}{2\phi} + \frac{\gamma}{g} \cdot V^2 \cdot A \quad (2.10)$$

şartını sağlamalıdır.

2.6. Kayıştaki gerilmeler

F_1 ve F_2 ,

$$M_d = (F_1 - F_2) \cdot r = F_u \cdot r \quad \text{ve} \quad \frac{F_1}{F_2} = e^{\mu\beta}$$

bağıntılarından bulunan kayış kol kuvvetleri olmak üzere kayış kollarındaki çekme gerilmeleri

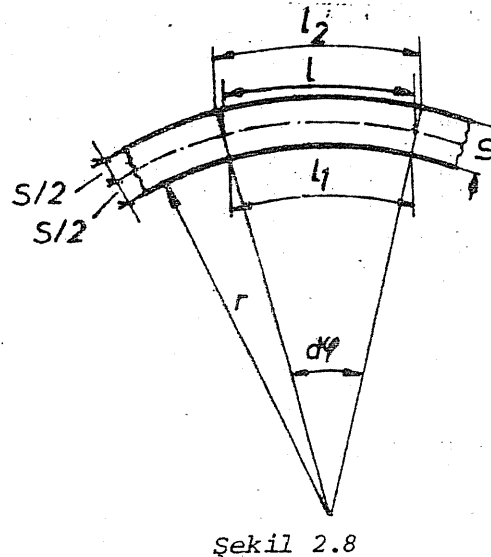
$$\sigma_1 = \frac{F_1}{A} \quad \sigma_2 = \frac{F_2}{A}$$

dir. Merkezkaç kuvvetten ileri gelen ek gerilmeler de dikkate alınırsa kollardaki çekme gerilmeleri

$$\sigma_1 + \sigma_s = \frac{F_1}{A} + \frac{\gamma}{g} \cdot V^2$$

$$\sigma_2 + \sigma_s = \frac{F_2}{A} + \frac{\gamma}{g} \cdot V^2$$

olur. Kayış kasnaklara sarıldığı bölgede eğilme gerilmeleri ile de zorlanır.



Şekil 2.8

Kasnak üzerine sarılmış kayışın orta kesitinde (tarafsız eksende) eğilme nedeniyle şekil değişimi olmadığı kabul edilirse (Şekil 2.8), kayışın iç ve dış yüzeylerindeki birim uzamalar

$$\varepsilon_1 = \frac{l_1 - l}{l} = \frac{\left[r - \left(r + \frac{s}{2} \right) \right] d\phi}{\left(r + \frac{s}{2} \right) d\phi} = - \frac{\frac{s}{2}}{r + \frac{s}{2}} = - \frac{s}{d + s}$$

$$\varepsilon_2 = \frac{l_2 - l}{l} = \frac{\left[r + s - \left(r + \frac{s}{2} \right) \right] \cdot d\phi}{\left(r + \frac{s}{2} \right) \cdot d\phi} = \frac{s}{d + s}$$

dir. Kayış kalınlığı kasnak çapının yanında küçük olduğundan paydadaki s ihmal edilerek

$$\varepsilon_2 = - \varepsilon_1 \approx - \frac{s}{d}$$

yazılabilir. Kayış malzemesinin Hooke kanunu uyduğu kabul edilirse (kaba bir yaklaşımla böyle olduğu düşünülebilir)

$$\sigma_{eg} = \varepsilon \cdot E_b = - \frac{s}{d} \cdot E_b$$

olur. Burada E_b kayışın eğilme elastiklik modülüdür.

Kayıstaki toplam gerilme, kayışın küçük kasnağa sarılmaya başladığı bölgede en büyük değerdedir. Bu bölgede kayışın dış yüzeyindeki gerilme

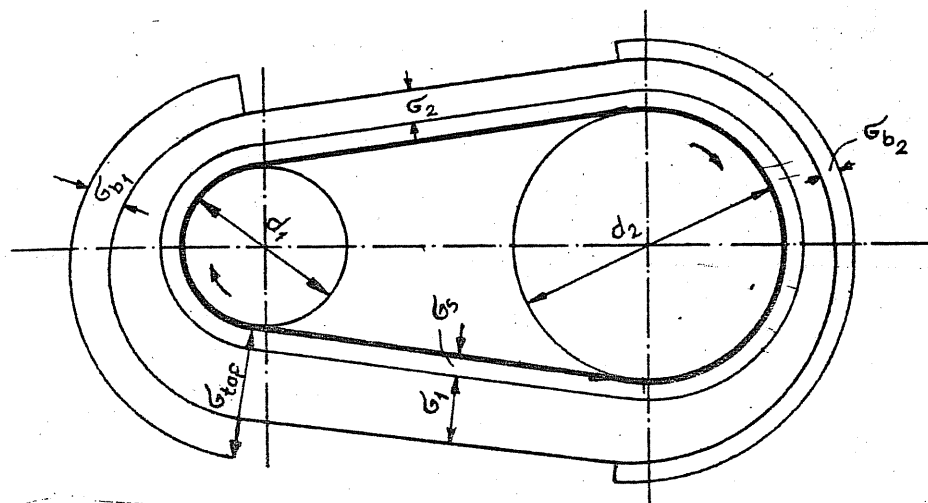
$$\sigma_{top} = \sigma_1 + \sigma_s + \sigma_{eg} = \frac{F_1}{A} + \frac{\gamma}{g} \cdot V^2 + \frac{s}{d} \cdot E_b \quad (2.11)$$

olacaktır. Bu değer kayışın emniyet gerilmesinden küçük kalmalıdır. Gerilmelerin kayış boyunca dağılımı Şekil 2.9 da gösterilmiştir.

2.7. Eğilme frekansı

Kayışların yıpranmasında en fazla etkisi olan gerilme eğilme gerilmesidir. Belirli bir kayışın birim zamanda maruz kaldığı eğilme tekerrürü (eğilme frekansı)

$$f_B = \frac{Z \cdot V}{L} \quad (2.12)$$



Şekil 2.8 Kayıştaki gerilmelerin dağılımı

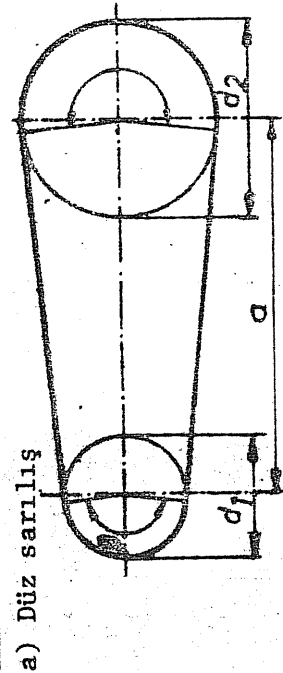
dir. Burada Z kasnak sayısı, V kayış hızı, L ise kayışın uzunluğudur. Eğilme frekansının kullanılan kayış malzemesi için belirli bir değeri aşması istenmez.

3. GEOMETRİK BAĞINTILAR

Çok kullanılan birkaç tertip tarzi için kasnak çapları, eksenler arası uzaklık, kayış uzunluğu ve sarılma açıları arasındaki ilişkiler Cetvel 3.1 de verilmiştir. Cetveldeki ifadelerde kayış kalınlığının etkisi dikkate alınmamıştır. Kasnak çapı olarak hangi değerin alınacağı ve hesaplanan kayış uzunluğunun hangi kesitteki uzunluk olduğu söz konusu kayışla ilgili bölümde açıklanmıştır.

Cetvel 3.1 dekiler dışında tertipler söz konusu olursa kayış boyunun yaklaşık hesabı çok zaman yeterli olur.

Cetvel 3.1 Geometrik bağıntılar.



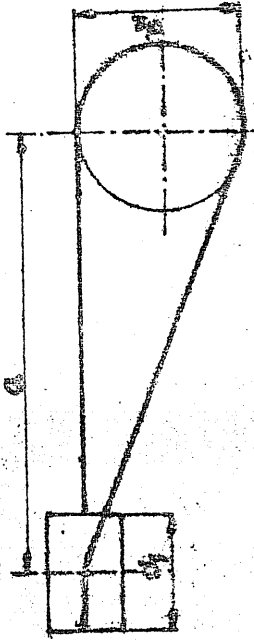
$$L = \beta \cdot d_1 / 2 + (2\pi - \beta) \cdot d_2 / 2 + 2a \sin(\beta/2)$$

$$L \approx 2a + \pi(d_1 + d_2)/2 + (d_2 - d_1)^2 / 4a$$

$$a = L - [\beta \cdot d_1 / 2 + (2\pi - \beta) \cdot d_2 / 2] \sin(\beta/2)$$

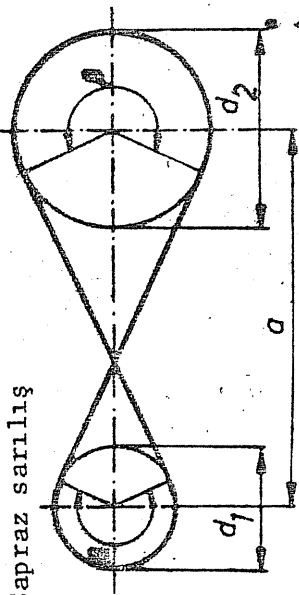
$$\cos \beta / 2 = (d_2 - d_1) / 2a$$

c) 90° (1/4) dönmiş



$$L = 2a + \pi(d_1 - d_2)/2 - (d_1^2 - d_2^2)/2a$$

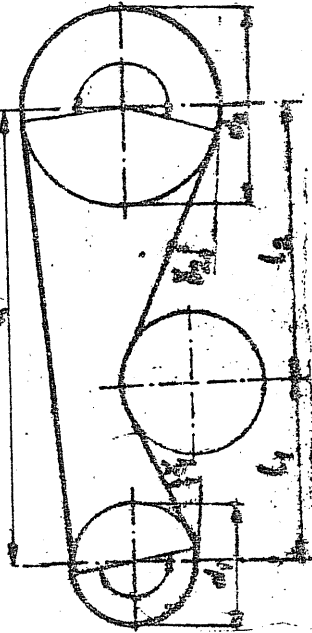
b) Çapraz sarılış



$$L = \beta \cdot d_1 / 2 + (2\pi - \beta) \cdot d_2 / 2 + 2a \sin(\beta/2)$$

$$\cos \beta / 2 = (d_1 + d_2) / 2a$$

d) Gergi kasnaklı



$$L \approx 2a + \pi(d_1 + d_2)/2 + (d_2 - d_1)^2 / 4a$$

$$+ (l_1 / \cos \gamma_1 + l_2 / \cos \gamma_2) - (l_1 + l_2)$$

4. DÜZ KAYIŞLAR-DÜZ KAYIŞ-KASNAK MEKANİZMALARI

4.1. Genel özellikleri ve kullanılma sınırları

Tarihsel açıdan en eski mekanizmalardan biridir. Geniş bir hız ve moment bölgelerinde kullanılabilir. Teknolojik gelişmeler sonucunda orta hızlar ve güçler bölgesinde yerini büyük ölçüde başka mekanizmalara bırakmıştır. Çevre hızının 45 m/s den veya iletilen gücün 400 kW dan büyük olması durumunda kullanılabilecek tek kayış-kasnak mekanizması çeşididir.

Düz kayış-kasnak mekanizmaları ön gerilme kuvvetindeki değişimlere, V-kayış-kasnak mekanizmalarına göre daha hassastır ve ön gerilme kuvvetinin de daha büyük olması gereklidir. Bu nedenle kasnakların takılı olduğu millere ve yataklarına da daha büyük yükler gelir.

4.2. Düz kayış malzemeleri

Düz kayış mekanizmalarının kullanılma sınırlarını belirleyen en önemli husus kayış malzemesinin fiziksel özellikleridir. Çok çeşitli malzemelerden kayış yapılmaktadır. Belli başlıklarını aşağıdaki şekilde gruplandırmak mümkündür.

- Kösele kayışlar,
- Tabii ve sentetik elyaftan dokunmuş tekstil kayışlar
- Çeşitli malzemelerle emprende edilmiş bez kayışlar,
- Yüksek mukavemetli taşıyıcılı, elastomer veya kösele yüzeyli kayışlar,
- Çeşitli plastik şeritlerden yapılmış kayışlar,
- Çelikten yapılmış kayışlar.

Kösele, en eski kayış malzemesidir. Günüümüzde yeni konstrüksiyonlarda nadir olarak kullanılmaktadır. Rutubet, sıcaklık gibi çevre şartlarından fazla etkilenmeleri, mukavemetinin sonradan geliştirilen bazı kayış malzemelerinden düşük olması, köselenin zamanla uzaması nedeniyle sık sık yeniden germe zorunluğu ve pahalı olmaları başlıca sakıncalarıdır. Bunlara karşılık kösele kayışlar sürtünme yönünden iyi özelliklere sahiptir. Deneyler, kösele kayış ile kasnak arasındaki sürtünme katsayısının çevre hızına bağlı olduğunu ve çevre hızı ile önemli ölçüde arttığını göstermiştir. Kasnak yüzeyinin pürüzsüz ve parlak, kayışın da hafif yağlı olması halinde daha büyük sürtünme katsayıları ölçülmüştür. Hafif yağlı durumda kösele kayış ile kasnak arasındaki sürtünme yarı hidrodinamik bir olaydır.

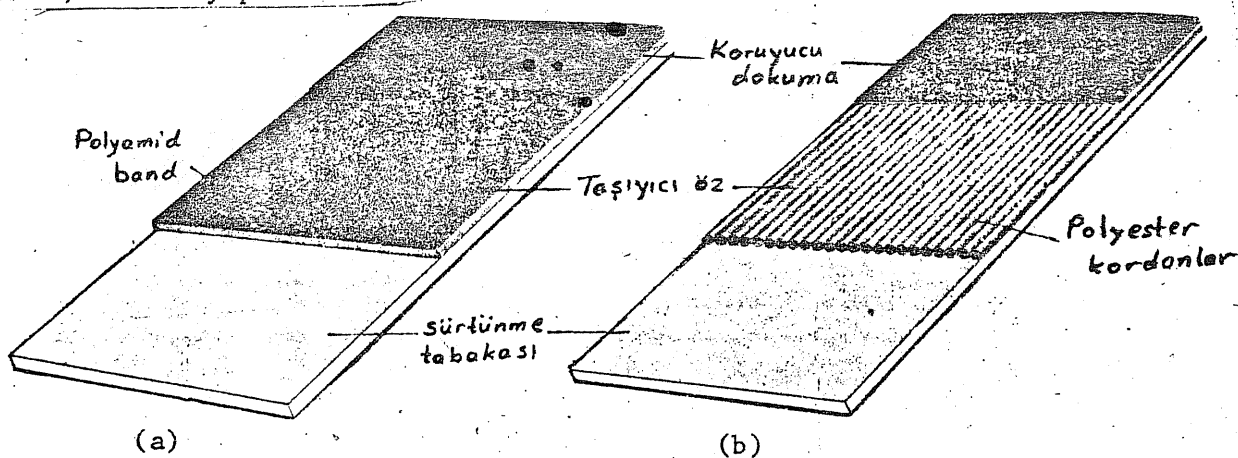
Kösele kayışlar TS 99 ile standartlaştırılmıştır. Bu standartta kayış boyutları, belli başlı fiziksel özellikleri verilmiştir. Kösele kayışlar istenilen kalınlığın elde edilmesi için 1 ile 4 kat arasında yapılmaktadır. Elastikliği fazla, iyi kalitede kösele kayışlar ile 50 m/s çevre hızlarına çıkılabilir.

Tekstil kayışlar pamuk, keten, deve kılı gibi tabii ve polyester, naylon gibi sentetik elyaftan dokunmuş kayışlardır. Pamuktan kayışlar bezir yağı emdirilmiş olarak imal edilir. Kayış mukavemeti ve kasnak ile arasındaki sürtünme katsayısı kullanılan elyafa bağlıdır. Yüksek mukavemetli elyaftan yapılmış kayışlarla yüksek çevre hızlarına çıkılabilir. Pamuktan dokunmuş düz kayışlar TS 98 de standartlaştırılmıştır. Bu kayışlar çoğunlukla tek katlı, nadir olarak ta iki katlı yapılır.

Kauçuk emdirilmiş ve vulkanize edilmiş bez kayışlar TS 97 ile, balata emdirilmiş bez kayışlar TS 96 ile standartlaştırılmıştır. Kayış içindeki bez kat adedi istenen kayış kalınlığına bağlı olarak 2...10 arasında olabilmektedir. Kullanılacak küçük kasnağın minimum çapı ile müsaade edilen kayış hızları kalınlığa bağlı olarak standartlarda belirtilmiştir. Bu kayışlar rutubete ve asitlere dayanıklı oldukları halde madeni yağlardan ve petrol türevlerinden etkilenirler.

Çeşitli plastik malzemelerden yapılmış şeritler de, daha çok hareket iletiminin önemli olduğu cihaz tipi sistemlerde kayış olarak kullanılmaktadır. Polyester, teflon, naylon ve lastik kullanılan belli başlı malzemelerdir.

İyi sürtünme özelliğine sahip kayış yüzeyi ile yüksek çekme mukavemeti özelliklerinin birleştirilmesi amacı ile yapılan araştırmalar yani kayışların geliştirilmesi sonucunu doğurmıştır. Yüksek mukavemetli taşıyıcı bir öz üzerine sürtünme özelliği iyi olan bir malzeme yapıştırılarak istenilen kalitede kayışlar elde edilmiştir. Öz(taşıyıcı) malzemesi tek veya çok katlı polyamid şeritler veya polyester kordonlardır. Bu özün üzerine köseleden veya elastomerden bir sürtünme tabakası yapıştırılmıştır (Şekil 4.1). Sürtünme tabakası, kullanma şekline göre bir veya iki tarafa yapıştırılmaktadır. Polyamid taşıyıcılı olanlar ucu açık olarak imal edilir. İstenen boyda kesilerek uçların yapıştırılması ile kapalı(sonsuz) kayış elde edilir. Kordonlu olanlar belirli uzunluklarda kapalı (sonsuz) olarak yapılmaktadır.



Şekil 4.1 Taşıyıcı ve sürtünme yüzeyi farklı malzemeden yüksek kaliteli kayışlar. Sürtünme malzemesi kösele veya elastomer, taşıyıcı polyamid bant (a) veya polyester kordon olabilir (b).

Polyamid taşıyıcılı kayışlarla 60 m/s çevre hızlarına çıkılabilir. 5000 kW a kadar güçlerin iletilmesi mümkünür. Polyester kordonlu kayışlarla 80 m/s ye kadar hızlara, bazı hallerde 100 m/s nin üzerine çıkılabilir. 1000 kW a kadar güçlerin iletilmesinde kullanılmaktadır. Bu kayışlarda zamanla uzama görülmez. Malzemenin yüksek çeki mukavemeti büyük gerginlik verebilmeyi sağlar. Böylece küçük sarılma açıları ile çalışılabilir, küçük eksen aralığı ve büyük çevrim oranları elde edilebilir. Diğer düz kayışlarla 150° nin altında sarılma açıları tavsiye edilmediği halde bu tip kayışların kullanıldığı mekanizmalarda sarılma açısı 100° ye kadar indirilebilir. Çevrim oranı da $i=15$ e kadar çıkılabilir. Gergi kasına da gerek yoktur. Kuru ve tozlu ortamlarda elastomer sürtünme yüzeyli, yağ, gres ve diğer sıvıların bulaşma tehlikesinin olduğu uygulamalarda kösele sürtünme yüzeyle kayışlar tercih edilmelidir.

Gerek kayış imalinde kullanılan malzemelerin çok çeşitli olması ve bunların çoğuluğunun izotrop ve homojen olmaması, gerekse imalat tekniklerinin farklılığı kayışların fiziksel özelliklerini ve buna bağlı olarak kullanılma sınırlarını bir tabloda karşılaştırmalı olarak toplanmasını güçlendirmektedir. Değişik yaynlarda farklı değerler görülmektedir. Genel bir fikir vermek ve karşılaştırmayı yapabilmek için düz kayış malzemelerinin özellikleri ortalaması değerler ile bir tabloda toplanmıştır (Cetvel 4.1). Daha doğru ve geçerli değerler, kullanılan kayışı imal eden firmannın kataloğundan alınmalıdır.

Cetvel 4.1 Düz kayışların fiziksel özelliklerini (ortalama değerler ile)

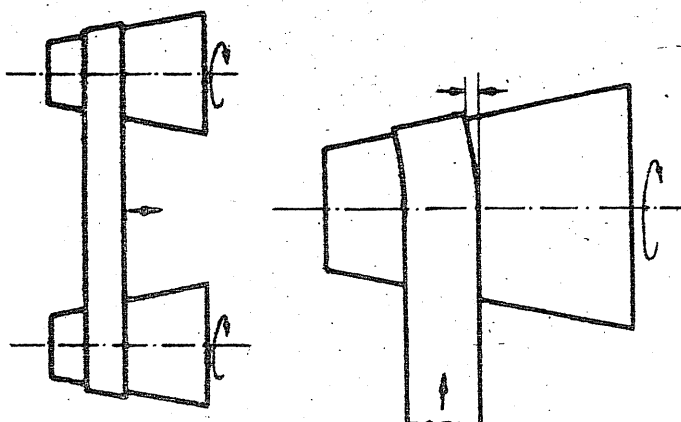
KAYIŞ MALZEMESİ	E [N/mm ²]	E _b [N/mm ²]	γ	σ _{em} [N/mm ²]	V _{max} [m/s]	f _B max [1/s]	μ
Yüksek elastik	450	30...70	9	4,5	50	25	Kıl tarafı 0,3+V/100
KÖSELE Elastik	350	40...80	9,5	4,5	40	10	Et tarafı tarafı 0,2+V/100
Sıkı	250	50...90	10,00	4	30	5	
KAUÇUK - PAMUK	350...700	50	12	4	40	30	0,5
BALATA - PAMUK	350...700	50	12,5	4,5	40	30	0,5
Pamuk	350...700	40	13	4	40	30	0,3
TEKSTİL Suni ipek	3000...6000	-	-	5	40	30	0,35
Polyester	4000...8000	-	-	25	80	80	0,35
ÇOK KATLI KAYIŞ	550...1000 bantlı	500	-	25	80	100	Kösele yüzeyi 0,2+V/100
Polyester kordonlu	400...800	-	-	40	100	80	Elastomer yüzeyi 0,6..0,8

Konu:

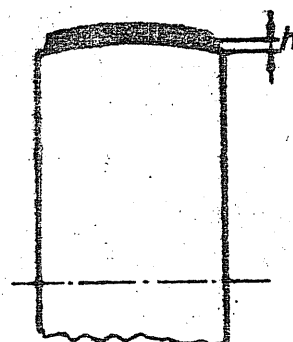
Sahite: 17

4.3. Kayışın kasnaktan atmasını önlenmesi

Şekil 4.2 deki gibi iki konik kasnaklı bir mekanizmada deney yapılrsa kayışın kasnakların büyük çaplı tarafına doğru tırmandığı görülür. Bunun nedeni kayışın kasnak üzerinde büükülmesi ve sarılma yayına kasnak üzerindeki kis-



Şekil 4.2 Kayış kasnağın büyük çaplı tarafına tırmanır.



Şekil 4.3 Düz kayış kasnağında bombelik

mindan daha büyük çapta girmesidir. Kayışın kasnak üzerinde kalmasını sağlamak için bu özellikten faydalananır. Düz kayış kasnakları hafif bombeli yapılır. (Şekil 4.3). Kayış daima kasnağın büyük çaplı orta kısmında kalır. Bombelinin ölçüsü Şekil 4.3 deki gibi tanımlanır. Fazla bombelik, kayışın orta kısmının yanlara göre daha fazla zorlanması ve daha kısa sürede yıpranması sonucunu doğurur. Bu nedenle aşırı bombelikten kaçınmak gereklidir. Yatay eksenli mekanizmalarda çevrim oranı 3 ten büyükse küçük kasnak bombesiz olabilir. Düşey eksenli mekanizmalarda çevrim oranı ne olursa olsun her iki kasnak ta bombeli yapılmalıdır. Bombelik miktarı(h) için standartlarda tavsiye edilen değerler Cetvel 4.2 de verilmiştir.

Kasnak imalinde kullanılan malzemeler ve kasnak gövdesinin konstrüksiyonu için Bölüm 7 ye bakınız.

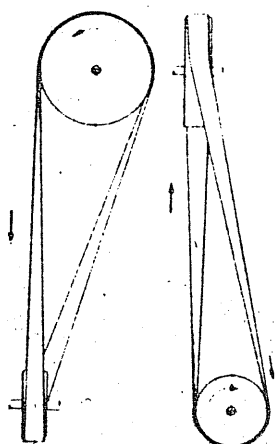
4.4. Paralel olmayan miller arasında düz kayış

Eksenleri paralel miller kayış-kasnak mekanizması ile kolaylıkla bağlanabilir. İster düz isterse çapraz sarılmış olsun kasnak orta kesit düzlemlerinin üst üste düşmesi ve yeterli bombelik ile mekanizma bir problem çıkarmadan çalışır. Paralel olmayan millerin de kayış ile bağlantısı mümkün değildir. Mil eksenleri arasındaki uzaklık büyük ise herhangi bir yardımcı eleman kullanmadan bu bağlantı yapılabılır (Şekil 4.4).

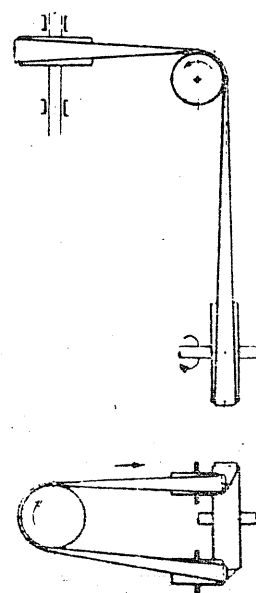
Eksenleri birbirine yakın olan veya kesişen miller arasında hareket iletimi yardımcı kasnaklar (kılavuz kasnaklar) kullanılarak yapılabilir (Şekil 4.5). Paralel eksenli olmayan millerin kayışla bağlantısı için önemli şart şudur: "Kasnaga sarılan kayış kolunun orta ekseni (simetri doğrusu) sarıldığın kasnağın orta düzlemini içinde bulunmalıdır". Yukardaki şart gerçekleşir ve kasnaklara yeterli bombelik verilirse mekanizmada kayışın kasnaktan çıkması önlenmiş olur. Bu tip mekanizmalarda bürulma nedeniyle kayışın aşırı zorlanmasıını önlemek için kayış genişliği/kasnak çapı oranı nispeten küçük tutulmalıdır.

Cetvel 4.2 Düz kayış kasnaklarında bombelik değerleri.

Kasnak çapı d [mm]	Kasnak genişliği	
	b < 250 mm	b > 250 mm
	h [mm]	h [mm]
40 dan 112 ye kadar	0,3	0,3
125 ve 140	0,4	0,4
160 ve 180	0,5	0,5
200 ve 224	0,6	0,6
250 ve 280	0,8	0,8
315 ve 355	1,0	1,0
400 ... 500	1,2	1,2
560 ... 700	1,2	1,2
800 ... 1000	1,2	1,5
1120 ... 1400	1,5	2,0
1600 ... 2000	1,8	2,5



Sekil 4.4



Sekil 4.5

4.5. Avara kasnak mekanizması

Düz kayış-kasnak mekanizması ile, döndüren makina çalışırken döndürülen makinayı gerektiğiinde durdurmak mümkünür. Döndürülen mil üzerine biri kamalı diğer serbest (yataklı) iki kasnak takılmıştır (Şekil 4.6). Döndüren kasnak ise genişir.

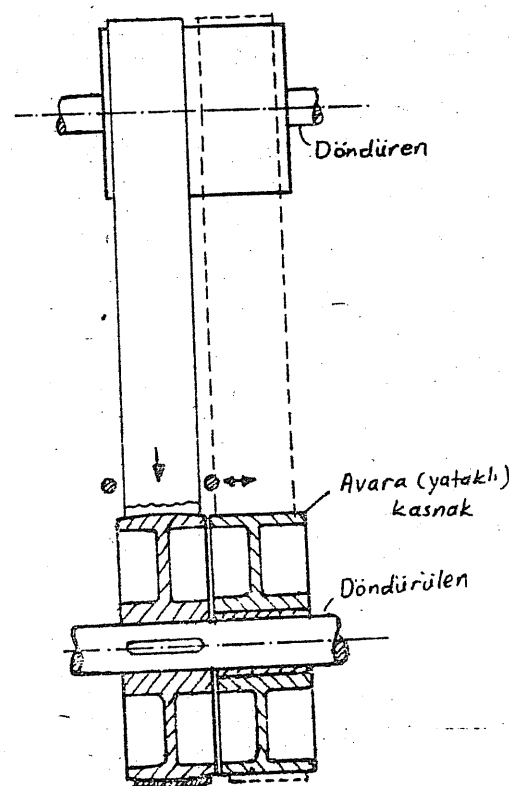
Kayış, bir çatal kol ile döndüren mil çalışıyorduğinden istenen tarafa kaydırılır. Çatalın, kayışın kasnağa sarıldığı kısma konması gereklidir. Aksi halde çatalla kayışı kaydirmak mümkün olmaz. Döndürülen mile bağlı kasnak bombeli, diğerleri ise düz yapılır. Bu mekanizmalarda mile yataklı olup serbest dönen kasnağa avara kasnak denir.

Avara kasnak mekanizması günümüzde sadece eskiden yapılmış konstrüksiyonlarda görülebilir. Yeni konstrüksiyonlarda yerini çözülebilir-bağlanabilen kavramalar ile yapılan sistemlere bırakmıştır.

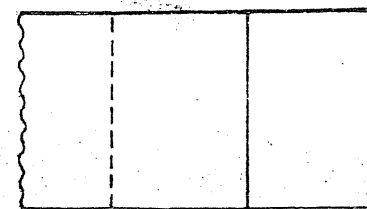
4.6. Kayış uçlarının birleştirilmesi

Bir kısım düz kayışlar belirli boylarda, kapalı (sonsuz) olarak imal edilir. Ancak kullanılan kayışların çoğunda uçlar kullanıcı tarafından birleştirilerek kapalı kayış elde edilir.

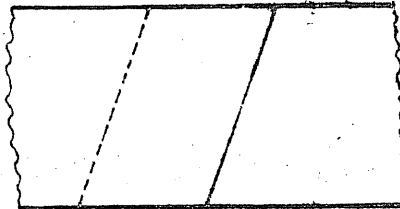
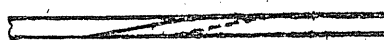
Kayış uçlarının birleştirilmesinde günümüzde en çok uygulanan yol yapıştırıldır. Uçları eğik olarak kesilen veya taşlanarak işlenen (yontulan) kayış uygun bir yapıştırıcı ile birleştirilir (Şekil 4.7a). Bazı kayış imalatçısı firmalar genişlik boyunca da eğik yontmayı tavsiye etmektedirler (Şekil 4.7b).



Şekil 4.6 Avara kasnak mekanizması



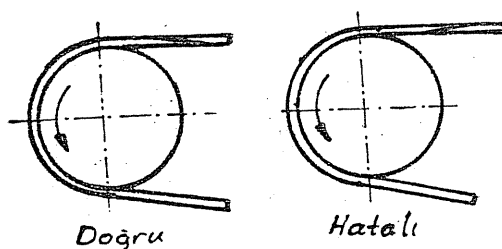
(a)



(b)

Şekil 4.7 Kayış uçlarının yapıştırılarak birleştirilmesi.

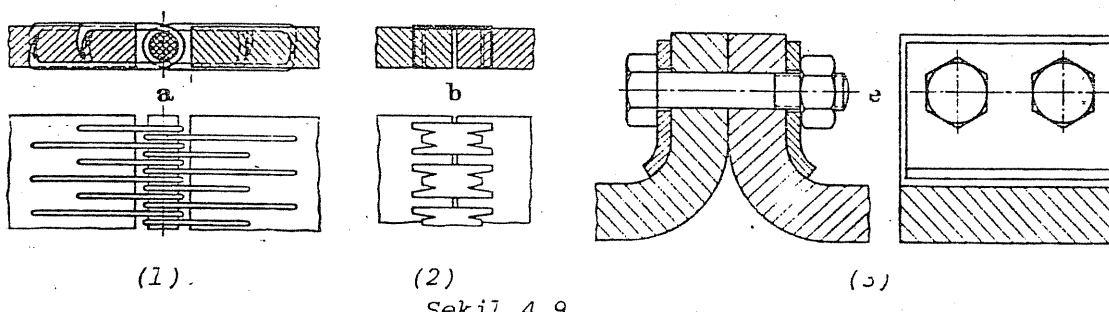
Yapıştırıcı olarak uygun bir sentetik reçine kullanılır. Yapışmanın iyi olması için plâkaları ısıtılan basit presler kullanılmaktadır. Basınç homojen bir yapışmayı, sıcaklık ise yapıştırıcının kısa sürede sertleşmesini sağlar. Kayış genişliğine bağlı olarak çeşitli büyüklüklerde sabit ve tasınabilir kayış yapıştırma presleri kullanılmaktadır.



Şekil 4.8

Kayış hareket yönüne bağlı olarak uçların yontulma yönüne de dikkat edilmelidir (Şekil 4.8).

Kayış uçlarını yardımcı elementler kullanarak da birleştirmek mümkündür. Şekil 4.9 da birkaç örnek görülmektedir. Yüksek hızlarda çalışan kayışlarda yapıştırma en iyi bağlama metodudur.



Şekil 4.9

4.7. Düz kayış-kasnak mekanizmasının boyutlandırılması

Düz kayış hesabı birden fazla sonucu olabilen bir hesaptır. Genel istekleri karşılayan farklı boyutlarda mekanizmalar mümkündür. Hesabın başlangıcında bilinmesi gerekenler şu şekilde sıralanabilir,

- İletilen güç (P)
- Devir sayıları ($n_1, n_2, i = n_1/n_2$)
- İstenen eksen aralığı, sabit veya değişebilir olup olmadığı (a)
- Döndüren ve döndürülen makinanın karakteristikleri, günlük çalışma süresi
- Ortam şartları
- Varsa yer (hacim) sınırlamaları.

Düz kayışların hesabı için genel olarak geçerli, basit bir hesap metodu yoktur. Farklı yaynlarda değişik hesap metodları görülmektedir. Tanınmış bazı düz kayış imalatçısı firmalar, düz kayış hesabını da V-kayışları gibi bir katalog hibina dönüştürmüştürlerdir. Kullanılan kayışın hesabı için bir katalog yoksa hesap aşağıdaki gibi yapılabilir.

1- Hesapta kullanılacak güç, nominal gücün döndüren ve döndürülen makinanın özelliklerine ve günlük çalışma süresine bağlı bir katsayı (aşırı yük faktörü) ile çarpılması ile bulunur.

$$P_{\text{hesap}} = C_2 \cdot P$$

(C_2 katsayısı Bölüm 5 de Cetvel 5.9 da verilmiştir)

2- İkinci adım kayış seçimidir. Uygun olacağı düşünülen kayışın seçilmesi ile kayış kalınlığı (s), emniyet gerilmesi (σ_{em}), eğilme frekansı sınırı (f_{Bmax}), sürtünme katsayısı (μ), elastiklik modülleri (E, E_b) ve kayışın özgül

ağırlığı (γ) belirlenmiş olur.

3- Kayış malzemesi, kalınlığı, istenen çevrim oranı ve eksen aralığı dikkate alınarak kasnak çapları tespit edilir. Kasnak çapları mümkün olduğu kadar standart değerlerde olmalıdır (Cetvel 4.3). Kayıştaki eğilme gerilmesinin sınırlı kalması bakımından belirli bir kayış için kasnağın minimum çapı sınırlanmıştır (d_{min}). Eksen aralığı ile kasnak çapları arasındaki ilişki, özel haller dışında pratik olarak

Cetvel 4.3 Standart düz kasnak
çapları [mm]

40	112	315	900
45	125	355	1000
50	140	400	1120
56	160	450	1250
63	180	500	1400
71	200	560	1600
80	224	630	1800
90	250	710	2000
100	280	800	

$$a = (0,7 \dots 2) (d_1 + d_2)$$

civarında olabilir. Kasnak çapları ve eksen aralığı kullanılarak kayış iç boyu ve sarılma açıları hesaplanır (Cetvel 3.1'e bakınız). Standart uzunlukta kapalı (sonsuz) bir kayış kullanılırsa bulunan kayış uzunluğuna en yakın standart boy alınarak eksen aralığı tam olarak hesaplanır.

4- Mekanizmada çevrim oranı

$$i = \frac{d_2 + s}{d_1 + s}$$

dir. Kayış kalınlığı kasnak çapları yanında ihmal edilirse

$$i = \frac{d_2}{d_1}$$

alınabilir. Çevre hızı

$$v = \omega \cdot r = \frac{\pi \cdot n_1}{30} \cdot \frac{d_1}{2}$$

dir.

5- Kayışın emniyetle taşıyabileceği faydalı gerilme seçilir. Bunun

$$\sigma_u = (0,3 \dots 0,5) \sigma_{em}$$

arasında alınması tavsiye edilir. Bazı firmalar σ_{em} yerine birim genişlikteki kayışın taşıyabileceği yükü (F_{em}) veya faydalı yükü (F_{ul}) verirler.

$$F_{ul} = \sigma_u \cdot s$$

dir.

6- Mekanizmada birim genişlikteki kayışın ileteceği güç

$$P_1 = F_{ul} \cdot v$$

dir. Çeşitli birimlerle

Cetvel 4.4 Standart düz kayış genişlikleri

Kayıs genişliği b [mm]	14	16	20	25	32	40	50	63	71	80	90	100	112	125
Tolerans	+1				+2							+3		
Minimum kasnak genişliği [mm]	16	20	25	32	40	50	63	71	80	90	100	112	125	140
Kayıs genişliği b [mm]	140	160	180	200	224	250	280	315	355	400	450	500	560	
Tolerans					+4							+5		
Minimum kasnak genişliği [mm]	160	180	200	224	250	280	315	355	400	450	500	560	630	

$$P_1 [\text{kW/cm}] = \frac{F_{ul} [\text{N/cm}] \cdot V [\text{m/s}]}{1000} = \frac{F_{ul} [\text{kg/cm}] \cdot V [\text{m/s}]}{102}$$

$$P_1 [\text{BG/cm}] = \frac{F_{ul} [\text{kg/cm}] \cdot V [\text{m/s}]}{75}$$

olur. Gerekli kayış genişliği

$$b = \frac{P_{\text{hesap}}}{P_1}$$

şeklinde bulunur. Bu değere yakın olan standart kayış genişliği alınır (Cetvel 4.4).

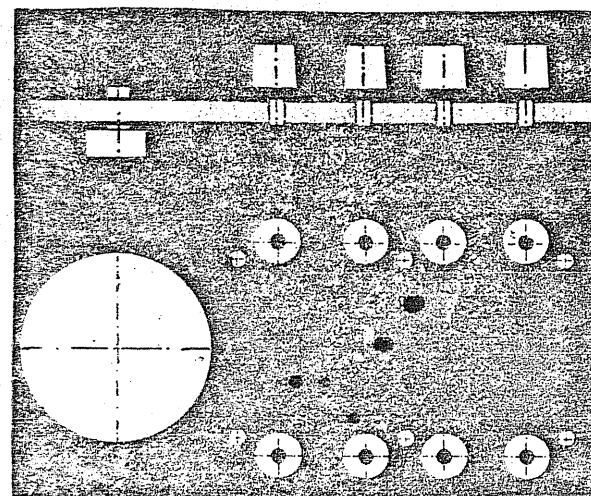
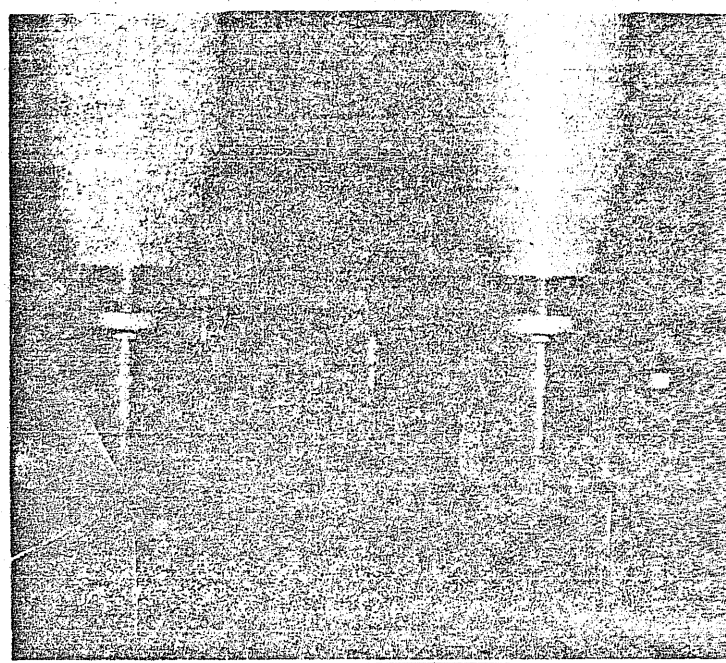
7- Toplam gerilmenin emniyet gerilmesini, eğilme frekansının frekans sınırını aşıp aşmadığı kontrol edilir.

$$\sigma_{top} = \frac{F_1}{b \cdot s} + \frac{\gamma}{g} \cdot V^2 + \frac{s}{d} \cdot E_b \leq \sigma_{em}$$

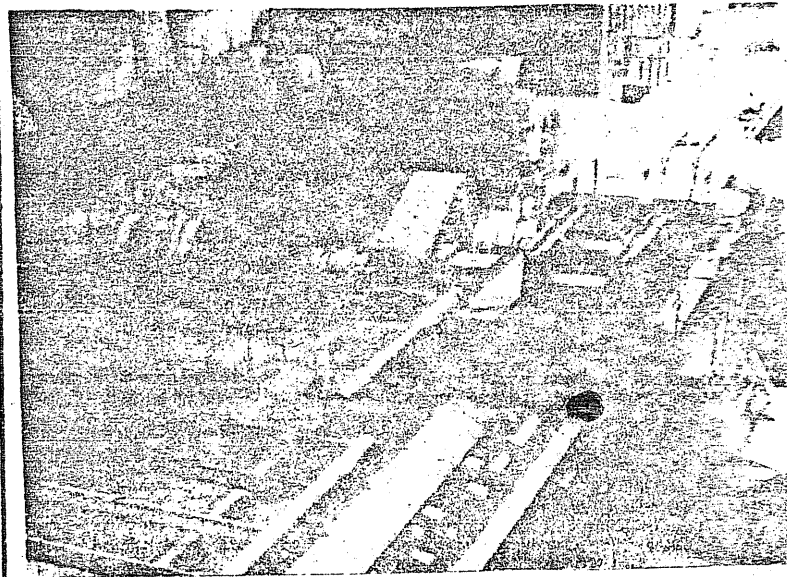
ve

$$f_B = \frac{Z \cdot V}{L} < f_{Bmax}$$

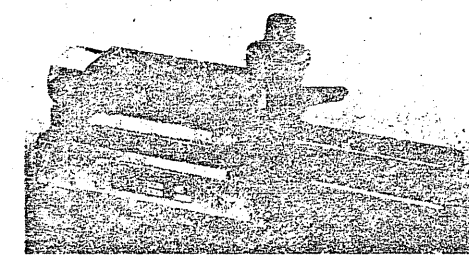
olmalıdır.



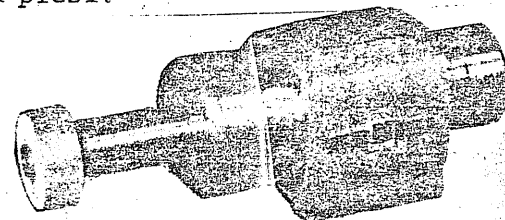
Şekil 4.10 Teğetsel kayış. İplik eğirme, bükme, tekstürize makinaları gibi tekstil makinalarında çok sayıda iğ veya rotor tek bir düz kayış mekanizması ile tahrik edilir. Kayışın döndürülen kasnaklara sarılma açısı çok küçük olduğu için bu kayışlara teğetsel kayış denir. Bu iş için günümüzde polyamid bant özlü, elastomer yüzeyli kayışlar kullanılmaktadır.



Şekil 4.11 Bir haddenin tahrikinde düz kayış kasnak mekanizması. Polyamid bant özlü kayış kullanılmıştır. İletilen nominal güç 1200 kW'dır. Mekanizmaya oldukça büyük darbeli yük gelmektedir.



Şekil 4.12 Kayış uçlarını birleştirmek için kullanılan, plakaları ısıtılan, taşınabilir bir yapıştırma presi.



Şekil 4.13 Düz kayışla tahrik edilen yüksek hızlı bir delik taşlama taşı. Mekanizma burada hızlandırıcı olarak kullanılmaktadır. Kayış kasnağı üzerindeki ince yivler yüksek hızda kayış ile kasnak arasında bir hava yastığı olmasını önlemek için açılmıştır.

1
B
E
S
H
S

a
o
y
i
l
ve

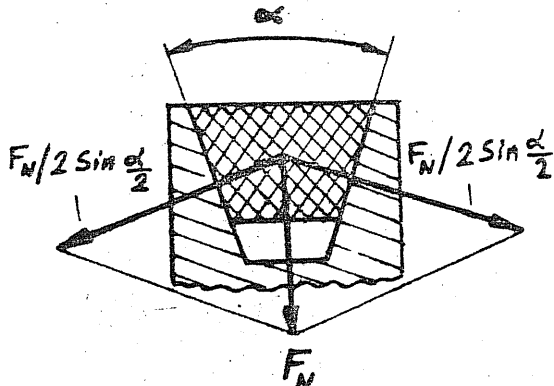
5. V - KAYIŞLARI

5.1. Genel Özellikleri ve Kullanılma Sınırları

V-kayışları en yaygın olarak kullanılan kayış çeşididir. Standart ölçülerdeki kayış ve kasnaklarının kolaylıkla bulunabilmesi, hesabının ve konstrüksiyonun basitliği, fazla bakım istememesi V-kayışını küçük ve orta güçler ve hızlar bölgesinde elverişli bir mekanizma elemanı yapmıştır. Çok küçük güçlerden 400 kW'a kadar güçlerin iletilmesinde kullanılabilir. Normal V-kayışları ile 25..30 m/s, Dar V-kayışları ile 40..42 m/s çevre hızlarına çıkılabilir. Kayışın trapez şeklindeki kesiti, kayış ile kasnak arasındaki sürtünme bağıntısını artırıcı yönde faydalı (Şekil 5.1). Kayış, ön gerilme kuvveti tesirinde yuvaya F_N kuvveti ile bastırılıyorsa, yan oturma yüzeylerine

$F'_N = F_N / 2 \sin(\alpha/2)$ kuvveti gelir. Momenti oluşturan teğetsel sürtünme kuvveti ise

$$F_u = 2 \mu F'_N = \frac{\mu}{\sin \alpha/2} F_N = \mu' F_N$$



dir. Bu sonuca göre kayış yan yüzeyleri ile kasnak arasındaki eşdeğer sürtünme katsayısı

Şekil 5.1 V-kayışlarında kama etkisi

$$\mu' = \frac{\mu}{\sin \alpha/2}$$

olarak yazılabilir. Kayış yuvasının bu tesirine "Kama etkisi" denir. Ortalama değer olarak $\alpha = 34^\circ \dots 38^\circ$ için $\mu' \approx 3 \mu$ elde edilir. α açısı ise, kayış malzeme-sinin sürtünme katsayısına bağlı olarak ve otoblokaj meydana gelmeyecek ($\alpha > \rho'$) değerde seçilir. Sürtünme bağıntının bu özelliğinden ötürü düz kayışlara nazaran daha küçük gerginliklerde çalışabilme imkânı sağlar. Millere ve yataklarına da daha az yük gelir. V-kayışları, gerginlikteki değişimlere karşı fazla hassas değildir.

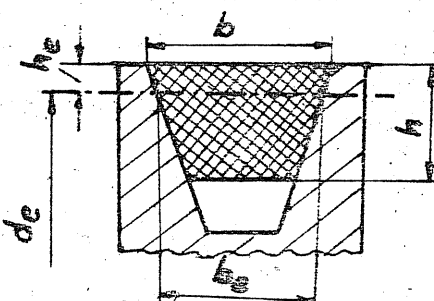
5.2. Standart kesitler

Günümüzde, kesitlerinin genişlik/yükseklik oranı farklı olan iki ayrı V-kayışları çeşitli kullanılmaktadır.

Normal V Kayışları: Genişlik/yükseklik oranı $b/h \approx 1,6$ civarındadır. Standartlaştırılan ilk V-kayışı çeşidi olup kesitlerle ilgili büyülükler Cetvel 5.1 de verilmiştir. Sonradan yapılan incelemeler Normal V-kayışı kesitinin önemli bir kısmının güç iletimine katılmadığını göstermiştir. Normal V-kayışı yerini daha uygun kesite sahip olan Dar V-kayışlarına bırakmaktadır. Normal V-kayışları, birkaç özel uygulama dışında yeni konstrüksyonlarda tavsiye edilmez. TS de daha önce 11 olan kesit sayısı ISO ya paralel olarak 7 ye düşürülmüştür.

Dar V-kayışları: Normal V-kayışı kesitinin yük taşımaya katılmayan kısımlarının atılarak kesitin optimize edilmesi ile ortaya çıkan kayışlardır. Genişlik/yükseklik oranı $b/h \approx 1,23$ civarındadır. Eğilme elastikiyetleri daha fazla olup aynı kesit yüksekliğindeki Normal V-kayışına göre daha küçük çaplı kasnaklar ile kullanılabilirler. Bu durum, aynı bir eksen aralığı için daha büyük çevrim oranlarına imkan verir. Elektrik motoru ile tahrik söz konusu ise verimi daha büyük olan yüksek

Cetvel 5.1 Standart Normal V-kayışı profilleri.

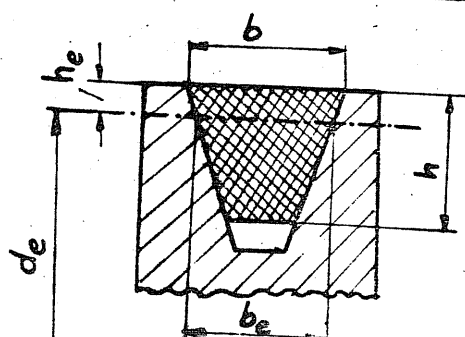


	5	6	8	10	13	17	20	22	25	32	40
TS 198 (1965) DIN 2215	-	-	-	-	-	-	-	-	-	-	-
TS 198 (1978) ISO R 52 R253 RMA (USA) BS 1440	-	Y	-	Z	A	B	-	C	-	D	E
Kayış genişliği (b)	5	6	8	10	13	17	20	22	25	32	40
Kayış yüksekliği (h)	3	4	5	6	8	11	12,5	14	16	20	25
Nötr tabaka genişliği (b_e)	4,2	5,3	6,7	8,5	11	14	17	19	21	27	32
Nötr tabakanın üst yüzeyden uzaklığı (h_e)	1,3	1,6	2	2,5	3,3	4,2	4,8	5,7	6,3	8,1	12
Kullanılabilecek en küçük kasnak çapı (d_e min.)	20	28	40	50	71	112	160	180	250	355	500

devir sayılı motor kullanılabilir. Dar V-kayışı ile Normal V-kayışlarına göre gerek hacim ve ağırlık gerekse maliyet açısından % 30-50 daha elverişli mekanizmaların konstrüksiyonu mümkündür. Yeni konstrüksiyonlarda normal V-kayışı yerine Dar V-kayışı kullanılmalıdır. Standart Dar V-kayışı profillerine ait büyüklükler Cetvel 5.2 de verilmiştir.

Kasnaklıara sarıldığı sırada kasnak yivi içinde bükülen V-kayışında kesitin üst kısmında uzama, alt kısmında kısalma şeklinde elastik şekil değişimleri olur (Şekil 5.2). Kayışın eğilme nedeniyle şekil değişimi olmayan kısmına nötr tabaka denir (kayışın tarafsız eksen). Bu kesitin üst yüzeyden uzaklığı h_e ile gösterilmiştir. Kayışın kasnağı girdiği ve çıktıığı sırada bu kesit dışında kasnak

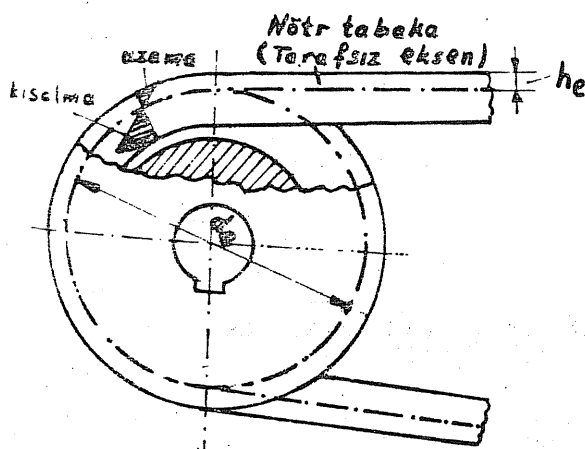
Cetvel 5.2. Standart Dar V-kayısı Profilleri.



TS 198 (1978) DIN 7753 ISO R459, R460	SPZ	SPA	SPB	SPC	19*	-
RMA(USA)	3V	-	5V	-	-	8V
Üst genişlik b	9,7	12,7	16,3	22	18,6	25
Yükseklik h	8	10	13	18	15	23
h_e^{**}	2	2,8	3,5	4,8	4	-
b_e^{**}	8,5	11	14	19	16	-
d_e^{**} min	63	90	140	224	180	-

(*) 19 profili ISO da yoktur. TS 198(1965) de bulunan bu profil TS 198 (1978) de standart dışı bırakılmıştır.

(**) h_e, b_e, d_e ile gösterilen büyüklükler DIN, ISO ve TS 198(1965) de h_w, b_w ve d_w şeklinde dir.



Şekil 5.2

ile kayış arasında kayma olur. (Sürünme olayı dikkate alınmadan) Kasnak çevre hızı, dolayısı ile kayış hızı nötr tabakaya karşılık olan çaptaki (etken çaptaki) çevre hızı alınır. Bu hız,

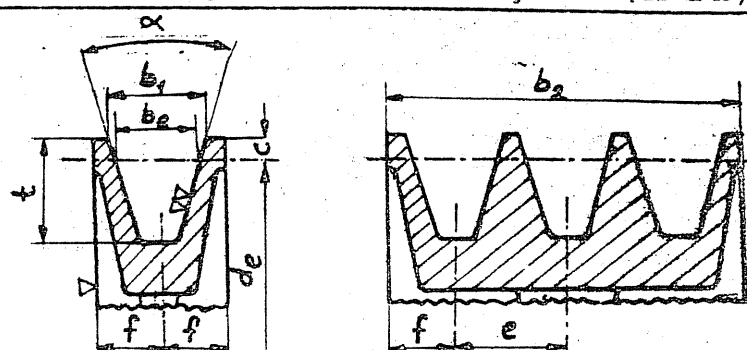
$$v = \frac{\pi \cdot n_1}{30} \cdot \frac{d_{e1}}{2} = \frac{\pi \cdot n_2}{30} \cdot \frac{d_{e2}}{2}$$

dir. Mekanizmanın çevrim oranı ise,

$$i = \frac{n_1}{n_2} = \frac{d_{e2}}{d_{e1}}$$

dir. Standart kasnak çapları da etken çapı

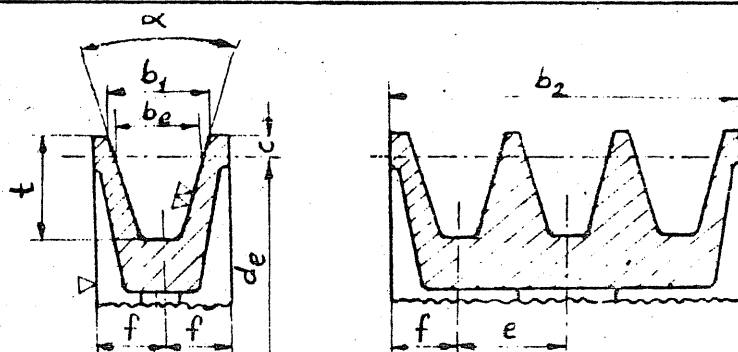
Cetvel 5.3. Normal V-kayısı kasnaklarının ölçütleri (TS 148/1).



Kayış profili	Y	Z	A	B	C	D	E
	-	SPZ	SPA	SPB	SPC	-	-
b _e	5,3	8,5	11	14	19	27	32
b ₁ ≈	6,3					32	40
c	1,6					8,1	12
e	8 ± 0,3					37 ± 0,6	44,5 ± 0,7
f	6 ± 0,5					24 ± 2	29 ± 2
t	7 +0,6 0					28 +0,6 0	33 +0,6 0
α	32°	≤ 63				-	-
	34°	-				-	-
	36°	> 63				≤ 500	≤ 630
	38°	-				> 500	> 630
b ₂ = (Z - 1)e + 2f	Yiv sayı Z _y	1	12			48	58
		2	20			85	102,5
		3	28			122	147
		4	36			159	191,5
		5	44			196	236
		6	52			233	280,5
		7	60			270	325
		8	-			307	369,5
		9	-			344	414
		10	-			381	458,5
		11	-			418	503
		12	-			455	547,5

Bu profiller için .
Cetvel 5.4 de ölçütleri
verilen Dar-V-kayısı
kasnakları kullanılma-
lidır.

Cetvel 5.4 Dar V-kayısı kasnaklarının ölçütleri (TS 148/2).

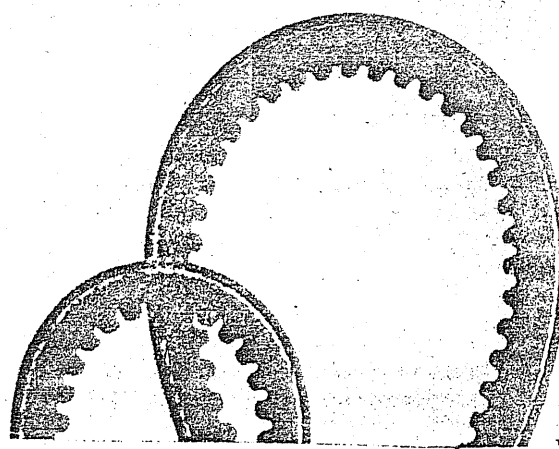


Kayış profili	SPZ	SPA	SPB	SPC		
b_e	8,5	11	14	19		
$b_1 \approx$	9,7	12,7	16,3	22		
c	2	2,8	3,5	4,8		
e	$12 \pm 0,3$	$15 \pm 0,3$	$19 \pm 0,4$	$25,5 \pm 0,5$		
f	$8 \pm 0,6$	$10 \pm 0,6$	$12,5 \pm 0,8$	17 ± 1		
t	$11 \pm 0,6$ 0	$14 \pm 0,6$ 0	$18 \pm 0,6$ 0	$24 \pm 0,6$ 0		
α	34° 38°	d_e etken çapı	≤ 80 > 80	≤ 118 > 118	≤ 190 > 190	
α açısının toleransı	$\mp 1^\circ$	$\mp 1^\circ$	$\mp 1^\circ$	$\mp 30'$		
b_2 $= (z_y - 1)e + 2f$	Yiv sayı z_y	1 2 3 4 5 6 7 8 9 10 11 12	16 28 40 52 64 76 88 100 112 124 136 148	20 35 50 65 80 95 110 125 140 155 170 185	25 44 63 82 101 120 139 158 177 196 215 234	34 59,5 85 110,5 136 161,5 187 212,5 238 263,5 289 314,5

d_e ye göre verilmiştir. Kasnak dış çapı, d_e değerine 2 h_e değerinin ilavesi ile bulunur. Cetvel 5.3 de Normal V-kayışlarının, Cetvel 5.4 de ise Dar V-kayışı kasnaklarının ölçüleri verilmiştir.

Birden fazla V-kayışının kullanıldığı mekanizmalarda kasnağın her yivindeki d_e etken çapları arasındaki fark çok küçük olmalıdır. Aksi halde kayışlar yükü eşit şekilde paylaşmazlar. Kasnak imali sırasında etken çap yive karşılıklı yerles tirilen iki bilya veya makara üzerinden ölçü alınarak kontrol edilir. Tek taraftan ölçme için özel mastarlar da kullanılmaktadır. Kullanılması gereken bilya veya makara çapları ve ölçü değerleri TS 148 de bulunabilir.

Çentikli V-kayışları: Bazı küçük kesitlerde V-kayışları iç taraftan çentikli olarak ta yapılmaktadır (Şekil 5.3). Çentikler kayışın eğilme elastikliğini artırır.



Şekil 5.3. Çentikli V-kayışları

Çentikli kayışlar çentiksiz olanlara göre daha küçük çaplı kasnaklarla kullanılabilir. Bu kayışlar % 10..30 daha fazla güç iletme kabiliyetine sahiptir. Yer ve ağırlık bakımından sınırlı konstrüksiyonlarda özellikle tavsiye edilir. Ancak çentikli kayışlar yüksek hızlarda biraz gürültülü çalışır. Cetvel 5.5 de çentikli ve çentiksiz kayışlar için kullanılabilen en küçük kasnak çapları karşılaştırılmış olarak verilmiştir.

5.3 V-Kayışlarında boy

V-kayışları büyük bir çoğunlukla kapalı (sonsuz) olarak yapılmaktadır. Az da olsa bazı konstrüksiyonlarda uçları kullanıcı tarafından birleştirilerek kapalı hale getirilebilen kayışlar kullanılır.

Cetvel 5.5 Çentikli ve çentiksiz V-kayışlarında en küçük kasnak çapları

Kayış profili		SPZ	SPA	SPB	Z	A	B
d_e min	Çentikli	56	71	112	40	63	90
	Çentiksiz	63	90	140	50	71	112

V-kayışları standart boylarda imal edilir. Standart boyalar R 20 norm sayılar dizisine göre düzenlenmiştir. Bazı imalatçılar ara boylarda da (R 40 a göre) kayış imal ederler. (Standart kayış boyları Bölüm 5 de V-kayışlarının hesabı bahsinde verilmiştir) Normal V-kayışlarında standart boy kayışın içinden ölçülen boydur (L_i). Dar V-kayışlarında ise nötr tabakada ölçülen boydur (L_e *). Kayışın iç boyu (L_i), dış boyu (L_d) ve etken boyu (L_e) arasında

(*) TS 198 (1965), DIN ve ISO da L_e sembolü yerine L_w kullanılır.

$$L_d = L_i + \pi \cdot h \cdot 2$$

$$L_d = L_e + \pi \cdot h_e \cdot 2$$

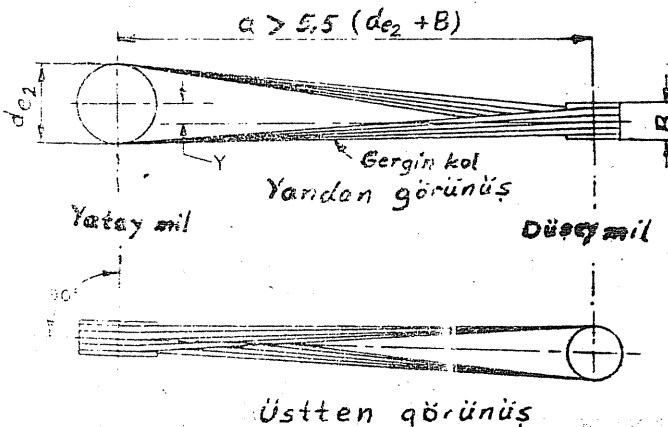
$$L_i = L_e - \pi \cdot (h - h_e) \cdot 2$$

bağıntıları vardır. Cetvel 5.6 da standart profillerde boyalar arasındaki fark verilmiştir.

Cetvel 5.6 V-kayışlarında etken boy ile iç ve dış boy arasındaki farklılar

V-kayışlı kasası	$L_e - L_i \approx$	$L_d - L_e \approx$
SPZ	-	13
SPA	-	18
SPB	-	22
SPC	-	30
Y	15	-
Z	22	-
A	30	-
B	43	-
C	52	-
D	75	-
E	82	-

garnitürlü mekanizma problem çıkarmadan çalışır. En fazla raslanan yatay-düsey milleler arasındaki güç iletiminde (Şekil 5.4) aşağıdaki şartlar sağlanmak kaydıyla V-kayış ile bağlantı mümkündür.



Şekil 5.4

V-kayışının boyu belirli bir ön gerilme altında ölçülmüş boyudur. Standartlarda kayış boyunun toleransı için de belirli sınırlamalar vardır. Bu toleransın küçük olması birden fazla kayışın kullanıldığı mekanizmalarla eşit yük dağılımı bakımından önemlidir. Bazı firmalar kritik uygulamalarda kullanılabilecek, uzunluk farkı çok az olan seçilmiş takım halinde kayışlar da teklif etmektedir.

5.4 Paralel olmayan milleler arasında V-kayışı

Eksenleri arasındaki uzaklık nispeten büyük olan ve paralel olmayan iki mil V-kayış ile kolay ve ucuz bir şekilde bağlanabilir. V-kayışının kasnağın yivi içine oturması düz kayışlara nazaran bu tür konstrüksiyonlarda esneklik sağlar. Kayış kolu ile kasnak orta düzlemi arasındaki açı 5° den küçük kalmak

Cetvel 5.7 90° dönümüş mekanizmada -Y- değerleri

Eksen aralığı a [mm]	Y [mm]	
	Normal V.kaya	Dar V.kaya
$1200 \leq 1500$	5	-
$> 1500 \leq 2000$	8	5
$> 2000 \leq 2500$	12	8
$> 2500 \leq 3000$	17	10
$> 3000 \leq 3500$	25	15
$> 3500 \leq 4000$	35	25
$> 4000 \leq 4500$	45	30
$> 4500 \leq 5000$	55	40
$> 5000 \leq 5500$	65	45
$> 5500 \leq 6000$	80	55
> 6000	100	65

1- Çevrim oranı $i < 2,5$ olmalıdır.

2- Eksen aralığı $a > 5,5 (d_{e2} + B)$ olmalıdır.

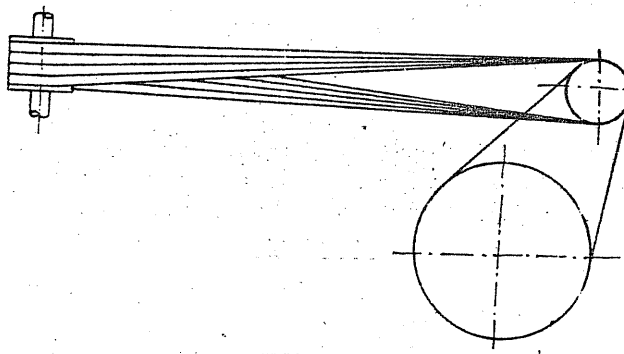
Burada d_{e2} büyük kasnağın etken çapı, B ise kasnak genişliğidir.

Kasnakların birbirine göre pozisyonlanmasında ise

3- Düşey kasnağın ekseni yatay kasnağın ortasından geçen ve eksenine dik olan düzlem içinde kalmalıdır. (Şekil 5.4 üstten görünüşteki durumda)

4- Yandan görünüşte yatay kasnağın ekseni düşey kasnağın orta düzleme göre - Y - kadar yukarıda olmalıdır. - Y - değerleri Cetvel 5.7 de verilmiştir.

5- Dönme yönü kayışın gergin kolu aşağıda kalacak şekilde seçilmelidir.



Şekil 5.5

Çevrim oranı $i > 2,5$ ise iki kademeli bir konstrüksiyonla iki mil birbirine bağlanabilir (Şekil 5.5).

Bu mekanizmalarda derin yivli kasnaklar kullanılmalıdır. Etken çap ile dış çap arasındaki fark (Şekil 5.6) normal kasnaklardan bir miktar daha büyük olmalıdır. Çok yivli kasnaklarda iki kayış ortası arasındaki uzaklık ta (e) biraz daha büyük olmalıdır.

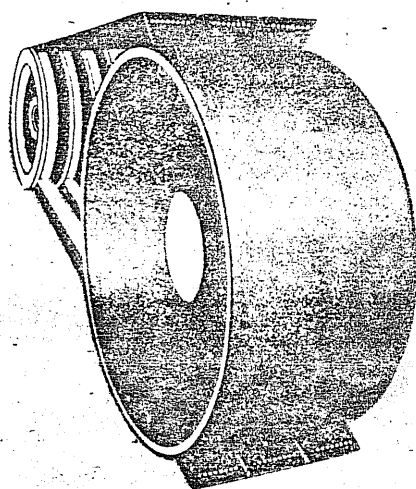
Cetvel 5.8 de derin yivli kasnaklar için geometrik büyüklükler verilmiştir. Kasnağın diğer boyutları Cetvel 5.4 dekilerle aynıdır.

Cetvel 5.8 Derin yivli kasnaklarda c ve e değerleri

Kayış profili	SPZ	SPA A	SPB B	SPC C
c	4	6,5	8	12
e	14	18	23	31

Şekil 5.6 Derin yivli kasnak

5.5 V-kayışı-düz büyük kasnak tertibi



Şekil 5.7 V-kayışı-düz büyük kasnak tertibi

Çevrim oranı $i > 3$ ve eksen aralığının küçük olması halinde kayışın büyük kasnağa sarılma açısı yeteri kadar büyük olabilecekinden büyük kasnak düz olabilir (Şekil 5.7). Büyük sarılma açısı V-kayışının tabanı ile kasnak arasında yeterli sürtünme bağlı sağlar. Bu şekilde, kullanılmakta olan düz kayış mekanizması sadece küçük kasnak V-kasnağı yapılıarak az bir masrafla V-kayışı ile tahrik edilecek şekilde sokulabilir. Bu tertip sadece taban genişliği büyük olan Normal V-kayışları ile yapılabilir, dar V-kayışları bu amaçla kullanılamaz. Bu tertip

$$\frac{d_2 - d_1}{a} = 0,5 \cdots 1,5$$

arasında ise özellikle ekonomik bir çözüm olur. Düz kasnağın bombesiz olması daha iyidir. Eski düz kayış kasnağı kullanılıyorsa bombelik her 100 mm kasnak genişliği için 1 mm yi aşmamalıdır.

5.6 Özel V-kayışları

Birleştirilmiş V-kayışları: Titreşimli elekler, konkörler, kompresörler gibi sarsıntılı çalışan makinaların tahrikinde kullanılan mekanizmalarda sarsıntıdan dolayı kayış, kollarında ortaya çıkan titreşimler kayışın yiv içinde dönmesine veya kasnaktan atmasına sebep olabilir. Bu gibi uygulamalarda üst yüzeyden bir bantla birleştirilmiş V-kayışlarının kullanılması ile bu tehlikeler önlenebilir (Şekil 5.8). Birleştirilmiş kayışlar düşey eksenli mekanizmalar ve kayış kol uzunluğu fazla olan büyük eksen aralıklı mekanizmalar için de tavsiye edilir. Bu kayışlar kasnak dış yüzeyinin bağlantı bandına temas etmemesi bakımından dış çapı belirli bir miktar küçültülmüş kasnaklarla kullanılır.

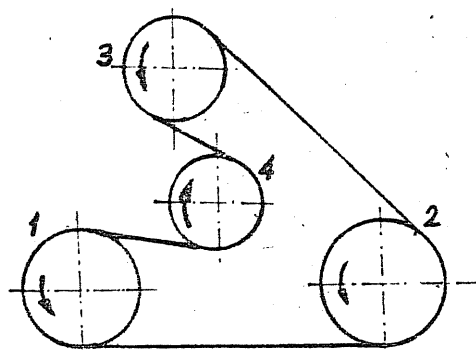


Şekil 5.8 Birleştirilmiş V kayışları

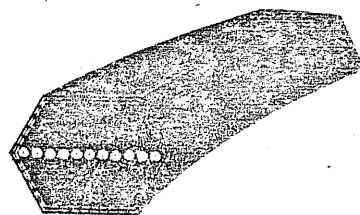
temas etmemesi bakımından dış çapı belirli bir miktar küçültülmüş kasnaklarla kullanılır.

ISO 5290 standardına göre 9J, 15J ve 25J sembollerini gösterilen ve 3V 5V ve 8V profillerinin kullanılması ile ortaya çıkan üç standart kesit vardır. Bu kayışlar 2,3,4 ve 5 li olarak imal edilmektedir.

Cift profilli V-kayışları: Şekil 5.9 deki gibi tek mekanizmada birden fazla kasnağın tahrik edilmesi söz konusu ise ve dönme yönü bakımından da sınırlama var-



Şekil 5.9 Şekil 5.9

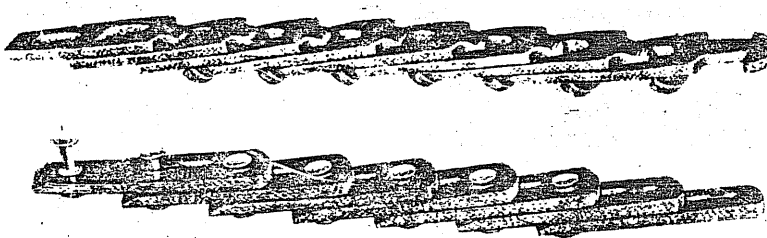


Şekil 5.10 Çift profilli V kayışı

sa (4 numaralı kasnağın dönüş yönü bakınız) Çift profilli V-kayışı kullanılabilir (Şekil 5.10). ISO 5298 ile bu kayışlar standartlaştırılmıştır. A,B,C ve D normal V-kayışı kesitlerinin ölçülerinin çift taraflı kullanılması ile ortaya çıkan ve HAA, HBB, HCC ve HDD sembollerile gösterilen dört standart kesit vardır. Yüksekliklerinin fazla olması nedeniyle eğilme elastiklikleri daha azdır. Bu nedenle nispeten daha büyük çaplı kasnaklarla kullanılmalıdır.

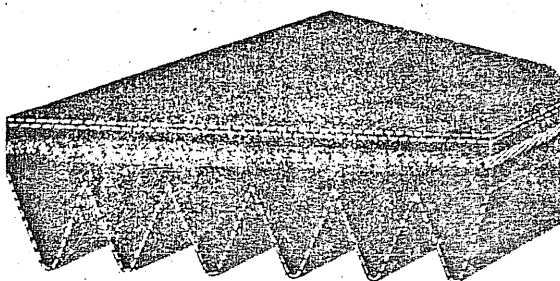
Dilimli V-kayışları: Uygun şekilde kesilmiş dilimlerin üst üste birleştirilmesi ile meydana gelmiş kayışlar nispeten küçük güçlerin iletilmesinde kullanılabilir.

Bu kayışlar, kasnağın iki tarafından yataklı olan mekanizmlarda takma kolaylığı da sağlar. Şekil 5.11 de bağlantı şekli farklı iki ayrı dilimli kayış görülmektedir.



Şekil 11 Dilimli V-kayışları

Poly V-kayısı: Son yıllarda Amerika ve Avrupada kullanılma alanı bulan bir kayıştır (Şekil 5.12). Kayışın kasnak tarafına gelen yüzeyindeki yivler kasnak-taki karşı yivlere oturarak mekanizmaya sürtünme bağıncı artırıcı bir özellik kazandırır. Bu kayış, sürtünme bağı artırılmış düz kayış gibi düşünülebilir. Poly V kayışlarının J, L ve M ile gösterilen üç standart kesiti vardır ve belirli boylarda kapalı (sonsuz) olarak imal edilir. Bu kayışların kullanıldığı mekanizmalar sessiz ve kinematik bakım-dan düzgün çalışır.



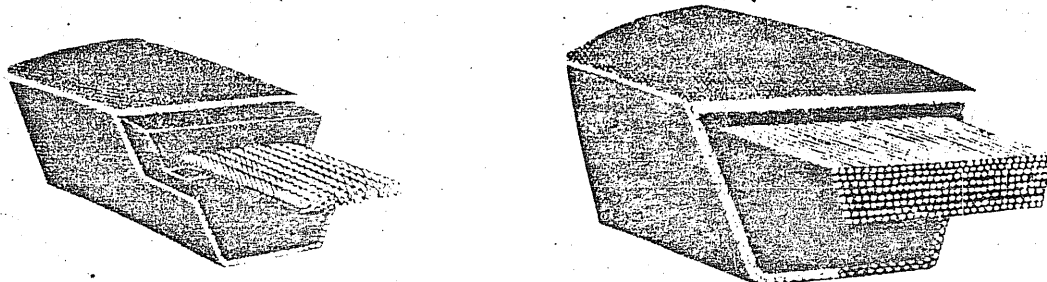
5.12 Poly V-kayısı

baka ile örtülüdür.

Kayış boyunun büyük olduğu mekanizmalarda uçları kullanıcı tarafından birleştirilerek kapalı hale getirilmiş V-kayışları maliyet bakımından oldukça avantaj

5.7. V-kayışlarının yapısı

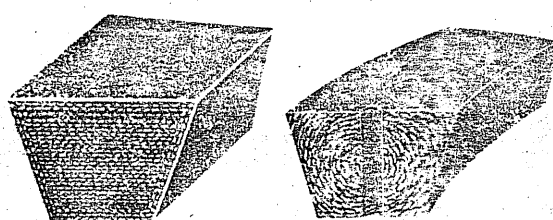
V-kayışları, içinde yük taşıyıcı kordonlar bulunan kayış şekli verilmiş kauçugun vulkanize edilmesi yoluyla imal edilir. Sonsuz (kapalı) kayışlarda nötr tabaka bölgesinde bir veya birkaç sıra taşıyıcı kordon bulunur. Kordonlar çoğunlukla polyester elyafından yapılmıştır. Kayışın dış yüzeyi koruyucu bir bez tabaka ile örtülüdür.



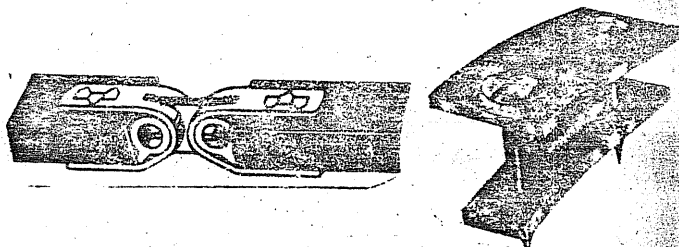
Şekil 5.13

sağlar. Bu tür kayışlarda kesitin tamamına yayılmış bez taşıyıcı bulunur (Şekil 5.14). Şekil 5.15 de uçları birleştirmek için kullanılan yardımcı elemanlara iki örnek görülmektedir.

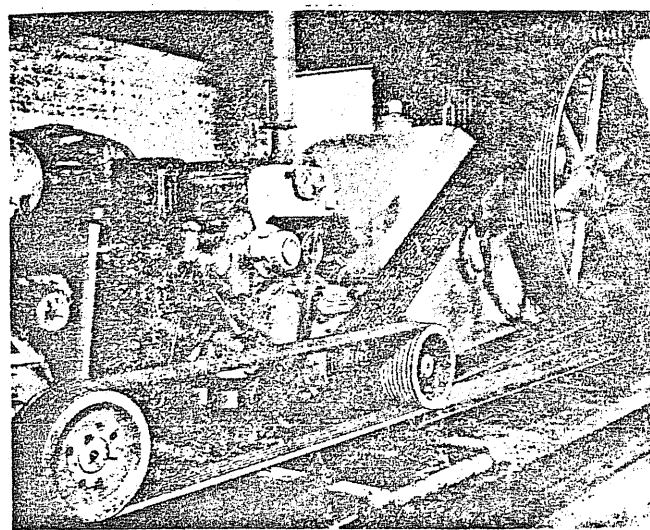
Petrol isleyen tesisler ve maden ocakları gibi yanıcı ve patlayıcı gaz karışımlarının oluşabileceği kullanım yerlerinde çalışma sırasında kayış üzerinde birekebilecek statik elektrik kaza sebebi olabilir. Bu gibi yerlerde elektriği iletebilme özelliği kazandırılmış kayışlar kullanılır.



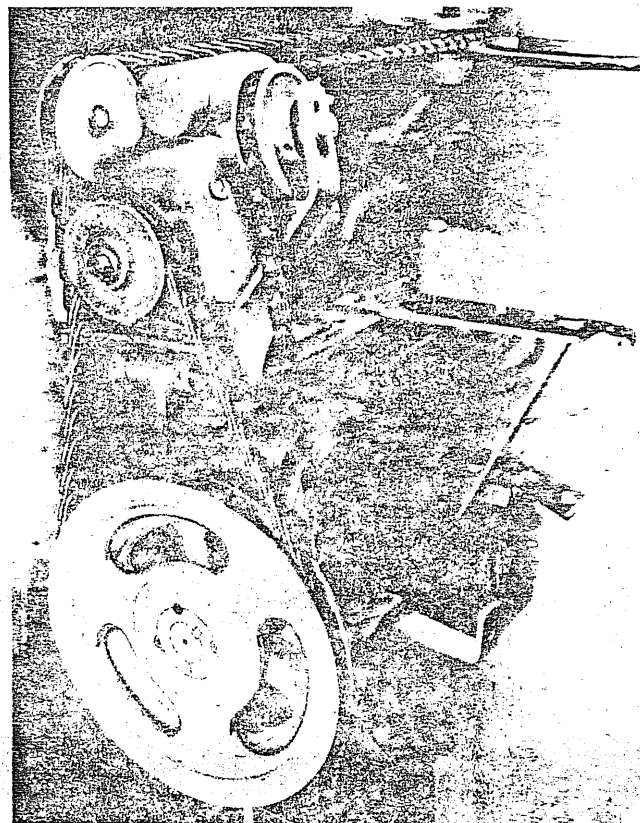
Şekil 5.14 Ucu açık V-kayışlarının kesiti. (a) deliksiz
(b) delikli.



Şekil 5.15 Ucu açık kayışları birleştirmek için kullanılan elemanlar



Sekil 5.16 Tek bir kasnaktan hareket alan iki V-kayış mekanizması.



Sekil 5.17 Dilimli kayışın kullanıldığı bir uygulama.

5.8. V-Kayışlı mekanizmaların boyutlandırılması

V-kayışlarının hesabı bir katalog hesabıdır. Hesap, cetveller ve diyagramlar yardımıyla kolay bir şekilde yapılır. Hesabin başlangıcında şu hususlar konstrktörün önündedir.

- İletilen güç (P)
- Dönme sayıları ($n_1, n_2, i = n_1/n_2$)
- İstenen eksen aralığı, sabit veya değişebilir olup olmadığı (a)
- Döndüren ve döndürülen makinanın karakteristik özelliklerini.

Hesapta aşağıdaki sıra takip edilir.

- 1- Döndüren ve döndürülen makinanın karakteristik özellikleri ve günlük çalışma süresi dikkate alınarak aşırı yük faktörü (C_2) seçilir. $C_2 \cdot P$ çarpımı ile hesapta kullanılacak güç (hesap gücü) bulunur. (C_2 için Cetvel 5.9 a bakınız)
- 2- Küçük kasnağın dönme sayısı (n_1) ve hesap gücü ($C_2 \cdot P$) değerleri dikkate alınarak Dar V kayışı kullanılsaksa Şekil 5.14 deki, Normal V-kayışı kullanılsaksa Şekil 5.15 deki diyagramdan kullanılması gereken kayış kesiti tespit edilir.
- 3- İstenen çevrim oranını sağlayan standart kasnak çapı çifti seçilir. Seçilen kasnak çapı çifti ile elde edilen çevrim oranı istenen çevrim oranından bir miktar farklı çıkabilir. Küçük farklar genellikle kabul edilir. Çevrim oranı bakımından kesin istek varsa standart dışı kasnak çapı da alınabilir. Mekanizmada dış boyutlar bakımından bir sınırlama yoksa küçük kasnak çapı o profil için söz konusu olan en küçük çaptan biraz daha büyük seçilmelidir. Bu, gerekli kayış sayısının fazla artmasını öner. Seçilen standart kasnak çiftleri ile çevrim oranı

$$i = \frac{d_{e2}}{d_{e1}} = \frac{n_1}{n_2}$$

dır. V-kayışlı mekanizmalarda çevrim oranı normal şartlarda 7 ye kadar çıkabilir. Standart kasnak çiftleri Cetvel 5.10 ve 5.11 de verilmiştir.

- 4- İstenen eksen aralığı ve seçilen kasnak çiftleri kullanılarak yaklaşık kayış uzunluğu hesaplanır. Hesapla bulunan uzunluğa yakın olan standart uzunluk alınarak gerçek eksen aralığı ve sarılma açısı hesaplanır. Standart kayış boyları Cetvel 5.12 ve Cetvel 5.13 de verilmiştir. Eksen aralığı bakımından bir sınırlama yoksa

$$a = (0,7 \dots 2) (d_{e1} + d_{e2})$$

arasında alınması tavsiye edilir.

- 5- Sarılma açısının etkisini belirleyen C_1 faktörü Cetvel 5.14 den kayış uzunluğunun عمر üzerine etkisini belirleyen C_3 faktörü Cetvel 5.12 veya 5.13 den alınır.
- 6- Seçilen profildeki bir adet kayışın iletebileceği güç (P_1) küçük kasnak çapı (d_{e1}), devir sayısı (n_1) ve çevrim oranı dikkate alınarak cetvellerden okunur. (Cetvel 5.15 ve Cetvel 5.16). Cetvellerde bulunmayan çevrim oranları ve devir sayıları için lineer interpolasyon yapılabilir.

Kullanılması gereken kayış sayısı

$$Z = \frac{P \cdot C_2}{P_1 \cdot C_1 \cdot C_3}$$

İfadesinden bulunan değerin, kendisinden büyük tam sayıya yuvarlatılması ile elde edilir. Küsüratı küçükse kendisinden küçük tam sayıda alınabilir.

7- Eğilme frekansının sınır değeri aşıp aşmadığı kontrol edilir.

$$f_B = \frac{Z \cdot V}{L} < f_{B \text{ max}}$$

olmalıdır. Normal V-kayışlarında $f_{B \text{ max}} = 40 [1/s]$, Dar V-kayışlarında $f_{B \text{ max}} = 80 [1/s]$ dır.

8- Gerekli ön gerilme kuvveti hesaplanır. 2.10 bağıntısına göre

$$F_o = \frac{F_u}{2\phi} + A \frac{\gamma}{g} V^2$$

V-kayışlarında ön gerilme kuvvetinin hesabında eşdeğer sürtünme katsayısı oldukça emniyetli bölgede kalmak üzere $\mu' = 0,5$ kabul edilir. Bu durumda gerekli ön gerilme kuvveti

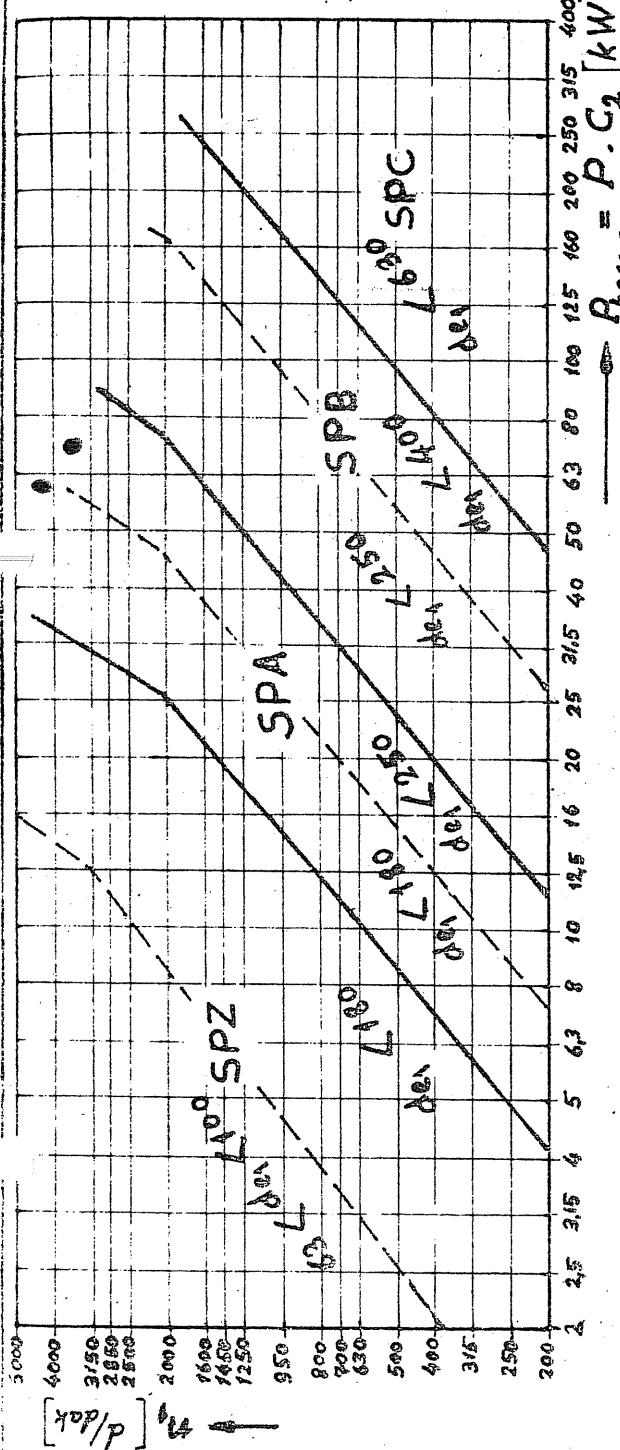
$$F_o = \frac{F_u}{e^{0,5\beta}-1} + kV^2$$

$$2. \frac{e^{0,5\beta}+1}{e^{0,5\beta}-1}$$

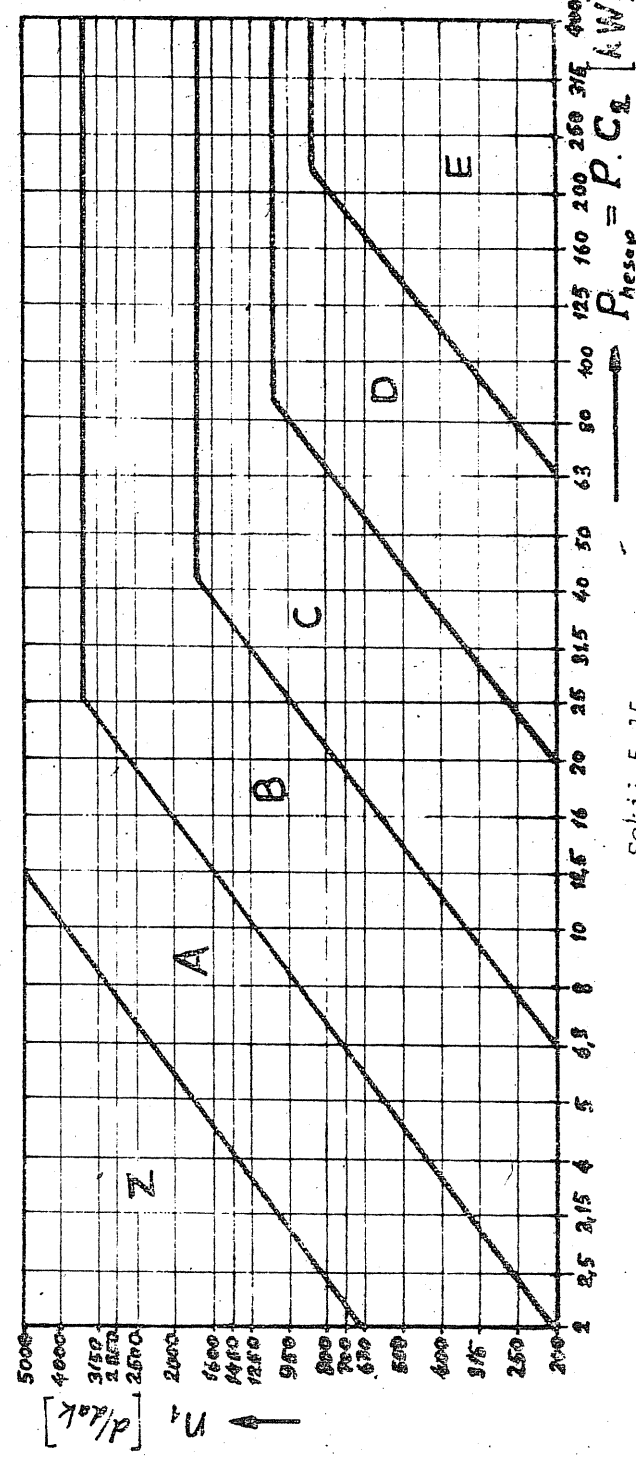
V m/s cinsinden ve F ve F_u Newton cinsinden olmak kaydıyla $-k-$ değerleri Cetvel 5.17 de verilmiştir. Mekanizmaya verilecek ön gerilme hesapla bulunan değerin 1,2 katını aşmamalıdır.

Cetvel 5.9 V-kayışlarının hesabında kullanılacak C_2 (aşırı yük faktörü) değerleri.

		Döndüren makina					
Döndürülen makina		Günlük çalışma süresi [saat]					
		10 ve daha az	10-16 arası	16 dan fazla	10 ve. daha az	10-16 arası	16 dan fazla
Hafif Şartlar: Santrifüj kompresör ve pompalar, vantilatörler (7,5 kW a kadar), düzgün yüklü bantlı konveyörler		1,1	1,1	1,2	1,1	1,2	1,3
Normal Şartlar: Presler, zincirli konveyörler, takım tezgahları, ağaç işleme makinaları, vantilatörler (7,5 kW in üstünde)		1,1	1,2	1,3	1,2	1,3	1,4
Ağır Şartlar: Pistonlu kompresörler ve pompalar, ağır tip konveyörler, titreşimli elekler, kovalı elevatörler		1,2	1,3	1,4	1,4	1,5	1,6
Çok ağır Şartlar: Taş kırma makinaları, bilyalı ve çubuklu değirmenler		1,3	1,4	1,5	1,5	1,6	1,8



Sekil 5.14 Kui animası gereken kayış kesitinin beiiriemmesi için dijagram (Dar V kayışı için)



Sekil 5.15

Cetvel 5.17 Ön gerilme kuvvetinin hesabında santrifüp etki için - k - değerleri

	SPZ	SPA	SPC	Y	Z	A	B	C	D	E
k	0,07	0,13	0,21	0,02	0,06	0,11	0,18	0,31	0,6	1,0

Cetvel 5.10. Dar V-kayışı kasnaklarının standart çapları

Kayış profili	SPZ/3V	SPA	SPB/5V	SPC	-	Etken çapın toleransı min d_e max	Radyal ve yanal salgı
	-	-	-	-	19		
	Z/10	A/13	B/17	C/22	-		
Etken çap d_e	50*					50	50,8
	56* ¹⁾					56	56,9
	63					63	64,0
	71	71* ¹⁾				71	72,1
	80	80* ¹⁾				80	81,3
	90	90				90	91,4
	100	100				100	101,6
	112	112	112* ¹⁾			112	113,8
	118		118*			118	119,9
	125	125	125*			125	127,0
Etken çap d_e	132		132*			132	134,1
	140	140	140			140	142,2
	150	150	150			150	152,4
	160	160	160			160	162,6
	170	170	170			170	172,7
	180	180	180	180*	180	180	182,9
	190	190	190	190*	190	190	193,0
	200	200	200	200*	200	200	203,2
	212	212	212	212*	212	212	215,4
	224	224	224	224	224	224	227,6
Yiviler arasındaki çap farkı	236	236	236	236	236	236	239,8
	250	250	250	250	250	250	254,0
	280	280	280	280	280	280	284,5
	300	300	300	300	300	300	304,8
	315	315	315	315	315	315	320,0
	355	355	355	355	355	355	360,7
	400	400	400	400	400	400	406,4
	450	450	450	450	450	450	457,2
	500	500	500	500	500	500	508,0
	560	560	560	560	560	560	569,0
Yiviler arasındaki çap farkı	630	630	630	630	630	630	640,1
	710	710	710	710	710	710	721,4
	800	800	800	800	800	800	812,8
	900	900	900	900	900	900	914,4
	1000	1000	1000	1000	1000	1000	1016,0
			1120	1120	1120	1120	1137,9
			1250	1250	1250	1250	1270,0
			1400	1400	1400	1400	1422,4
			1600	1600	1600	1600	1625,6
				1800	1800	1800	1828,8
				2000	2000	2000	2032,0
							1,2

1) Çentikli kayışlar için.

* Normal V-kayışları için.

Cetvel 5.11 Normal V-kayısı kasnaklarının standart çapları

Kayış profili	-	Y	-	Z	A	B	-	C	-	D	E	Etken çapın toleransı de min	Radyal ve yanal salgı
	5	6	8	10	13	17	20	22	25	32	40		
	-	-	-	SPZ/ 3V	SPA	SPB/ 5V	-	SPC	-	-	-		
Etken çap de	20	20										20	20,4
	25	25										25	25,4
	28	28										28	28,4
	31,5	31,5										31,5	32,0
	35,5	35,5										35,5	36,1
	40	40	40									40	40,6
	45	45	45									45	45,7
	50	50	50	50 ¹⁾								50	50,8
	56	56	56	56 ¹⁾								56	56,9
	63	63	63	63 ¹⁾								63	64,0
Etken çap de	71	71	71	71 ¹⁾								71	72,1
				75								75	76,2
	80	80	80	80 ¹⁾								80	81,3
	90	90	90	90								90	91,4
	100	100	100	100								100	101,6
	112	112	112	112 ¹⁾								112	113,8
	125	125	125	125 ¹⁾								125	127,0
				132	132 ¹⁾							132	134,1
	140	140	140	140 ¹⁾								140	142,2
	150	150	150	150 ¹⁾								150	152,4
Etken çap de	160	160	160	160 ¹⁾								160	162,6
				170	170 ¹⁾							170	172,7
	180	180	180	180 ¹⁾								180	182,9
				190	190 ¹⁾							190	193,0
	200	200	200	200 ¹⁾								200	203,2
	224	224	224	224 ¹⁾								224	227,6
	250	250	250	250 ¹⁾								250	254,0
				280	280 ¹⁾							280	284,5
				300	300 ¹⁾							300	304,8
				315	315 ¹⁾							315	320,0
Etken çap de				355	355 ¹⁾							355	360,7
				375	375 ¹⁾							375	381,0
				400	400 ¹⁾							400	406,4
				450	450 ¹⁾							450	457,2
				500	500 ¹⁾							500	508,0
				530	530 ¹⁾							530	538,5
				560	560 ¹⁾							560	569,0
				600	600 ¹⁾							600	609,6
				630	630 ¹⁾							630	640,1
				710	710 ¹⁾							710	721,4
Etken çap de					750	750 ¹⁾						750	762,0
					800	800 ¹⁾						800	812,8
					900	900 ¹⁾						900	914,4
					1000	1000 ¹⁾						1000	1016,0
					1120	1120 ¹⁾						1120	1137,9
						1250	1250 ¹⁾					1250	1270,0
						1400	1400 ¹⁾					1400	1422,4
						1600	1600 ¹⁾					1600	1625,6
						1800	1800 ¹⁾					1800	1828,8
						2000	2000 ¹⁾					2000	2032,0
Yivler arasındaki çap farkı			0,3			0,4			0,6				1,2

Cetvel 5.12 Standart

Dar V-kayış boyları

L_e	SPZ	SPA	SPB	SPC	C_3
630	0,82				
710	0,84				
800	0,86	0,81			
900	0,88	0,83			
1000	0,90	0,85			
1120	0,93	0,87			
1250	0,94	0,89	0,82		
1400	0,96	0,91	0,84		
1600	1,00	0,93	0,86		
1800	1,01	0,95	0,88		
2000	1,02	0,96	0,90		
2240	1,05	0,98	0,92	0,83	
2500	1,07	1,00	0,94	0,86	
2800	1,09	1,02	0,96	0,88	
3150	1,11	1,04	0,98	0,90	
3550	1,13	1,06	1,00	0,92	
4000		1,08	1,02	0,94	
4500		1,09	1,04	0,96	
5000			1,06	0,98	
5600			1,08	1,00	
6300			1,10	1,02	
7100			1,12	1,04	
8000			1,14	1,06	
9000				1,08	
10000				1,10	
11200				1,12	
12500				1,14	

Cetvel 5.14 Sarılma açısı faktörü

$\frac{d_{e2} - d_{el}}{a}$	Sarılma açısı $\beta \approx$	C_1
0	180	1
0.15	170	0.98
0.35	160	0.95
0.5	150	0.92
0.7	140	0.89
0.85	130	0.86
1.0	120	0.82
1.15	110	0.76
1.3	100	0.73
(1.45)	90	0.68

Cetvel 5.13 Normal V-kayışı boyları

A		B		C		D		E	
L_e	C_3	L_e	C_3	L_e	C_3	L_e	C_3	L_e	C_3
660	0,81	990	0,82	1458	0,81	3225	0,86	4830	0,91
740	0,82	1040	0,84	1658	0,84	3625	0,89	5080	0,92
830	0,85	1140	0,86	1858	0,85	4075	0,91	5380	0,94
930	0,87	1290	0,88	2058	0,88	4575	0,93	5680	0,95
1030	0,89	1440	0,90	2298	0,91	5075	0,96	6080	0,96
1150	0,91	1640	0,93	2558	0,93	5675	0,98	6380	0,97
1280	0,93	1840	0,95	2858	0,95	6375	1	6780	0,99
1430	0,96	2040	0,98	3208	0,97	7175	1,03	7180	1
1630	0,99	2280	1	3608	0,98	7575	1,05	7580	1,01
1730	1	2590	1,03	3808	1	8075	1,06	8080	1,02
1830	1,01	2840	1,05	4058	1,02	8575	1,07	8580	1,03
2030	1,03	3190	1,07	4558	1,04	9075	1,08	9080	1,05
2270	1,06	3590	1,10	5058	1,07	9575	1,10	9580	1,06
2530	1,09	4040	1,13	5658	1,09	10075	1,11	10080	1,07
2830	1,11	4540	1,15	6358	1,12				
3180	1,13	5040	1,18	7158	1,15				

Cetvel 5.15 Där V-kayışlarında P_1 değerleri

SPZ		$\beta=180^\circ$ ve $L_e=1600$ mm için bir kayışın iletebileceği güç P_1 [kW]				
d _{el}	i	n ₁ [d/dak]				
		400	700	950	1450	2850
63	1,0	0,32	0,50	0,64	0,88	1,41
	1,5	0,37	0,59	0,76	1,07	1,78
	$\geq 3,0$	0,38	0,62	0,79	1,12	1,87
71	1,0	0,43	0,68	0,88	1,23	2,05
	1,5	0,48	0,78	1,00	1,43	2,43
	$\geq 3,0$	0,49	0,80	1,03	1,47	2,51
80	1,0	0,55	0,89	1,15	1,63	2,76
	1,5	0,60	0,98	1,27	1,82	3,14
	$\geq 3,0$	0,61	1,00	1,30	1,86	3,22
90	1,0	0,68	1,11	1,44	2,06	3,53
	1,5	0,73	1,20	1,57	2,25	3,91
	$\geq 3,0$	0,75	1,22	1,60	2,30	3,99
100	1,0	0,81	1,33	1,73	2,49	4,28
	1,5	0,87	1,42	1,86	2,68	4,66
	$\geq 3,0$	0,86	1,44	1,89	2,73	4,74
112	1,0	0,97	1,59	2,08	3,00	5,15
	1,5	1,02	1,69	2,21	3,19	5,53
	$\geq 3,0$	1,04	1,71	2,24	3,23	5,62
125	1,0	1,14	1,88	2,45	3,54	6,06
	1,5	1,19	1,97	2,58	3,73	6,44
	$\geq 3,0$	1,20	1,99	2,61	3,77	6,53
140	1,0	1,33	2,20	2,88	4,15	7,07
	1,5	1,38	2,29	3,00	4,34	7,44
	$\geq 3,0$	1,40	2,31	3,03	4,38	7,53
160	1,0	1,59	2,62	3,44	4,95	8,32
	1,5	1,64	2,72	3,56	5,14	8,70
	$\geq 3,0$	1,65	2,74	3,59	5,15	8,79
180	1,0	1,84	3,04	3,99	5,73	9,48
	1,5	1,89	3,13	4,11	5,92	9,85
	$\geq 3,0$	1,90	3,16	4,14	5,96	9,94

SPA		$\beta=180^\circ$ ve $L_e=2500$ mm için bir kayışın iletebileceği güç P_1 [kW]				
d _{el}	i	n ₁ [d/dak]				
		400	700	950	1450	2850
90	1,0	0,32	0,50	0,64	0,88	1,41
	1,5	0,37	0,59	0,76	1,07	1,78
	$\geq 3,0$	0,38	0,62	0,79	1,12	1,87
100	1,0	0,43	0,68	0,88	1,23	2,05
	1,5	0,48	0,78	1,00	1,43	2,43
	$\geq 3,0$	0,49	0,80	1,03	1,47	2,51
112	1,0	0,55	0,89	1,15	1,63	2,76
	1,5	0,60	0,98	1,27	1,82	3,14
	$\geq 3,0$	0,61	1,00	1,30	1,86	3,22
125	1,0	0,68	1,11	1,44	2,06	3,53
	1,5	0,73	1,20	1,57	2,25	3,91
	$\geq 3,0$	0,75	1,22	1,60	2,30	3,99
140	1,0	0,81	1,33	1,73	2,49	4,28
	1,5	0,87	1,42	1,86	2,68	4,66
	$\geq 3,0$	0,86	1,44	1,89	2,73	4,74
160	1,0	0,97	1,59	2,08	3,00	5,15
	1,5	1,02	1,69	2,21	3,19	5,53
	$\geq 3,0$	1,04	1,71	2,24	3,23	5,62
180	1,0	1,14	1,88	2,45	3,54	6,06
	1,5	1,19	1,97	2,58	3,73	6,44
	$\geq 3,0$	1,20	1,99	2,61	3,77	6,53
200	1,0	1,33	2,20	2,88	4,15	7,07
	1,5	1,38	2,29	3,00	4,34	7,44
	$\geq 3,0$	1,40	2,31	3,03	4,38	7,53
224	1,0	1,59	2,62	3,44	4,95	8,32
	1,5	1,64	2,72	3,56	5,14	8,70
	$\geq 3,0$	1,65	2,74	3,59	5,15	8,79
250	1,0	1,84	3,04	3,99	5,73	9,48
	1,5	1,89	3,13	4,11	5,92	9,85
	$\geq 3,0$	1,90	3,16	4,14	5,96	9,94

SPB		$\beta=180^\circ$ ve $L_e=3550$ mm için bir kayışın iletebileceği güç P_1 [kW]				
d _{el}	i	n ₁ [d/dak]				
		400	700	950	1450	2850
140	1,0	0,32	0,50	0,64	0,88	1,41
	1,5	0,37	0,59	0,76	1,07	1,78
	$\geq 3,0$	0,38	0,62	0,79	1,12	1,87
160	1,0	0,43	0,68	0,88	1,23	2,05
	1,5	0,48	0,78	1,00	1,43	2,43
	$\geq 3,0$	0,49	0,80	1,03	1,47	2,51
180	1,0	0,55	0,89	1,15	1,63	2,76
	1,5	0,60	0,98	1,27	1,82	3,14
	$\geq 3,0$	0,61	1,00	1,30	1,86	3,22
200	1,0	0,68	1,11	1,44	2,06	3,53
	1,5	0,73	1,20	1,57	2,25	3,91
	$\geq 3,0$	0,75	1,22	1,60	2,30	3,99
224	1,0	0,81	1,33	1,73	2,49	4,28
	1,5	0,87	1,42	1,86	2,68	4,66
	$\geq 3,0$	0,86	1,44	1,89	2,73	4,74
250	1,0	0,97	1,59	2,08	3,00	5,15
	1,5	1,02	1,69	2,21	3,19	5,53
	$\geq 3,0$	1,04	1,71	2,24	3,23	5,62
280	1,0	1,14	1,88	2,45	3,54	6,06
	1,5	1,19	1,97	2,58	3,73	6,44
	$\geq 3,0$	1,20	1,99	2,61	3,77	6,53
315	1,0	1,33	2,20	2,88	4,15	7,07
	1,5	1,38	2,29	3,00	4,34	7,44
	$\geq 3,0$	1,40	2,31	3,03	4,38	7,53
355	1,0	1,59	2,62	3,44	4,95	8,32
	1,5	1,64	2,72	3,56	5,14	8,70
	$\geq 3,0$	1,65	2,74	3,59	5,15	8,79
400	1,0	1,84	3,04	3,99	5,73	9,48
	1,5	1,89	3,13	4,11	5,92	9,85
	$\geq 3,0$	1,90	3,16	4,14	5,96	9,94

SPC		$\beta=180^\circ$ ve $L_e=5600$ mm için bir kayışın iletebileceği güç P_1 [kW]				
d _{el}	i	n ₁ [d/dak]				
		400	700	950	1450	2850
224	1,0	0,32	0,50	0,64	0,88	1,41
	1,5	0,37	0,59	0,76	1,07	1,78
	$\geq 3,0$	0,38	0,62	0,79	1,12	1,87
250	1,0	0,43	0,68	0,88	1,23	2,05
	1,5	0,48	0,78	1,00	1,43	2,43
	$\geq 3,0$	0,49	0,80	1,03	1,47	2,51
280	1,0	0,55	0,89	1,15	1,63	2,76
	1,5	0,60	0,98	1,27	1,82	3,14
	$\geq 3,0$	0,61	1,00	1,30	1,86	3,22
315	1,0	0,68	1,11	1,44	2,06	3,53
	1,5	0,73	1,20	1,57	2,25	3,91
	$\geq 3,0$	0,75	1,22	1,60	2,30	3,99
355	1,0	0,81	1,33	1,73	2,49	4,28
	1,5	0,87	1,42	1,86	2,68	4,66
	$\geq 3,0$	0,86	1,44	1,89	2,73	4,74
400	1,0	0,97	1,59	2,08	3,00	5,15
	1,5	1,02	1,69	2,21	3,19	5,53
	$\geq 3,0$	1,04	1,71	2,24	3,23	5,62
450	1,0	1,14	1,88	2,45	3,54	6,06
	1,5	1,19	1,97	2,58	3,73	6,44
	$\geq 3,0$	1,20	1,99	2,61	3,77	6,53
500	1,0	1,33	2,20	2,88	4,15	7,07
	1,5	1,38	2,29	3,00	4,34	7,44
	$\geq 3,0$	1,40	2,31	3,03	4,38	7,53
560	1,0	1,59	2,62	3,44	4,95	8,32
	1,5	1,64	2,72	3,56	5,14	8,70
	$\geq 3,0$	1,65	2,74	3,59	5,15	8,79
630	1,0	1,84	3,04	3,99	5,73	9,48
	1,5	1,89	3,13	4,11	5,92	9,85
	$\geq 3,0$	1,90	3,16	4,14	5,96	9,94

Cetvel 5.16 Normal V-kayışları için P_1 değerleri

A/13		$\beta=180^\circ$ ve $L_e=1730$ mm için P_1 [kW]				
d_{el}	i	n ₁ [d/dak]				
		700	950	1450	2850	
71	1,0	0,45	0,56	0,76	1,16	
	$\geq 3,0$	0,54	0,69	0,95	1,53	
80	1	0,59	0,74	1,02	1,61	
	$\geq 3,0$	0,68	0,87	1,21	1,98	
90	1,0	0,74	0,94	1,31	2,10	
	$\geq 3,0$	0,83	1,06	1,50	2,47	
100	1,0	0,88	1,14	1,59	2,56	
	$\geq 3,0$	0,98	1,26	1,78	2,93	
112	1,0	1,06	1,37	1,92	3,09	
	$\geq 3,0$	1,15	1,49	2,11	3,46	
125	1,0	1,25	1,61	2,27	3,63	
	$\geq 3,0$	1,34	1,74	2,46	4,00	
140	1,0	1,47	1,89	2,67	4,21	
	$\geq 3,0$	1,56	2,02	2,86	4,58	
160	1,0	1,75	2,26	3,18	4,88	
	$\geq 3,0$	1,84	2,38	3,37	5,25	
180	1,0	2,03	2,62	3,67	5,44	
	$\geq 3,0$	2,12	2,74	3,86	5,81	

B/17		$\beta=180^\circ$ ve $L_e=2280$ mm için P_1 [kW]				
d_{el}	i	n ₁ [d/dak]				
		700	950	1450	2850	
112	1,0	1,23	1,55	2,07	2,89	
	$\geq 3,0$	1,47	1,86	2,56	3,84	
125	1,0	1,56	1,98	2,69	3,84	
	$\geq 3,0$	1,80	2,29	3,17	4,79	
140	1,0	1,94	2,47	3,38	4,85	
	$\geq 3,0$	2,17	2,78	3,86	5,80	
160	1,0	2,43	3,11	4,27	6,04	
	$\geq 3,0$	2,66	3,42	4,76	6,99	
180	1,0	2,92	3,73	5,13	7,04	
	$\geq 3,0$	3,15	4,05	5,62	7,99	
200	1,0	3,39	4,35	5,96	7,82	
	$\geq 3,0$	3,63	4,66	6,44	8,77	
224	1,0	3,96	5,06	6,90		
	$\geq 3,0$	4,19	5,38	7,38		
250	1,0	4,55	5,82	7,85		
	$\geq 3,0$	4,79	6,13	8,34		
280	1,0	5,23	6,66	8,86		
	$\geq 3,0$	5,46	6,97	9,35		

C/22		$\beta=180^\circ$ ve $L_e=3808$ mm için P_1 [kW]				
d_{el}	i	n ₁ [d/dak]				
		700	950	1450		
180	1,0	3,63	4,57	5,99		
	$\geq 3,0$	4,25	5,37	7,21		
200	1,0	4,50	5,65	7,45		
	$\geq 3,0$	5,09	6,46	8,68		
224	1,0	5,49	6,92	9,13		
	$\geq 3,0$	6,09	7,73	10,4		
250	1,0	6,55	8,26	10,8		
	$\geq 3,0$	7,14	9,07	12,1		
280	1,0	7,74	9,75	12,6		
	$\geq 3,0$	8,34	10,6	13,9		
315	1,0	9,10	11,4	14,5		
	$\geq 3,0$	9,69	12,2	15,8		
355	1,0	10,6	13,2	16,4		
	$\geq 3,0$	11,2	14,0	17,6		
400	1,0	12,2	15,1			
	$\geq 3,0$	12,8	15,9			

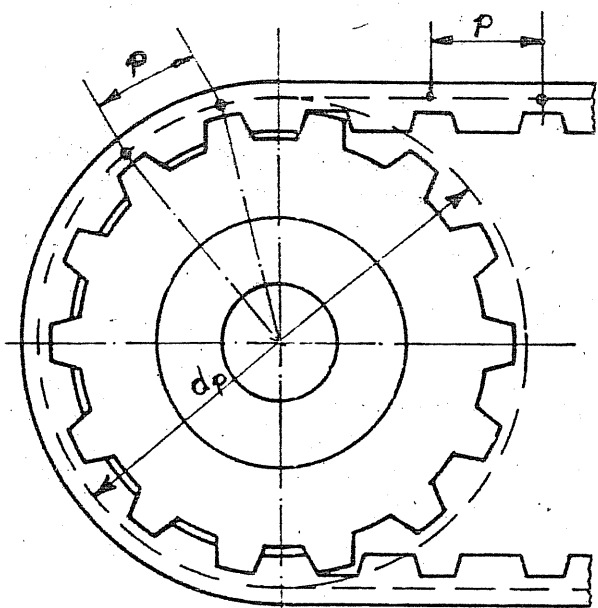
D/32		$\beta=180^\circ$ ve $L_e=6375$ mm için P_1 [kW]				
d_{el}	i	n ₁ [d/dak]				
		400	700	950		
355	1,0	11,3	15,5	18,6		
	$\geq 3,0$	12,7	17,7	21,6		
400	1,0	13,9	19,1	22,7		
	$\geq 3,0$	15,3	21,3	25,7		
450	1,0	16,6	22,8	26,9		
	$\geq 3,0$	18,0	25,0	29,9		
500	1,0	19,3	26,4	30,6		
	$\geq 3,0$	20,7	28,6	33,6		
560	1,0	22,5	30,3			
	$\geq 3,0$	23,9	32,5			
630	1,0	26,0	34,5			
	$\geq 3,0$	27,4	36,7			
710	1,0	29,8	38,7			
	$\geq 3,0$	31,2	40,9			
800	1,0	33,9	42,6			
	$\geq 3,0$	35,3	44,8			

E/40		$\beta=180^\circ$ ve $L_e=7180$ mm için P_1 [kW]				
d_{el}	i	n ₁ [d/dak]				
		400	700	950		
500	1,0	21,1	30,6	34,1		
	$\geq 3,0$	23,6	34,8	39,8		
560	1,0	25,4	36,4	39,8		
	$\geq 3,0$	27,8	40,7	45,6		
630	1,0	30,2	42,7			
	$\geq 3,0$	32,6	46,9			
710	1,0	35,4	48,9			
	$\geq 3,0$	37,8	53,2			
800	1,0	41,1	54,7			
	$\geq 3,0$	43,5	58,0			
900	1,0	47,0				
	$\geq 3,0$	49,4				
1000	1,0	52,5				
	$\geq 3,0$	54,9				
1120	1,0	58,5				
	$\geq 3,0$	60,9				

6. DİŞLİ KAYIŞLAR

6.1: Genel Özellikleri ve Kullanılma Sınırları

Dişli kayışlar güç iletiminin şekil bağı ile olduğu kayış çeşididir. Kayışın kasnak tarafına gelen yüzündeki dişler kasnaktaki diş boşluğunara oturarak şekil bağını meydana getirir (Şekil 6.1). Dişli kayışla kasnak arasında kayma söz konusu değildir. (Mecburi hareketli mekanizma). Açısal pozisyonları birbirine göre belirli olması gereken millerin bağlantısında kullanılabilir.



Şekil 6.1

Dişli kayış son yıllarda birçok uygulamada zincirin ve dişli çarkın yerini almıştır. Dişli kayışa elastik malzemeden yapılmış zincir de denebilir. Ancak, kayış kasnağa, daireye yakın bir eğriliğte sırıldığı için zincir mekanizmalarında görülen kinematik düzgünşülük (çokgen etkisi nedeniyle çevre hızındaki dalgalanma) dişli kayış mekanizmalarında önemli değildir. Kayışın dişleri kasnak diş boşluğununa hemen hemen boşluksuz oturur. Bu nedenle pratik olarak boşluksuz çalışabilen mekanizmalardır.

Dişli kayışlar çok küçük güçlerden 120 kW'a kadar güçlerin iletilmesinde kullanılabilir. Çevre hızı normal şartlarda 40..45 m/s ye kadar, özel hallerde daha da büyük olabilir. Gerekli gerginlik küçüktür. Bu nedenle mekanizmada mile ve yataklara diğer kayış çeşitlerine göre daha az yük gelir. Mekanik kayıplar çok az olup verim % 98..99 mertebedindedir. Dişli kayış mekanizmalarının diğer kayış kasnak mekanizmalarına göre maliyeti daha yüksektir. Ayrıca kayma imkanının olmaması nedeniyle darbeli yüklerle karşı, sürtünme bağlı kayış çeşitlerine oranla daha hassas mekanizmalardır.

Mekanizmada çevrim oranı, Z_1 ve Z_2 kasnaklarının diş sayıları olmak üzere

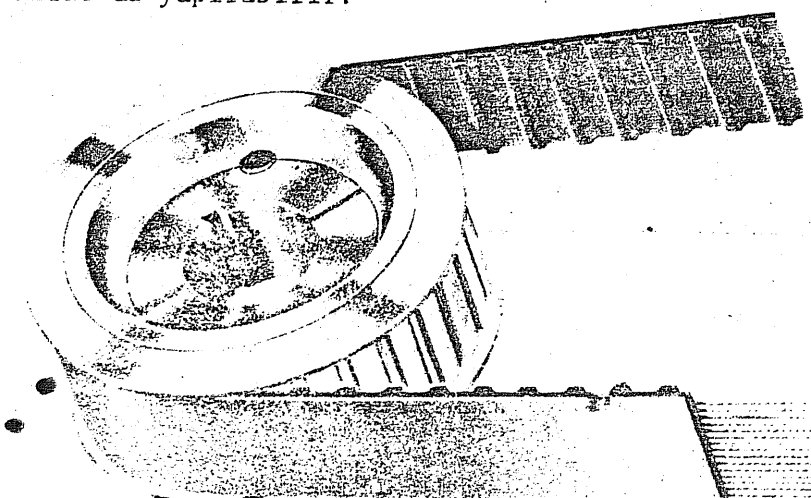
$$i = \frac{Z_2}{Z_1} = \frac{d_{p2}}{d_{p1}} = \frac{n_1}{n_2}$$

dir. Etken çap (d_p) (taksimat dairesi çapı) kasnağın dış çapından büyüktür. (Şekil 1'e bakınız). Kayışın taksimatı (adımı) p ise kasnağın taksimat dairesinin çapı

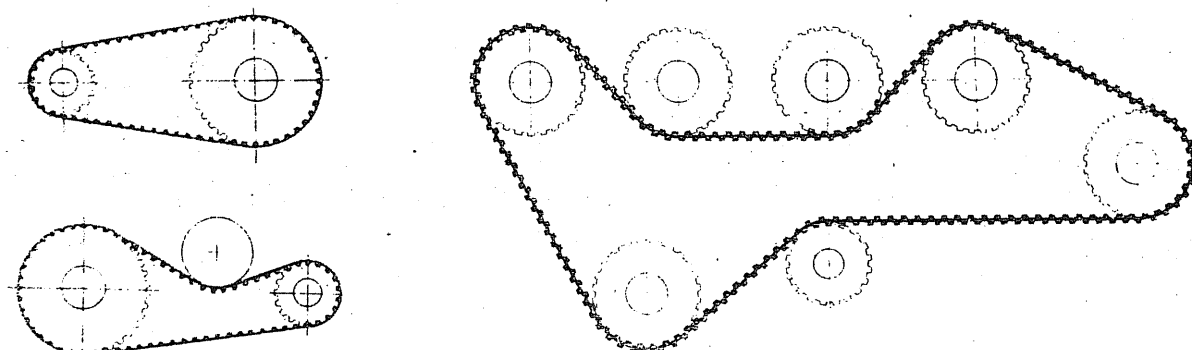
$$\frac{d_p}{p} = \frac{Z \cdot p}{\pi}$$

olur. Kayış kesitinde taksimat dairesine gelen tabakada (kayışın taksimat ekseninde) taşıyıcı kordonlar bulunur (Şekil 6.2). Taşıyıcı kordonlar çeşitli elyaflardan veya çelikten yapılmaktadır. Kayış gövdesi ve dişleri kauçuktan veya poliüretandan olan tipleri vardır. Kauçuk kayışlarda dişlerin bulunduğu yüzeye koruyucu bir naylon bez yapıştırılmıştır.

Tek taraftan dişli olan kayışlarla Şekil 6.3 deki gibi normal tertipler yapılabildiği gibi iki taraftan dişli olan kayışlarla Şekil 6.4 deki gibi mekanizmalar da yapılabilir.



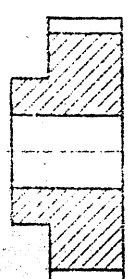
Şekil 6.2 Dişli kayış ve kasnağı



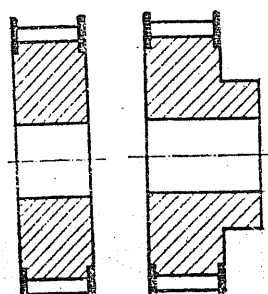
Şekil 6.3

Şekil 6.4

Kayışın kasnak üzerinde eksenel yönde kaymaması için dişli kayış kasnakları yanlardan flenşli olmalıdır (Şekil 6.5) Yatay eksenli mekanizmalarda eksen aralığı fazla büyük değilse yalnız küçük kasnağın flenşli olması yeterlidir. Dişli kayış kasnaklarının dişleri çoğunlukla dişli imalinde kullanılan tezgahlarda yuvarlanma metodu ile açılır.



Flenssiz



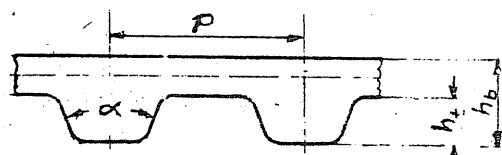
Flenşli

Şekil 6.5 Dişli kayış kasnakları

6.2 Standart ölçüler

Günümüzde Anglo-Sakson birimleri esas alınarak standartlaştırılmış dişli kayışlarla metrik ölçülerde dişli kayışlar kullanılmaktadır. Birleşik Amerika'dan yayılan ve genellikle dünyada yaygın olarak kullanılan inç ölçülerinde, elyaf taşıyıcı, kauçuk gövdeli kayışların ana ölçüleri Cetvel 6.1 de verilmiştir. Nispeten daha az kullanılan ve Avrupa'da birkaç firma tarafından imal edilen metrik ölçülerdeki, çelik tel taşıyıcılı, poliüretan gövdeli dişli kayışların taksimatları ise Cetvel 6.2 de verilmiştir.

Cetvel 6.1 İnç ölçülerindeki dişli kayışlar



Kayış sembolü	P [inç]	P [mm]	α	h_b [inç]	h_t [inç]
XL	1/5	5,08	50°	0,1	0,05
L	3/8	9,525	40°	0,14	0,075
H	1/2	12,7	40°	0,16	0,09
XH	7/8	22,225	40°	0,45	0,250
XXH	1 1/4	31,75	40°	0,6	0,375

Cetvel 6.2 Metrik dişli kayışlar

Kayış sembolü	P	α
T 2,5	2,5	
T 5	5	
T 10	10	
T 20	20	40°

İnç ölçülerindeki dişli kayışların kısa gösterilişi

510 H 075

Etken boy X10 [inç] Kayış tipi Genişlik sembolü

şeklindedir. Standart boyalar Cetvel 6.3 de, standart genişlikler Cetvel 6.4 de verilmiştir. Dişli kayış kasnağının kısa gösterilişi ise örneğin,

20 H 200 (Flensiz)

20 H 200 F (Flensli)

Diş sayısı

Kayış tipi Genişlik sembolü

6.3. Dişli kayışlarının hesabı

Dişli kayışların hesabı da V-kayışları gibi bir katalog hesabıdır. İnç ölçülerindeki elyaf taşıyıcılı dişli kayışlar için aşağıda kısa bir hesap tarzı verilmiştir. Çevre hızı 30 m/s nin altında kalmak kaydıyla bu hesap tarzı ile mekanizma boyutlandırılabilir. Çevre hızı daha büyüğse kayış imalatçısının katalog değerleri esas alınmalıdır.

1- İletilen nominal güç P ise döndüren ve döndürülen makinanın özellikleri

Cetvel 6.3 Dişli kayışlarda standart uzunluklar

XL

Uzunluk sembolu	Uzunluk [mm]	Diş sayısı
60XL	152,40	30
70XL	177,80	35
80XL	203,20	40
90XL	228,60	45
100XL	254,00	50
110XL	279,40	55
120XL	304,80	60
130XL	330,20	65
140XL	355,60	70
150XL	381,00	75
160XL	406,40	80
170XL	431,80	85
180XL	457,20	90
190XL	482,60	95
200XL	508,00	100
210XL	533,40	105
220XL	558,80	110
230XL	584,20	115
240XL	609,60	120
250XL	635,00	125
260XL	660,40	130

L

Uzunluk sembolu	Uzunluk [mm]	Diş sayısı
124L	314,33	33
150L	381,00	40
187L	476,25	50
210L	533,40	56
225L	571,50	60
240L	609,60	64
255L	647,70	68
270L	685,80	72
285L	723,90	76
300L	762,00	80
322L	819,15	86
345L	876,30	92
367L	933,45	98
390L	990,60	104
420L	1066,80	112
450L	1143,00	120
480L	1219,20	128
510L	1295,40	136
540L	1371,60	144
600L	1524,00	160

H

Uzun. sem.	Uzunluk [mm]	Diş sayısı
240H	609,60	48
270H	685,80	54
300H	762,00	60
330H	838,20	66
360H	914,40	72
390H	990,60	78
420H	1066,80	84
450H	1143,00	90
480H	1219,20	96
510H	1295,40	102
540H	1371,60	108
570H	1447,80	114
600H	1524,00	120
630H	1600,20	126
660H	1676,40	132
700H	1778,00	140
750H	1905,00	150
800H	2032,00	160
850H	2159,00	170
900H	2286,00	180
1000H	2540,00	200
1100H	2794,00	220
1250H	3175,00	250
1400H	3556,00	280
1700H	4318,00	340

XH

Uzunluk sembolu	Uzunluk [mm]	Diş sayısı
507XH	1289,05	58
560XH	1422,40	64
630XH	1600,20	72
700XH	1778,00	80
770XH	1955,80	88
840XH	2133,60	96
980XH	2489,20	112
1120XH	2844,80	128
1260XH	3200,40	144
1400XH	3556,00	160
1540XH	3911,60	176
1750XH	4445,00	200

XXH

Uzunluk sembolu	Uzunluk [mm]	Diş sayısı
700XXH	1778,00	56
800XXH	2032,00	64
900XXH	2286,00	72
1000XXH	2540,00	80
1200XXH	3048,00	96
1400XXH	3556,00	112
1600XXH	4064,00	128
1800XXH	4572,00	144

Cetvel 6.4 Dişli kayışlarda standart genişlikler

XL**L****H****XH****XXH**

Genişlik sembolu	XL										
	025	031	037	050	075	100	150	200	300	400	500
[Inç]	1/4	5/16	3/8	1/2	3/4	1	1 1/2	2	3	4	5
[mm]	6,4	7,9	9,5	12,7	19,1	25,4	38,1	50,8	76,2	101,6	127

dikkate alınarak aşırı yük faktörü (C_1) seçilerek $C_1 \cdot P$ hesap gücü bulunur. (C_1 aşırı yük faktörü için V-kayışları için Cetvel 5.9'da verilen aşırı yük faktörü değerlerinin 1,3 ... 1,4 katı alınabilir)

2- Hesap gücü ($C_1 \cdot P$) ve küçük kasnağın dönme sayısı (n_1) dikkate alınarak Şekil 6.6 daki diyagramdan kayış tipi seçilir.

3- İstenen çevrim oranına bağlı olarak kasnakların dış sayıları seçilir. Cetvel 6.5 de standart asenkron elektrik motorlarının dönme sayılarına bağlı olarak küçük kasnağın dış sayısının alt değeri verilmiştir.

4- Çevre hızı hesaplanır.

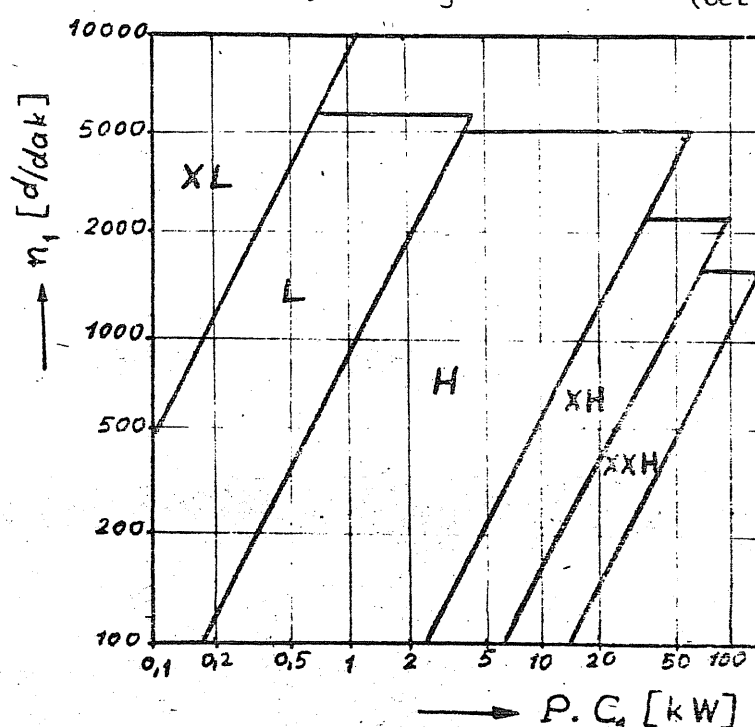
$$V[m/s] = \frac{\pi \cdot n_1}{60} \cdot d_p [m]$$

5- Kasnak çapları (d_{p1} ve d_{p2}) ve istenen eksen aralığı kullanılarak standart kayış boyu tayin edilir. Standart kayış boyuna bağlı olarak eksen aralığı tam olarak hesaplanır.

6- Seçilen tipteki b genişliğinde kayışın iletebileceği güç

$$P_{\text{hesap}}[\text{kW}] = C_1 \cdot P = \frac{F_u[\text{N/inç}] \cdot b \cdot C_2 \cdot C_3 \cdot V[\text{m/s}]}{1000}$$

1 inç genişliğindeki kayışın taşıyabileceği faydalı gerilme F_u (N/inç) Cetvel 6.6 da verilmiştir. Belirli bir tipteki kayışın taşıyabileceği birim faydalı gerilme kayış genişliği ile artar. Bu durum C_2 faktörü ile dikkate alınır. (Cetvel 6.7) Sarılma açısı C_3 faktörü ile dikkate alınır. Küçük kasnakta sarılma yayındaki dış sayısı 5 ten büyükse $C_3 = 1$ alınır (Cetvel 6.8).



Şekil 6.6

Cetvel 6.5 Dişli kayış mekanizmalarında küçük kasnağın diş sayısının alt değeri

Dişli kayış tipi	n_1 [d/dak]	d_p min [mm]	Fleşin diş çapı	En az diş sayısı
XL	3000	19,40	25,2	12 XL
	1500	17,79	23,6	11 XL
	1000	16,17	22,0	10 XL
L	3000	48,51	56,0	15 L
	1500	42,45	49,0	14 L
	1000	36,38	42,0	12 L
H	3000	80,85	87,0	20 H
	1500	72,77	79,0	18 H
	1000	64,68	71,0	16 H
XH	1500	183,94	198,0	26 XH
	1000	169,79	184,0	24 XH
	750	155,64	170,0	22 XH
XXH	1500	262,77	281,0	26 XXH
	1000	242,55	261,0	24 XXH
	750	222,34	241,0	22 XXH

Cetvel 6.6 1 inç genişliğindeki dişli kayışın taşıyabilecegi faydalı kuvvet

Kayıs tipi	Faydalı kuvvet F_{ul} [N/inç]
XL	170 ... 180
L	240 ... 250
H	640 ... 660
XH	800 ... 840
XXH	950 ... 1000

Cetvel 6.8

Küçük kasnağa sarılma yayındaki diş sayısı	C_3
5	0,8
4	0,6
3	0,4

Cetvel 6.7 Dişli kayışlarda genişlik faktörü (C_2)

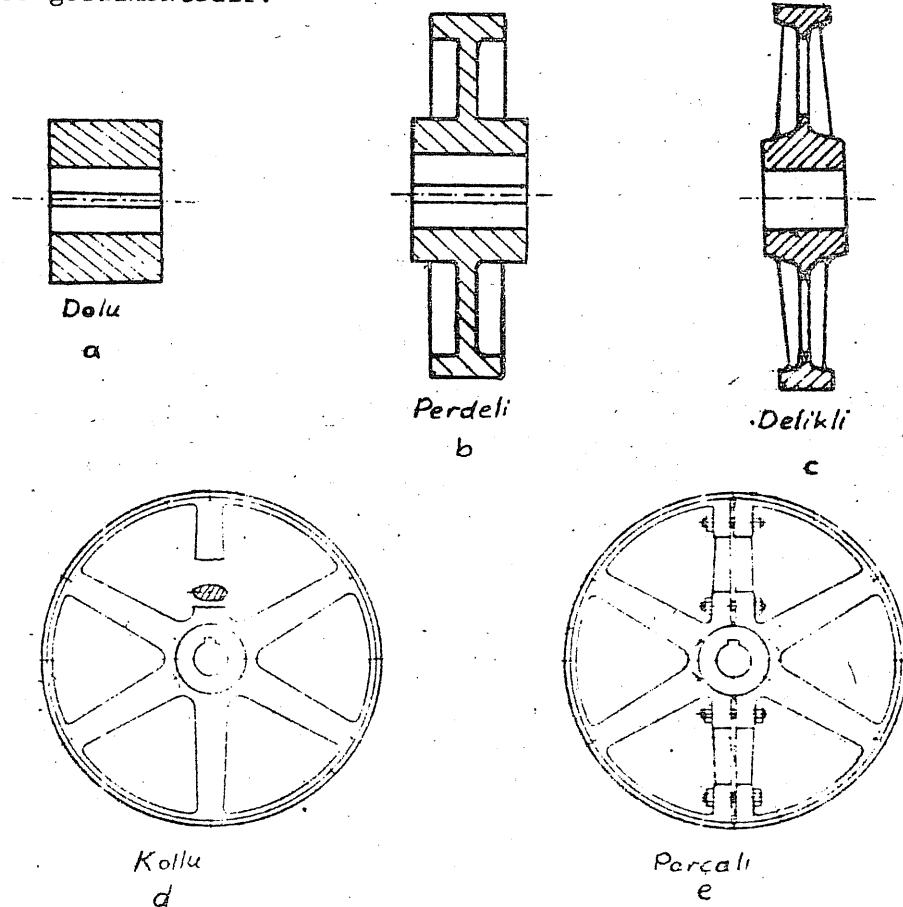
Genişlik [mm]	Kayıs sembolü	C_2
6,5	XL025	0,15
9,5	XL037	0,28
13	L050	0,42
19	L075	0,71
25	L100	1,00
19	H075	71
25	H100	1,00
38	H150	1,56
51	H200	2,14
76	H300	3,36
51	XH200	2,14
76	XH300	3,36
102	XH400	4,76
51	XXH200	2,14
76	XXH300	3,36
102	XXH400	4,76
127	XXH500	6,15

7. KASNAKLAR

Standart kasnak çapları ve kayış çeşidine bağlı olarak kayışın sarıldığı dış çember kasının şekli ve ölçülerini söz konusu kayışlarla ilgili bölümlerde verilmiştir. Bu bölümde kasnak gövde yapısı ve malzemelerinden bahsedilecektir.

Kasnak imalinde kullanılan belli başlı malzemeler dökme demir, dökme ve dövmeye çelik, alüminyum ve çinko alaşımları, çelik saç, takviyeli sert plastiklerdir.

Döküm tekniği ile imal edilen kasnakların konstrüksiyonuna birkaç örnek Şekil 7.1 de görülmektedir.

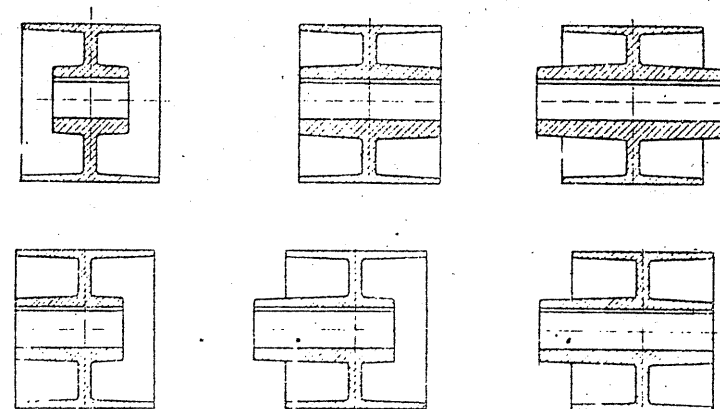


Şekil 7.1 Döküm konstrüksiyonu kasnaklar

Çok küçük çaplı kasnaklarda gövdeyi boşaltmaya gerek yoktur (Şekil 7.1a). Çap büyükçe göbek ve çember kısmı arası hafifletilmiş konstrüksiyonlar yapılır (Şekil 7.1 b,c,d)

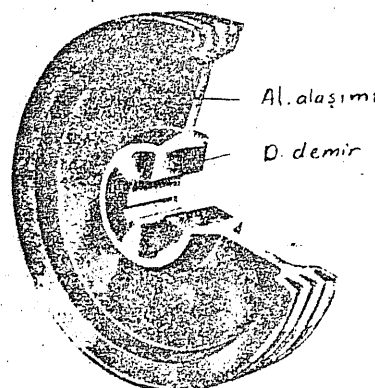
Şekil 7.1 c deki konstrüksiyon, özellikle basınçlı döküm için uygundur. Kum kalıba dökülerek yapılan büyük çaplı kasnaklarda kollu konstrüksiyon en yaygın şekildir. Kol kesiti elips, + veya H şeklinde olabilir. Kol sayısı kasnak büyüğüğine bağlı olarak 3,4 veya 6 dir. Kasnak genişliği fazla ise iki sıra kol yapılır. Kollar santrifüj kuvveti ile çekmeye ve çevre kuvveti nedeniyle de eğilmeye zorlanırlar. Kolların boyutlandırılmasıında döndürme momentinin kolların yarısı tarafından göbeğe iletildiği kabulü ile kontrol hesabı yapılır.

Kasnagın göbek ve çemberinin birbirine göre durumu ve genişlikleri mekanizmadaki kullanma yerine göre değişik şekillerde olur (Şekil 7.2)



Şekil 7.2.

Alüminyum ve çinko合金alarından yapılan kasnakların mile kama ile bağlantılarında ezilmeleri önlemek için bazlarında göbekletinin ortasına, döküm sırasında dökme demirden parçalar konur. Kama yuvaları bu kısımlara açılır (Şekil 7.3)

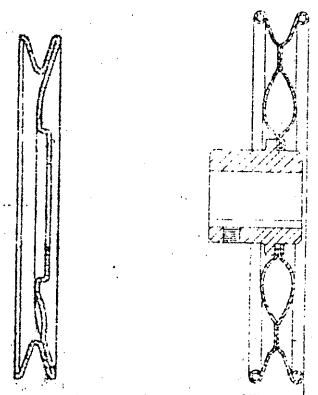


Şekil 7.3

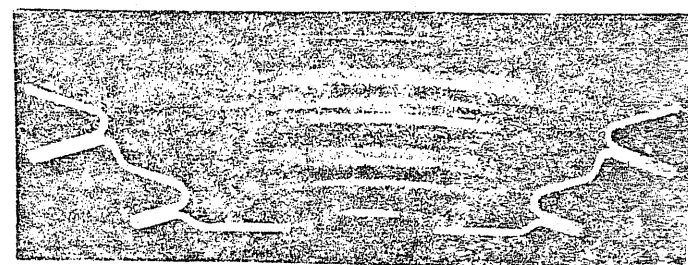
Az sayıda yapılacak büyük çaplı kasnaklar kaynak konstrüksiyonu ile şekillendirilebilir.

Motorlu taşıtlarda kullanılan kasnaklar gibi büyük serilerde imal edilen belirli çapa kadar V-kayışı kasnakları saatdan preslenerek yapılır. Şekil 7.4 de ve 7.5 de saattan preslenerek yapılmış kasnaklara bir kaç örnek verilmiştir.

Çevre hızı büyük olan mekanizmalarada kullanılan kasnaklarda santrifüj kuvvetlerden dolayı ertaya çıkan gerilmeler tehlikeli



Şekil 7.4



Şekil 7.5

olabilir. Belirli bir malzemeden yapılmış kasnakta çevre hızı bu nedenle sınırlıdır. Çinko合金ından yapılmış kasnaklar 25 m/s , dökme demirden kasnaklar 30 m/s , dökme çelik kasnaklar 50 m/s hızlarına kadar kullanılabilir. Daha yüksek hızlarda genellikle yüksek mukavemetli alüminyum合金dan yapılmış kasnaklar kullanılır.

30 m/s çevre hızına kadar kullanılan kasnaklarda statik dengeleme yeterlidir. 30 m/s nin üzerinde kullanılacak kasnaklar dinamik dengeleme işlemine tabi tutulmalıdır.

8. GERDİRME SİSTEMLERİ

Kayış kasnak mekanizmalarında gerekli kayış gerginliği çeşitli şekillerde sağlanabilir. Gerdirme metodları aşağıdaki gibi sınıflandırılabilir.

- 1- Kısaltılmış kayışı gererek takmak.
- 2- Eksen aralığını artırarak gerginlik sağlamak.
- 3- Motor ağırlığı ile gerginlik sağlamak.
- 4- Gergi kasnağı kullanarak gerginlik sağlamak.
- 5- Kendiliğinden gerilmeyi sağlayan özel tertibat kullanmak.

1- Kısaltılmış kayışı gererek takmak.

Eksen aralığı değiştirilemiyen ve polyamid band veya polyester kordon özlü kayışlar gibi zamanla kalıcı uzama görülmeyen türden düz kayışların kullanıldığı mekanizmalarda gerekli uzunluktan ΔL kadar daha kısa veya kısaltılarak uçları yapıştırılmış kayış uygun bir yolla kasnaklar üzerine takılarak gerginlik sağlanabilir. Kayışta meydana gelen elastik uzama bir ön gerilme kuvveti doğurur. Bu kuvvet

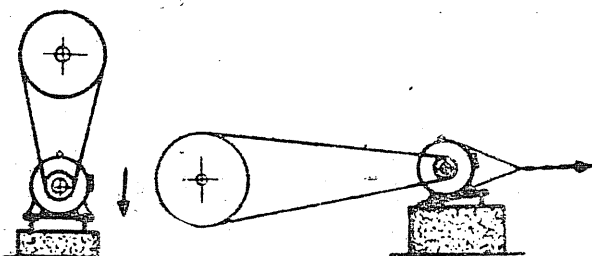
$$F_o = \frac{\Delta L}{L} \cdot E \cdot A = \epsilon \cdot E \cdot A$$

şeklindedir. Burada, E kayışın uzama elastiklik modülü A ise kesit alanıdır. İstenen F_o ön gerilme kuvvetini sağlayan kısaltma miktarı

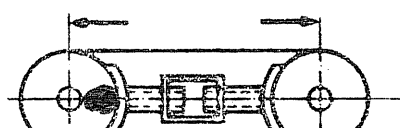
$$\Delta L = \frac{F_o \cdot L}{E \cdot A}$$

dır. Bu kayışlarda gerekli ϵ birim uzaması taşıyıcı şz türüne, iletilen güce ve çevre hızına bağlı olarak % 1,5 ... 3 mertebesindedir.

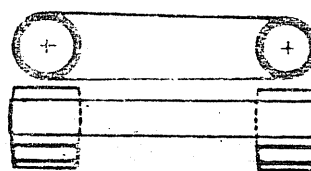
Kısaltılmış kayışın kasnaklar üzerine takılması çeşitli yollarla yapılabilir (Şekil 8.1).



Motoru çekererek



Özel vidalı mekanizma ile gerdirerek



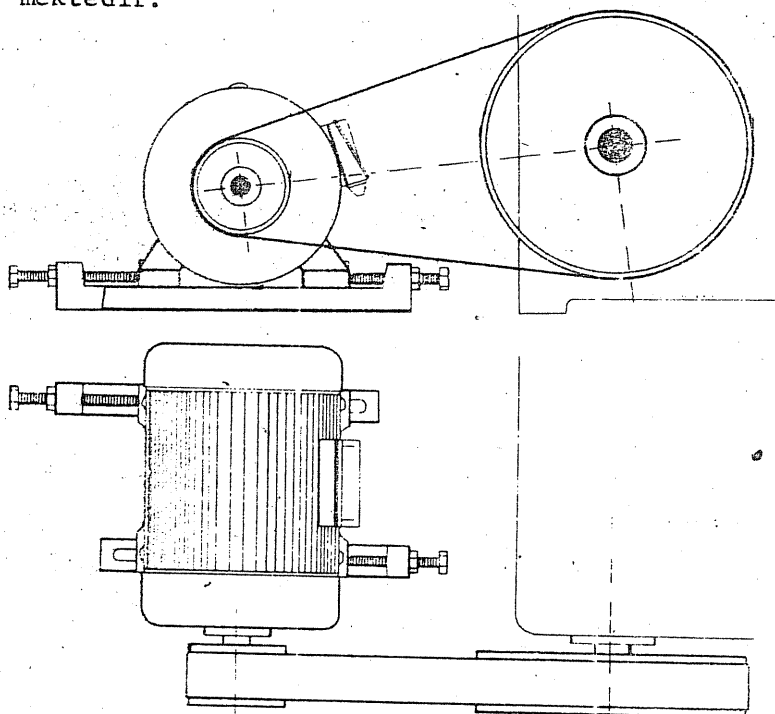
Kasnak yanlarına takılan konik parçalar yardımıyla

Şekil 8.1 Kısaltılmış kayışın sabit eksen aralıklı mekanizmada kasnaklara takılması

Bazan da kısaltılmış kayışın uçlarının yapıştırılması kayış kasnaklar üzerine sarıldıktan sonra yapılır. Özel bir çekitleme ile kayış gerilerek uçlar bir-birine yaklaştırılır. Portatif bir yapıştırma presi yardımıyla uçlar birleştirilir.

2. Eksen aralığını artırarak gerginlik sağlamak.

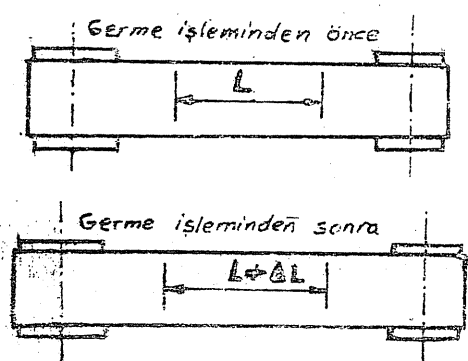
En fazla uygulanan metoddur. Elektrik motoru gibi bağımsız bir ünite ile tahrik edilen mekanizmalarda motoru, döndürülen kasnaktan uzaklaştırarak kayıştaki elastik uzama ile gerginlik sağlanır. Şekil 8.2 de böyle bir tertibat görülmektedir.



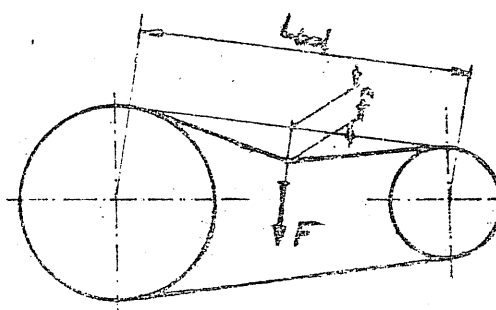
Şekil 8.4 Kızaklar üzerine yerleştirilmiş elektrik motorunu kaydırarak kayışın gerilmesi

Eksen aralığını artırarak yapılan germe işlemi sırasında yeterli gerginliğin elde edilip edilmediği kayış çeşidine göre farklı yollarla kontrol edilir. Düz kayışlarda, gerginlik yokken kayış üzerine çizilmiş iki çizginin arası germe işlemi sırasında ölçülür. Gerekli birim uzama (ϵ) elde edilinceye kadar germe işlemeye devam edilir (Şekil 8.3).

V-kayışlarında gerginlik düz kayışlardan farklı şekilde kontrol edilir. Şekil 8.4 de olduğu gibi kol ortasından uygulanan belirli büyülükle bir kuvvet kayış kolunda kayış kesitine kol uzunluğuna ve istenen ön gerilme kuvetine bağlı olarak belirli bir $-f-$ sehiminden daha küçük bir sehim doğurmaktadır. $-f-$ sehiminin hesabı ile ilgili bilgiler imalatçı firmaların kataloglarında bulunur.

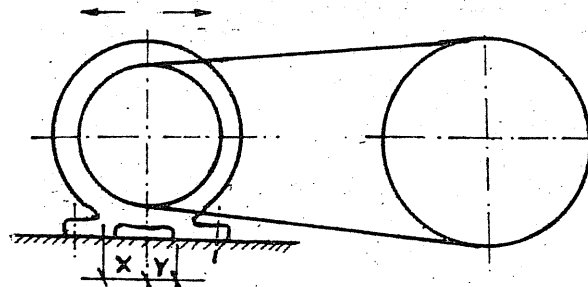


Şekil 8.5 Taşıyıcı özlü düz kayışlarda gerginliğin kontrolü



Şekil 8.6 V-kayışlarında gerginliğin kontrolü

Kritik uygulamalar dışında V-kayışları gerginlikteki farklılıklara karşı fazla hassas değildir. Çok zaman tecrübeli bir montör V-kayışının gerginliğini parmağı ile bastırarak yeterli doğrulukta kontrol edebilir.



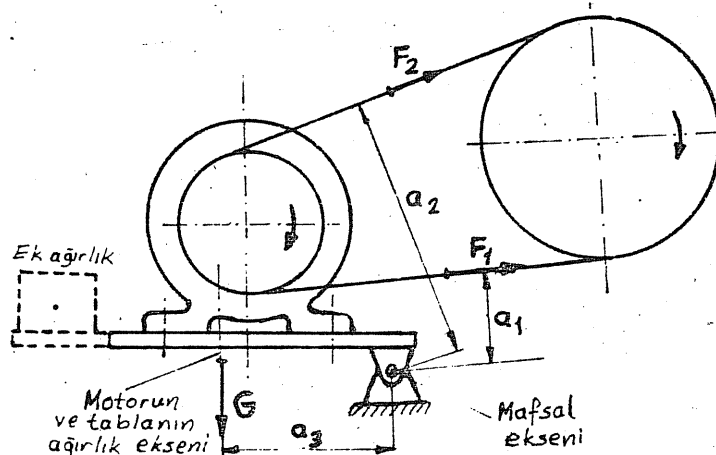
Şekil 8.7

3. Motor ağırlığı ile gerginlik sağlamak.

Yatay eksenli mekanizmalarda germe maksadıyla motorun ağırlığından yararlanılabılır. Şekil 8.6 daki mekanizmada kayış kol kuvvetlerinin ve ağırlık kuvvetinin momentinin toplamının sıfır olması şartından

$$F_1 \cdot a_1 + F_2 \cdot a_2 - G \cdot a_3 = 0$$

yazılabilir. Diğer taraftan



Şekil 8.7 Motor ağırlığı ile gerginlik sağlanması

Konstrüksiyonda eksen aralığının ayar imkanı, gerek gerginliği sağlamak gerekse kayışı kasnaklara takabilmek için yeterli miktarda olmalıdır. Motor kızaklar üzerine yerleştirilmişse eksen aralığı en az Şekil 8.5 de görüldüğü gibi germe işlemi için X kadar, kayışın takılabilmesi için Y kadar motor kaydırılarak değiştirilebilir. X ve Y miktarları, V-kayışının kesitine bağlı olarak belirlidir.

$$\frac{F_1}{F_2} < e^{\mu\beta}$$

olmalıdır. İkinci bağıntıyı da gerçekleyen a_3 değeri veya ek ağırlık kullanılarak G değeri tespit edilebilir. Bu tertipte farklı dönüs yönleri için farklı gerginlik elde edildiğine dikkat etmelidir.

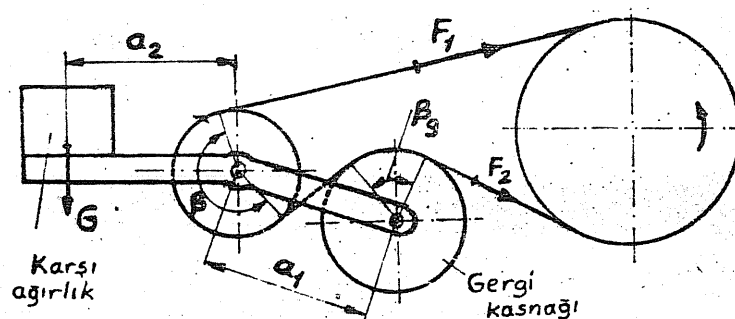
4. Gergi kasnağı kullanarak gerginlik sağlamak

Gergi kasnağı kullanarak da gerginlik sağlanabilir. Şekil 8.8 de olduğu gibi kayışa dıştan bir gergi kasnağı ile bastırılırsa hem de kayışın küçük kasnağa sarılma açısı büyütülebilir. Sistem, kayışta zamanla ortaya çıkabilecek kalıcı uzamaları da karşılamaya elverişlidir. Gergi kasnağı kayışın gevşek koluna ulgulanır. Kayışın gevşek kolundan gergi kasnağına gelen kuvvet

$$F_g = F_2 \sqrt{2(1 - \cos \beta_g)}$$

dir. Burada β_g kayışın gergi kasnağına sarılma açısıdır. Gerekli G karşı ağırlığı ise

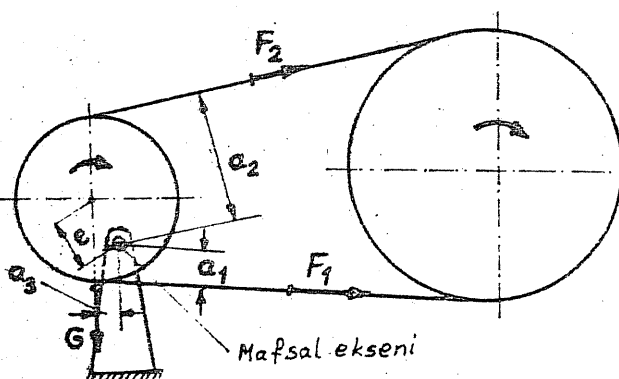
$$G \approx \frac{F_g \cdot a_1}{a_2}$$



Şekil 8.8 Gergi kasnağı ve karşı ağırlık ile gerginlik sağlanması

dır. Karşı ağırlık yerine yay da kullanılabilir. Bu tür gergi kasnağı yeni konstrüksiyonlarda nadir olarak kullanılmaktadır.

Gergi kasnağı ile verilen gerilme, iletilen gücten bağımsız ve sabittir. Bu nedenle mekanizmanın nominal gücten daha az güç ilettiği, bu nedenle daha az gerginliğin yeterli olduğu hallerde dahi kayışı fazla zorladığından mahzurludur. Eksenleri arası uzaklık değiştirilemiyen iki mil arasında V-kayışlarının ve dişli kayışların kullanıldığı mekanizmalarda karşı ağırlıksız, pozisyonu germe işlemi sonrasında sabit kalan gergi kasnakları ile gerginlik sağlanır. Bu tür uygulamada içten veya dıştan gergi kasnağı kullanılabilir. Gergi kasnağı mümkün olduğu kadar kayışın gergi kasnağından sonra sarıldığı kasnactan uzak olmalıdır.



Şekil 8.9 Kendiliğinden gerginlik sağlayan düzen

5. Kendiliğinden gerilmeyi sağlayan özel tertibat

Mekanizmayı tahrik eden motor kenar dönme ekseninden e kadar uzaklıkta, Şekil 8.9'daki gibi bir eksenden mafsallanması iletilen gücü göre gerginliği kendiliğinden ayarlayan bir düzen elde edilir.

Şekildeki mafsal noktasına göre kuvvetlerin momenti

$$F_1 \cdot a_1 - F_2 \cdot a_2 + G \cdot a_3 = 0$$

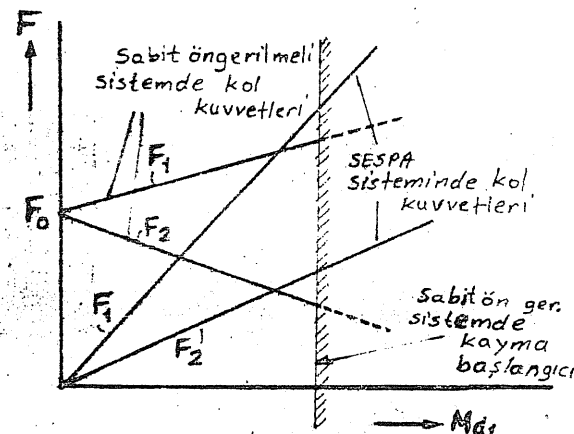
yazılabilir. F_2 yerine $F_1/e^{\mu\beta}$ konulur ve çok küçük olduğu için $G \cdot a_3$ çarpımı ihmal edilirse

$$F_1(a_1 - \frac{a_2}{e^{\mu\beta}}) = 0$$

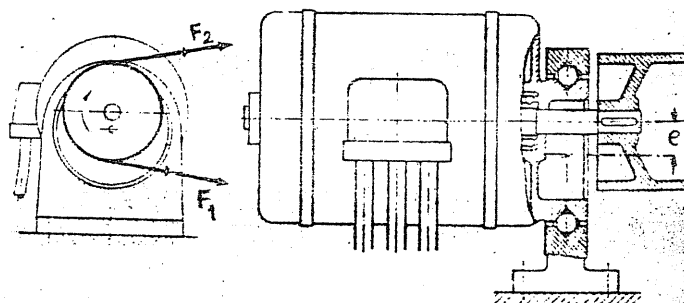
olur. Parantez içindeki kısmın sıfır olması gereklidir. Buradan

$$\frac{a_2}{a_1} < e^{\mu\beta}$$

sonucu çıkar. Yukardaki şartı sağlayan bir mafsal eksenini seçilirse kayışın küçük kasnak üzerinde blok halinde kayması söz konusu olamaz. Kol kuvvetleri iletilen



Şekil 8.10



Şekil 8.11 SESPA konstrüksiyonu

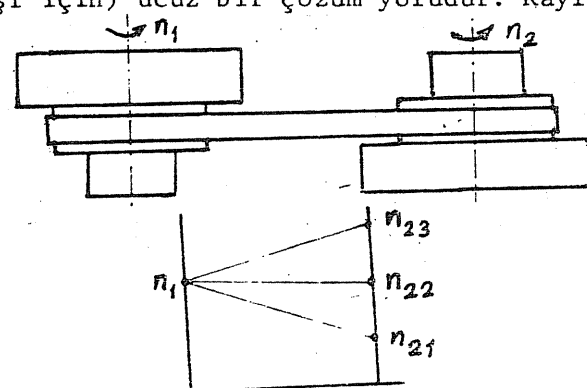
güce göre değişir (Şekil 8.10). Bu düzen çok zaman SESPA sistemi diye anılır. Kayışı germe bakımından ideal bir sistem olmasına rağmen pahalı bir konstrüksiyonu gerektirdiği için günümüzde nadir olarak yapılmaktadır. Şekil 8.11 de Sespa terribine ait bir konstrüksiyon görülmektedir.

9. ÇEVİRİM ORANINI DEĞİŞTİRME

Döndüren makinanın hızı aynı kalmak kaydıyla döndürülenin hızını değiştirmek yani değişik çevrim oranları elde etmek kayış kasnak mekanizmaları ile de mümkündür. Bu, iki farklı şekilde yapılır.

- 1- Kademeli hız ayarı
- 2- Kademesiz hız ayarı
- 3- Kademeli hız ayarı:

Farklı çıkış hızları elde etmek için bir yol kademeli kasnak kullanmaktadır. Döndüren ve döndürülen mile takılı kasnaklar Şekil 9.1 de olduğu gibi değişik çaplarda kademelere sahiptir. Kayış (genellikle tek kayış) istenilen çıkış hızını sağlayan kademeye getirilerek farklı hızlar elde edilebilir. Kasnak çapları uygun seçilerek belirli bir kayış uzunluğu için her kademedeeki eksen aralığının yaklaşık olarak aynı kalması sağlanabilir. Kademeli kasnaklı sistemle tırik, küçük torna, freeze, matkap gibi tezgahlarda farklı kesme ve delme hızları elde etmek için çok kullanılan bir yoldur. Nispeten küçük güçlerin iletiliği sistemlerde (tek V-kayış için) ucuz bir çözüm yoludur. Kayışı istenilen kademeye kaydırılmak için gerekken süre 1..2 dakika civarındadır. Coğunlukla iki veya üç en fazla dört kademeli konstrüksiyonlar yapılır.

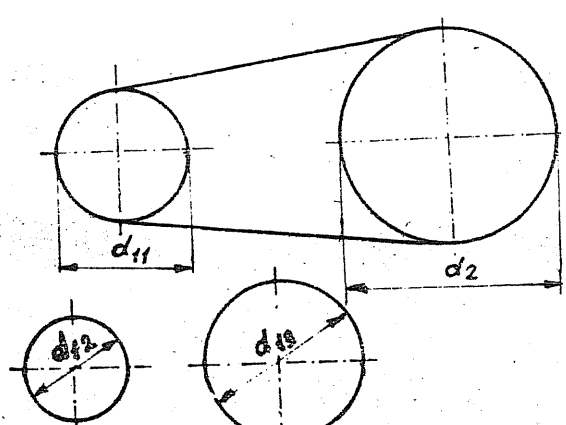


Şekil 9.1 Kademeli kasnaklar

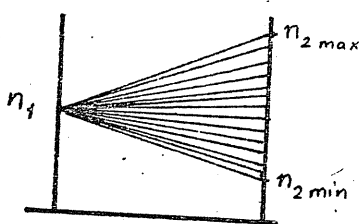
Nispeten büyük güçlerin iletiliği çok sayıda V-kayışının kullanıldığı mekanizmalarla çıkış hızında değişiklik, birden fazla küçük kasnaktan herhangi birini takarak ta yapılabılır. Örneğin kasnak çapları $d_1 = 125$, $d_2 = 224$ ve çevrim oranı $i_1 = 1,79$ olan mekanizmada küçük kasnak çıkartılıp çapları 118 ve 132 olan iki kasnaktan biri takılarak $i_2 = 1,90$ veya $i_3 = 1,69$ çevrim oranları elde edilebilir. Kasnak değiştirme hız değişiminin oldukça seyrek yapıldığı sistemlerde basit ve ucuz bir çözüm yoludur. Kasnak değiştirme ve germe işlemi 15...20 dakika süre alır. Döndüren motorun kızaklar üzerine yerleştirilmiş olduğu mekanizmalar bu iş için daha uyundur.

2. Kademesiz hız ayarı:

Döndürülen mekanizmanın hızının belirli bir aralıkta kademesiz olarak ayarlanabilmesine imkân veren sistemlere teknikte varyatör denir. Kayışlı, sürtünmeli çarklı, zincirli ve hidrostatik mekanizmalar varyatörler yapılmıştır. Varyatörde, çıkış hızının hızının maksimum ve minimum değerlerinin oranına aralığı denir.



Şekil 9.2 Küçük kasnağı değiştirek çevrim oranı değiştirebilir.

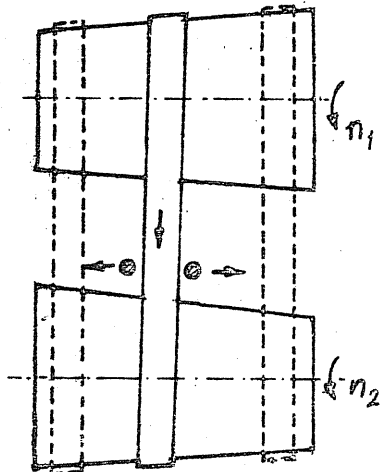


Şekil 9.3

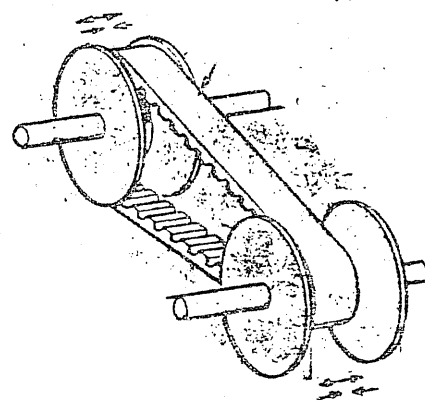
$$\text{Ayar aralığı} = \frac{n_2 \text{ max}}{n_2 \text{ min}}$$

Kayıaklı varyatörlerde hız ayarı kasnak etken çapını değiştirmek yoluyla yapılır. Düz ve V-kayışlarının kullanıldığı iki farklı türden kayaklı varyatör söz konusudur. Şekil 8.4 deki gibi iki konik kasnaklı sistemde kayış sağa veya sola kaydırılarak farklı çıkış hızları elde edilebilir. Düz kayaklı bu tür varyatörlerde ayar aralığı en fazla 2可以说. Nispeten az kullanılan bir varyatör çeşitidir.

Kullanılan kayaklı varyatörlerin çok büyük bir kısmı V-kayıaklı olanlardır. V-kayıaklı varyatörlerde kasnaklar iki parçalıdır. Parçalar dönme ekseni istikametinde birbirine yaklaşırılıp uzaklaştırılarak etken çap değiştirilir. Her iki kasnağı olabilir olan V kayaklı varyatörlerde ayar aralığı 9 ... 10 mertebede olabilir. Kumanda mekanizması farklı olan çok çeşitli konstrüksiyonlar yapılmıştır. Burada varyatörler konusunda daha fazla bilgi verilmeyecektir.



Şekil 9.4



Şekil 9.5

10 - ÇÖZÜLMÜŞ ÖRNEKLER

Problem 1

Bir elektrik motoru ile bir değirmen arasında kullanılacak düz kayış-kasnak mekanizmasının boyutlandırılması istenmektedir. Pamuk bez taşıyıcılı kauçuk kayış kullanılacaktır.

Elektrik motoru 200 L, $n=950$ d/dak, $P=18,5$ kW

Değirmenin dönmeye sayısı $n=300 \pm 10$ d/dak

Eksenler arası uzaklık $a=1800$ mm

ÇÖZÜM:

Aşırı yük faktörü $C_2=1,4$ olarak verilmiştir.

$$P_{\text{hesap}} = C_2 \cdot P = 1,4 \cdot 18,5 = 25,9 \text{ kW}$$

Kayış seçimi:

$s=6$ mm olan kayışın uygun olacağı düşünülmektedir. Kayışın mekanik özellikleri: $E=500 \text{ N/mm}^2$, $E_b=50 \text{ N/mm}^2$, $\gamma=12 \text{ N/dm}^3$, $\sigma_{\text{em}}=4 \text{ N/mm}^2$, $V_{\text{max}}=40 \text{ m/s}$, $f_{b \text{ max}}=30 \text{ l/s}$, $\mu=0,5$ dir.

Kasnak kapıları:

Kauçuk kayışlarda $d/s > 30$ olması tavsiye edilir.

$$d_1 > 6 \cdot 30 = 180 \text{ mm}$$

$d_1 = 224$ mm standart kasnak kapı alındı (Sayfa 22, Cetvel 4.3)

İstenen çevrim oranı

$$i = \frac{950}{300} = 3,17$$

$$d_2 = i \cdot d_1 = 3,17 \cdot 224 = 709 \text{ mm}$$

$d_2 = 710$ mm standart çap seçildi.

Çevre hızı:

$$V = \frac{\pi \cdot n_1}{30} \cdot \frac{d_1}{2} = \frac{\pi \cdot 950}{30} \cdot \frac{0,224}{2} = 11,14 \text{ m/s} < V_{\text{max}}$$

Faydalı gerilme:

$$\sigma_u = (0,3 \dots 0,5) \sigma_{\text{em}}$$

$$\sigma_u = 0,4 \cdot \sigma_{em} = 0,4 \cdot 4 = 1,6 \text{ N/mm}^2$$

Birim genişliğin taşıyabileceği faydalı kuvvet

$$F_{ul} = \sigma_u \cdot s = 1,6 \cdot 6 = 9,6 \text{ N/mm} = 96 \text{ N/cm}$$

Birim genişliğin taşıyabileceği güç:

$$P_1 [\text{kW}] = \frac{F_{ul} [\text{N/cm}] \cdot V [\text{m/s}]}{1000} = \frac{96 \cdot 11,14}{1000} = 1,07 \text{ kW/cm}$$

Kayış genişliği:

$$b = \frac{P_{hesap}}{P_1} = \frac{25,9}{1,07} = 24,2 \text{ cm} = 242 \text{ mm}$$

$b = 250 \text{ mm}$ olan standart genişlikteki kayış alındı (Sayfa 22, Cetvel 4.3)

Kayış boyu:

$$L \approx 2a + \frac{\pi}{2} (d_1 + d_2) + \frac{(d_2 - d_1)^2}{4 \cdot a}$$

$$= 2.1800 + \frac{\pi}{2} (224+710) + \frac{(710-224)^2}{4 \cdot 1800}$$

$$= 5100 \text{ mm} = 5,1 \text{ m}$$

Sarılma açısı:

$$\cos \frac{\beta}{2} = \frac{d_2 - d_1}{2a} = \frac{710-224}{2.1800} = 0,135$$

$$\beta = 164^\circ = 2,87 \text{ radyan}$$

Gerilme kontrolu:

$$\sigma_{top} = \frac{F_1}{b \cdot s} + \frac{\gamma}{g} V^2 + \frac{s}{d} E_b < \sigma_{em} \quad \text{olmalıdır.}$$

$$F_1 = \frac{e^{\mu \beta}}{e^{\mu \beta} - 1} \cdot F_u$$

$$F_u = \frac{1000 \cdot P_{hesap}}{V} = \frac{1000 \cdot 25,9}{11,14} = 2325 \text{ N}$$

$$e^{\mu \cdot \beta} = e^{0,5 \cdot 2,87} = 4,2 \quad F_1 = \frac{4,2}{4,2-1} \cdot 2325 = 3052 \text{ N}$$

$$\sigma_1 = \frac{F_1}{b \cdot s} = \frac{3052}{250.6} = 2,04 \text{ N/mm}^2$$

$$\gamma = 12 \text{ N/dm}^3 = 12 \cdot 10^3 \text{ N/m}^3$$

$$\sigma_f = \frac{12 \cdot 10^3}{9.81} \cdot (11,14)^2 = 152 \cdot 10^3 \text{ N/m}^2 = 0,15 \text{ N/mm}^2$$

$$\sigma_b = \frac{6}{224} \cdot 50 = 1,34 \text{ N/mm}^2$$

$$\sigma_{top} = 2,04 + 0,15 + 1,34 = 3,53 \text{ N/mm}^2 < \sigma_{em} = 4 \text{ N/mm}^2$$

Eğilme frekansı:

$$f_b = \frac{Z \cdot V}{L} = \frac{2.11,14}{5,1} = 4,37 \frac{1}{s} < f_{b \max} = 30 \frac{1}{s}$$

Problem 2

Bir elektrik motoru ile bir radyal vantilatör arasında kullanılacak V-kayışlı mekanizmanın boyutlandırılması.

Elektrik motoru: 160M, P=11 kW, n=1450 d/dak

Vantilatörün: Dönme sayısı n=810 ± 20 d/dak

Günlük çalışma süresi 16 saat

Istenen eksen aralığı: a=700 ± 100 mm

(Karşılaştırma maksadiyla hesap Dar ve Normal V-kayışları için paralel olarak yapılmıştır)

DAR V-KAYIŞI

Kayış profili seçimi:

Aşırı yük faktörü (Sayfa 38, Cetvel 5.9)

$$C_2 = 1,3$$

$$P_{hesap} = C_2 \cdot P = 1,3 \cdot 11 = 14,3 \text{ kW}$$

NORMAL V-KAYIŞI

Kayış profili seçimi:

Aşırı yük faktörü (Sayfa 38, Cetvel 5.9)

$$C_2 = 1,3$$

$$P_{hesap} = C_2 \cdot P = 1,3 \cdot 11 = 14,3 \text{ kW}$$

1450 d/dak ve 14,4 kW için kullanılacak profil (Sayfa 39, Şekil 5.14)

SPZ $(d_{el} < 180)$

Istenen çevrim oranı:

$$i = \frac{n_1}{n_2} = \frac{1450}{810} = 1,79$$

Kasnak çapları:

$d_{el} = 125$ seçildi.

$$d_{e2} = i \cdot d_{el} = 1,79 \cdot 125 = 223,7 \text{ mm}$$

$d_{e2} = 224 \text{ mm}$ standart kasnak çapı alındı (Sayfa 40 Cetvel 5.10)

Hakiki çevrim oranı:

$$i = \frac{224}{125} = 1,79$$

$$n_2 = 1450/1,79 = 809 \text{ d/dak (Uygundur)}$$

Kayış boyu:

$$L \approx 2a + \frac{\pi}{2} (d_{el} + d_{e2}) + \frac{(d_{e2} - d_{el})^2}{4a}$$

$$L \approx 2.700 + \frac{\pi}{2} (125 + 224)$$

$$+ \frac{(224-125)^2}{4.700}$$

$$= 1952 \text{ mm}$$

$L_e = 2000 \text{ mm}$ standart boydaki kayış alındı (Sayfa 42, Cetvel 5.12)

Uzunluk faktörü $C_3 = 1,02$

1450 d/dak ve 14,4 kW için kullanılacak profil (Sayfa 39, Şekil 5.15)

B

Istenen çevrim oranı:

$$i = \frac{n_1}{n_2} = \frac{1450}{810} = 1,79$$

Kasnak çapları:

$d_{el} = 160$ seçildi.

$$d_{e2} = i \cdot d_{el} = 1,79 \cdot 160 = 286,4 \text{ mm}$$

$d_{e2} = 280 \text{ mm}$ standart kasnak çapı alındı (Sayfa 41 Cetvel 5.10)

Hakiki çevrim oranı:

$$i = \frac{280}{160} = 1,75$$

$$n_2 = 1450/1,75 = 828 \text{ d/dak (Uygundur)}$$

Kayış boyu:

$$L \approx 2.700 + \frac{\pi}{2} (160 + 280)$$

$$+ \frac{(280-160)^2}{4.700}$$

$$= 2096 \text{ mm}$$

$L_e = 2040 \text{ mm}$ standart boydaki kayış alındı (Sayfa 42, Cetvel 5.13)

Uzunluk faktörü $C_3 = 0,98$

Hakiki eksen aralığı:

$$a \approx 700 - \frac{1952-2000}{2}$$

$$= 724 \text{ mm} \quad (\text{Uygundur})$$

$$\cos \frac{\beta}{2} = \frac{d_{e2} - d_{el}}{2.a} = \frac{224 - 125}{2.724}$$

$$\frac{\beta}{2} = 86^\circ \quad \beta = 172^\circ$$

Sarıılma açısı faktörü (Sayfa 42,
Cetvel 5.14)

$$c_1 = 0,98$$

Kayış sayısı:

Bir adet SPZ kayışının iletebileceği
güç, $d_{el} = 125$ için $i = 1,79$ ve $n_1 = 1450$
 d/dak için

$$P_1 = 3,74 \text{ kW}$$

(Sayfa 43, Cetvel 5.15 den lineer
interpolasyonla)

$$Z = \frac{P \cdot c_2}{P_1 \cdot c_1 \cdot c_3} = \frac{11.1,3}{3,74 \cdot 0,98 \cdot 1,02} = 3,83$$

Z = 4 adet SPZ kayışı kullanılacak

Kayış hızı:

$$V = \frac{\pi \cdot n_1}{30} \cdot \frac{d_{el}}{2} = \frac{\pi \cdot 1450}{30} \cdot \frac{0,125}{2}$$

$$V = 9,49 \text{ m/s} < 42 \text{ m/s} \quad (\text{Uygundur})$$

Hakiki eksen aralığı:

$$a \approx 700 - \frac{2040-2096}{2}$$

$$= 672 \text{ mm} \quad (\text{Uygundur})$$

$$\cos \frac{\beta}{2} = \frac{280 - 160}{2.672}$$

$$\frac{\beta}{2} = 85^\circ \quad \beta = 170^\circ$$

Sarıılma açısı faktörü (Sayfa 42,
Cetvel 5.14)

$$c_1 = 0,98$$

Kayış sayısı:

Bir adet B profilindeki kayışın iletebileceği güç, $d_{el} = 160$ $i = 1,75$ ve $n_1 = 1450$ d/dak için

$$P_1 = 4,51 \text{ kW}$$

(Sayfa 44, Cetvel 5.16 dan lineer interpolasyonla)

$$Z = \frac{11.1,3}{4,51 \cdot 0,98 \cdot 0,98} = 3,3$$

Z = 4 adet B kayışı kullanılacak

Kayış hızı:

$$V = \frac{\pi \cdot 1450}{30} \cdot \frac{0,160}{2}$$

$$V = 12,15 \text{ m/s} < 30 \text{ m/s} \quad (\text{Uygundur})$$

Eğilme frekansı:

$$f_b = \frac{Z_{\text{kas}} \cdot V}{L_e} = \frac{2.9,49}{2}$$

$$f_b = 9,49 \frac{1}{s} < 80 \frac{1}{s} \quad (\text{Uygundur})$$

Ön gerilme kuvveti:

Faydalı kuvvet

$$F_u = \frac{P(\text{kW}) \cdot 1000}{V(\text{m/s})} =$$

$$\frac{14,3 \cdot 1000}{9,49} = 1507 \text{ N}$$

Bir kayıştaki faydalı kuvvet

$$F_{ul} = \frac{F_u}{Z} = \frac{1507}{4} = 376 \text{ N}$$

Bir kapıstaki ön gerilme kuvveti,

$$F_o = \frac{F_u}{e^{0,5 \beta - 1}} + k \cdot V^2$$

$$\beta = 170^\circ = 3 \text{ radyan}, e^{0,5 \cdot 3} = 4,48$$

$$k = 0,07 \quad (\text{Sayfa 39, Cetvel 5.17})$$

$$F_o = \frac{(4,48+1) \cdot 376}{2(4,48-1)} + 0,07 (9,5)^2$$

$$F_o = 259 \text{ N}$$

Mekanizmanınbellibaşlı ölçülerini:

4 adet SPZ kayışı

$$d_{el} = 125 \text{ mm}$$

Eğilme frekansı:

$$f_b = \frac{2.12,15}{2,04}$$

$$f_b = 11,9 \frac{1}{s} < 40 \frac{1}{s} \quad (\text{Uygundur})$$

Ön gerilme kuvveti:

Faydalı kuvvet

$$F_u = \frac{14,3 \cdot 1000}{12,15}$$

$$= 1177 \text{ N}$$

Bir kayıştaki faydalı kuvvet

$$F_{ul} = \frac{1177}{4} = 294 \text{ N}$$

Bir kayıştaki ön gerilme kuvveti,

$$\beta = 170^\circ = 2,97 \text{ radyan}$$

$$e^{0,5 \cdot 2,97} = 4,42$$

$$k = 0,18 \quad (\text{Sayfa 39, Cetvel 5.17})$$

$$F_o = \frac{(4,42+1) \cdot 294}{2(4,42-1)} + 0,18 \cdot (12,15)^2$$

$$F_o = 259 \text{ N}$$

Mekanizmanınbellibaşlı ölçülerini:

4 adet B kayışı

$$d_{el} = 160 \text{ mm}$$

$$d_{e2} = 224 \text{ mm}$$

$$a = 724 \text{ mm}$$

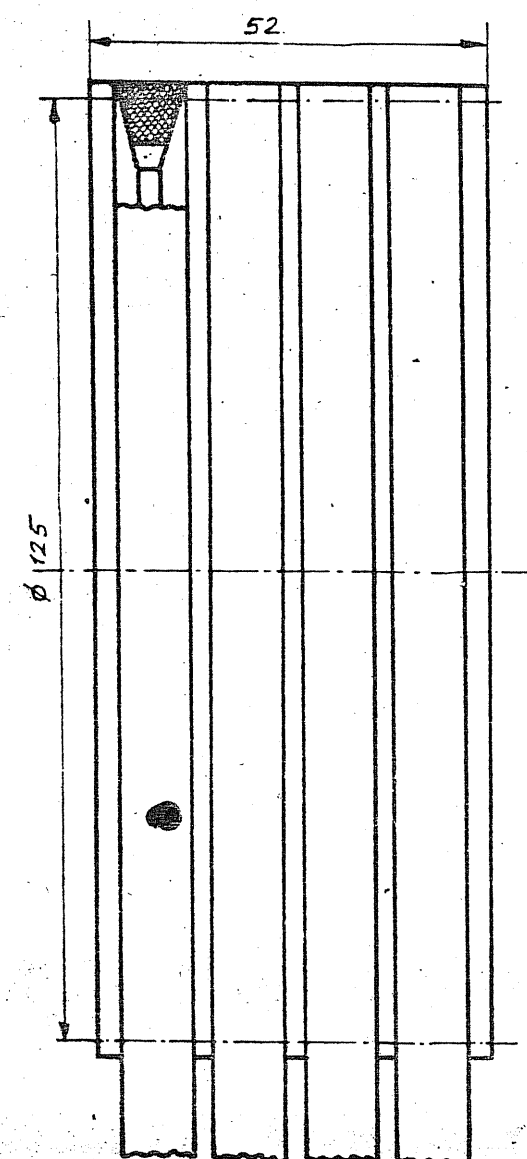
$$L_e = 2000 \text{ mm}$$

$$d_{e2} = 280 \text{ mm}$$

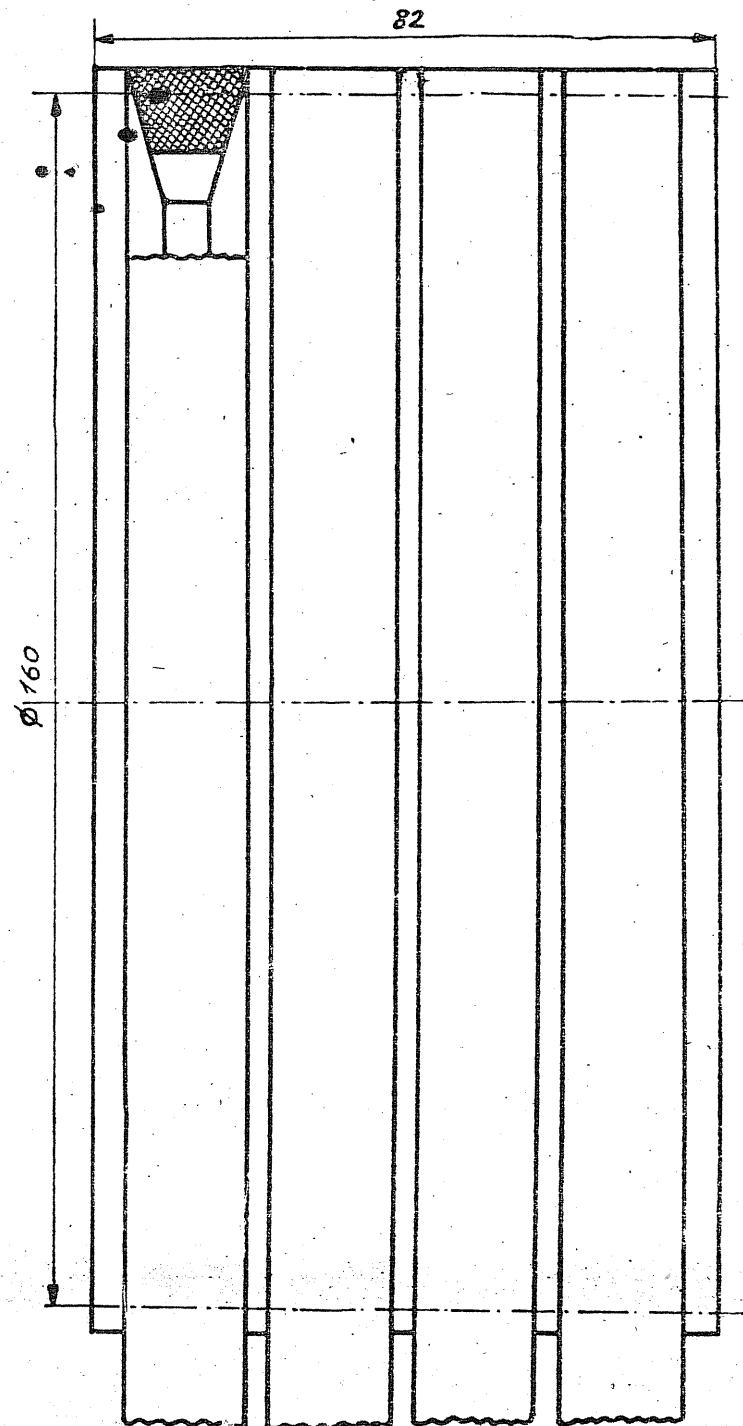
$$a = 672 \text{ mm}$$

$$L'_e = 2040 \text{ mm}$$

Mekanizmaların küçük kasnak tarafı aynı ölçekte aşağıda çizilmiştir.



Dar V-kayışı ile



Normal V-kayışı ile

LITERATÜR

- ten BOSCH - İLERİ H. Makina Elemanları Hesabı, İkinci Cilt
I.T.Ü. Kütüphanesi Sayı 721
- BAURER R., SCHENEIDER G. Riemen, Seil und Kettentriebe, Reibradtriebe.
Veb Fachbuchverlag Leibzig 1962
- JUDE H.S. Transmission Belting and Belt Drives. Trade and Technical Press Ltd, London 1947
- WILLIAM, W.A. Mechanical Power Transmission Manual. Conover- Mast Pub. New-York
- Dittrich O. , Schumann R. Anwendungen der Antriebstechnik Band 3 Krausskoph Verlag 1974
- "Belts and Belt Drives" Machine Design June 19, 1980
- Erickson W. "New Standards for Power Transmission Belts" Machine Design. January 22, 1981

Faydalananın ve tavsiye edilen eserler

- (1) D.W. Dudley: Practical Gear Design
McGraw-Hill Book Company 1954
- Dudley/Winter: Zahnräder
Springer-Verlag 1961
- (2) H.E. Merritt: Gears
Sir Isaac PITMAN ve Sons LTD.
- (3) G. Niemann: Maschinenelemente Bd.II
Springer-Verlag 1960
- Niemann-Harzadın-Yurdakonar: Makina Elemanları Cilt 3
Matbaa Tek.Koll.Şti.
- (4) Tochtermann/Bodenstein: Konstrüksionelemente des Maschinenbaues
Zweiter Teil
Springer-Verlag 1969
- (5) A.K. Thomas: Die Tragfähigkeit der Zahnräder
Cari Hanser Verlag München 1957
- (6) W.A. Tuplin: Gear Design
The Machinery Publishing Co. LTD. 1962
- (7) Richard M. Phelan: Fundamentals of Mechanical Design
McGraw-Hill Book Company, Inc. 1962
- (8) Dr. A.Schiebel-H. İieri: Dışı Çarklar, I. ve II. kısım
Üçler Basımevi 1949
- (9) Earle W. Dudley: Gear Handbook
McGraw-Hill Book Company
- (10) Franklin D. Jones ve Henry H. Ryffel: Gear Design Simplified
The Industrial Press 1961
- (11) Colvin ve Stanley: Gear Cutting Practice
McGraw-Hill Book Company, Inc. 1950
- (12) Ten Bosch-H. İieri: Makina Elemanları Kısımları II
Matbaa Teknisyenleri Basımevi 1968